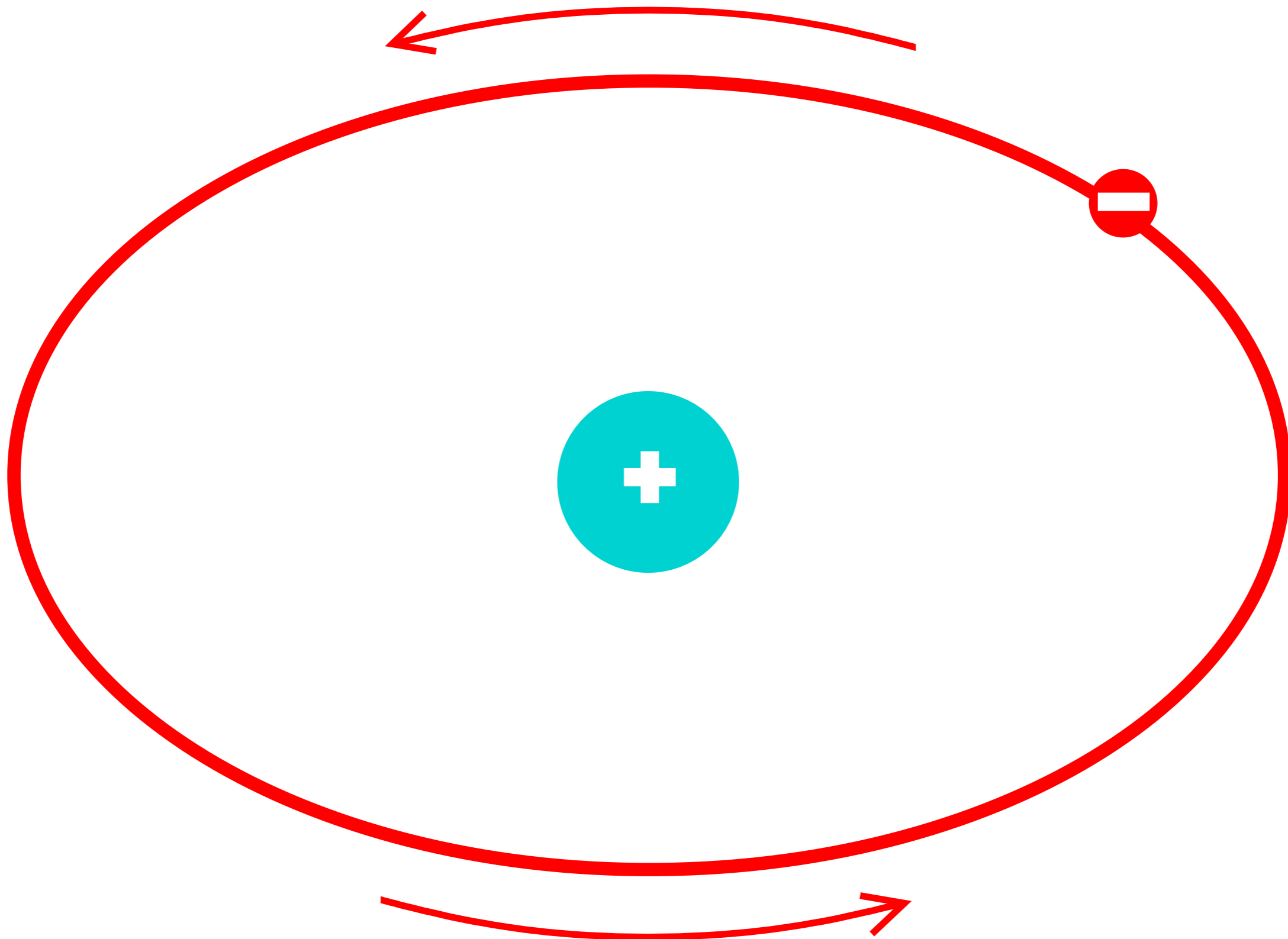
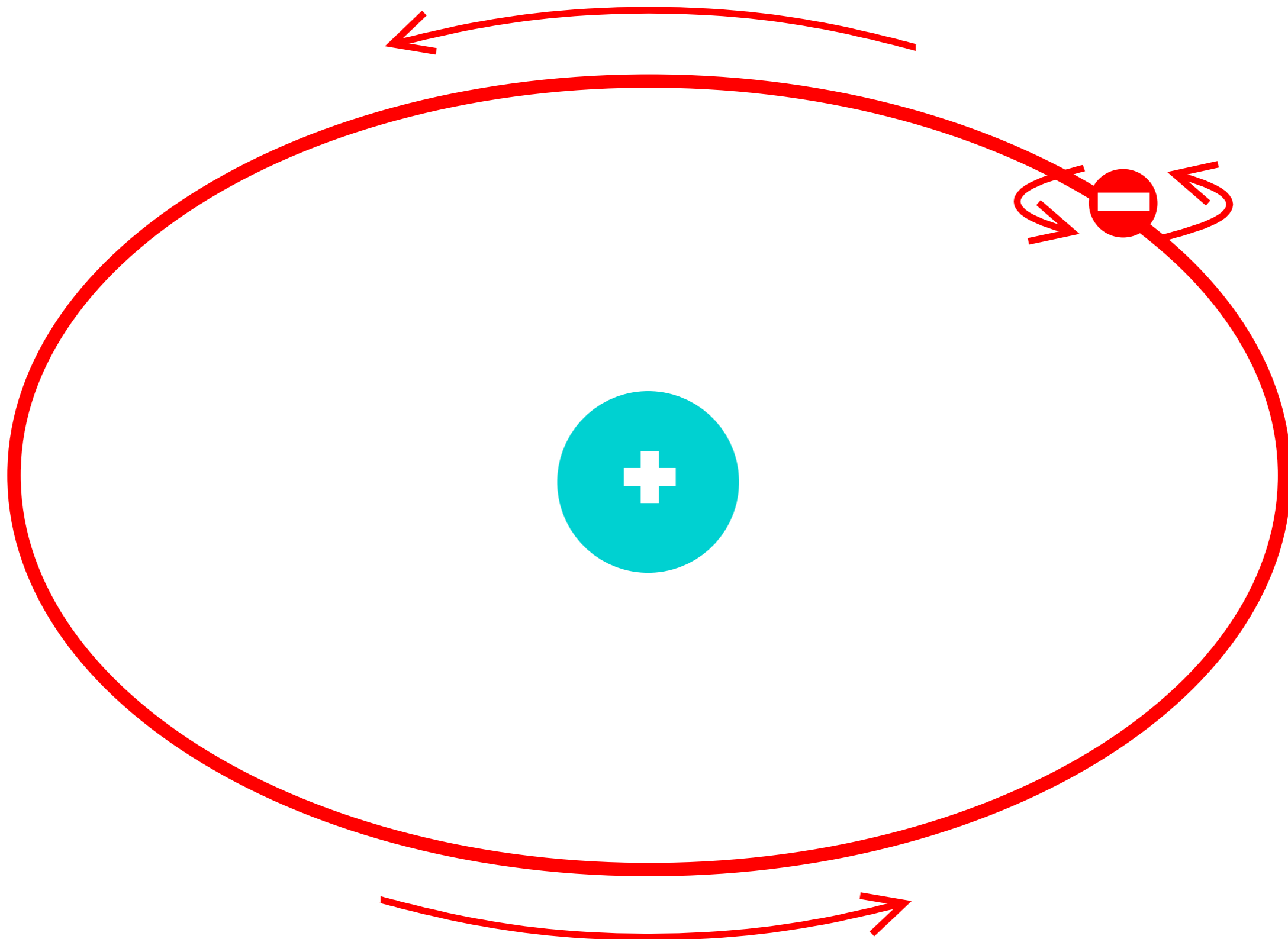
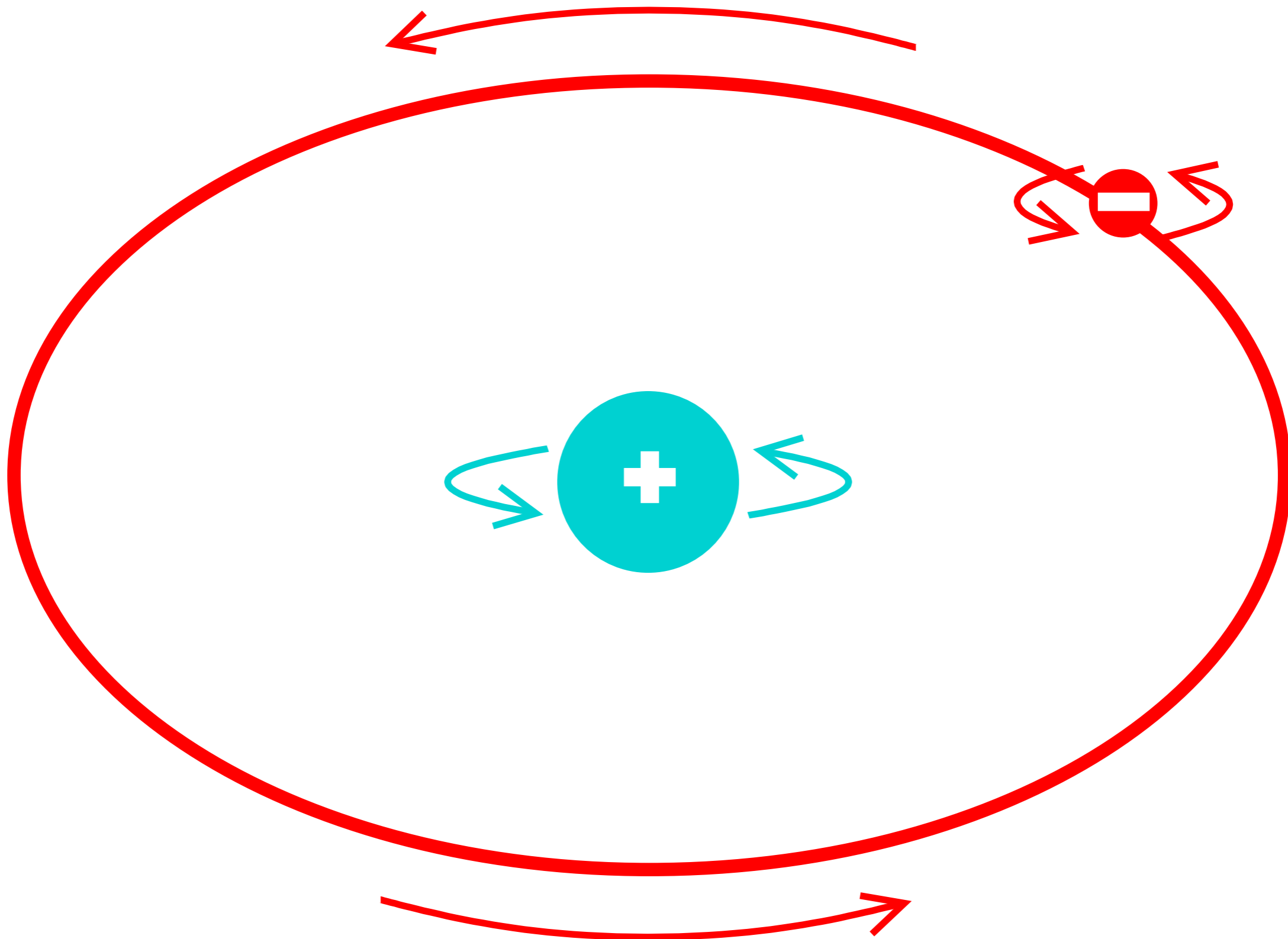


# NUCLEAR MAGNETIC RESONANCE







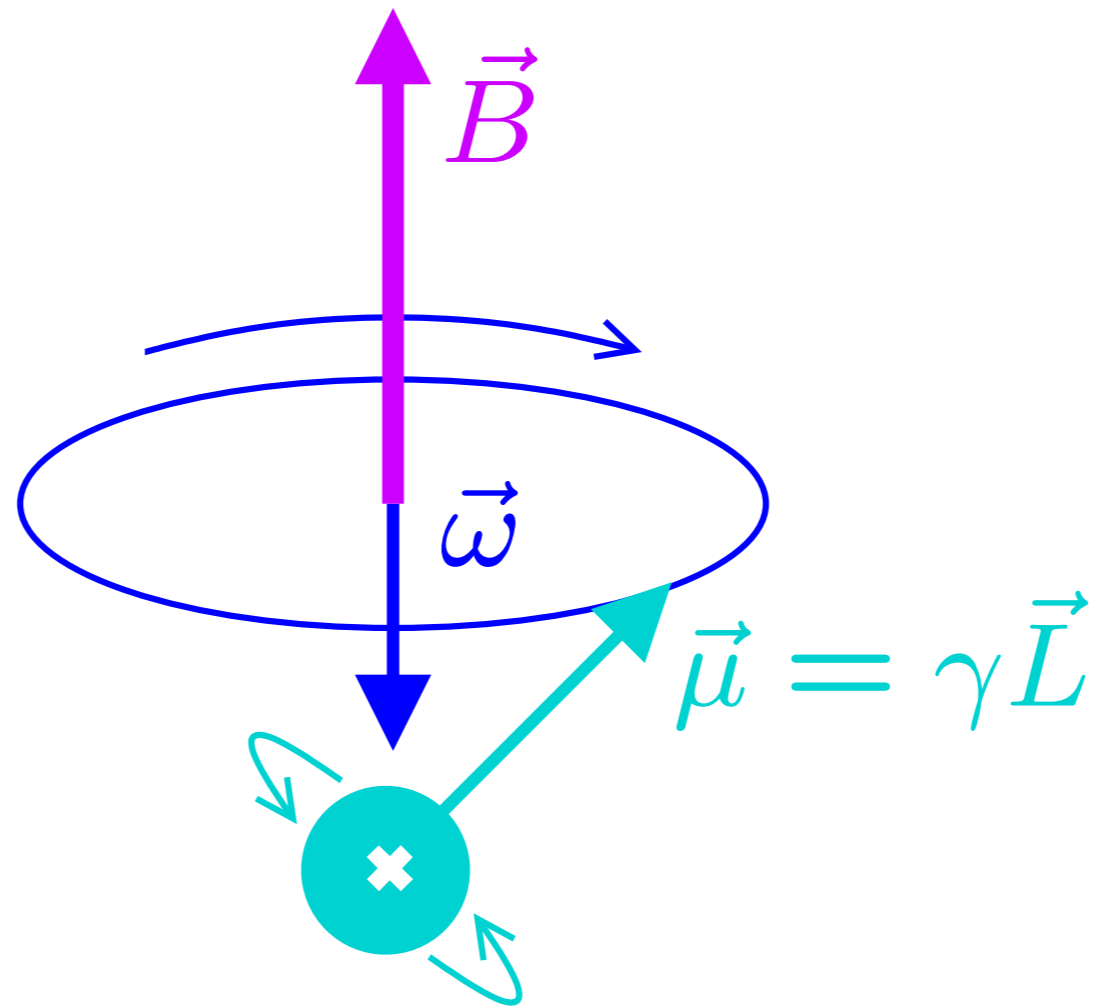
	$S$	$\frac{10^{-9}\gamma}{\text{rad s}^{-1}\text{T}^{-1}}$	% v přírodě
$e^-$	1/2	-182,000	100
$^1\text{H}$	1/2	0,277	99,98
$^2\text{H}$	<b>1</b>	0,042	<b>0,02</b>
$^{13}\text{C}$	1/2	0,067	<b>1,1</b>
$^{14}\text{N}$	<b>1</b>	0,019	99,6
$^{15}\text{N}$	1/2	-0,027	<b>0,4</b>
$^{17}\text{O}$	<b>5/2</b>	-0,036	<b>0,04</b>
$^{19}\text{F}$	1/2	0,252	100
$^{31}\text{P}$	1/2	0,108	100
$^{129}\text{Xe}$	1/2	-0,075	24,4

Počet stacionárních stavů =  $2S + 1$

kvadrupolární jádra (příliš rychle se vrací do rovnováhy)

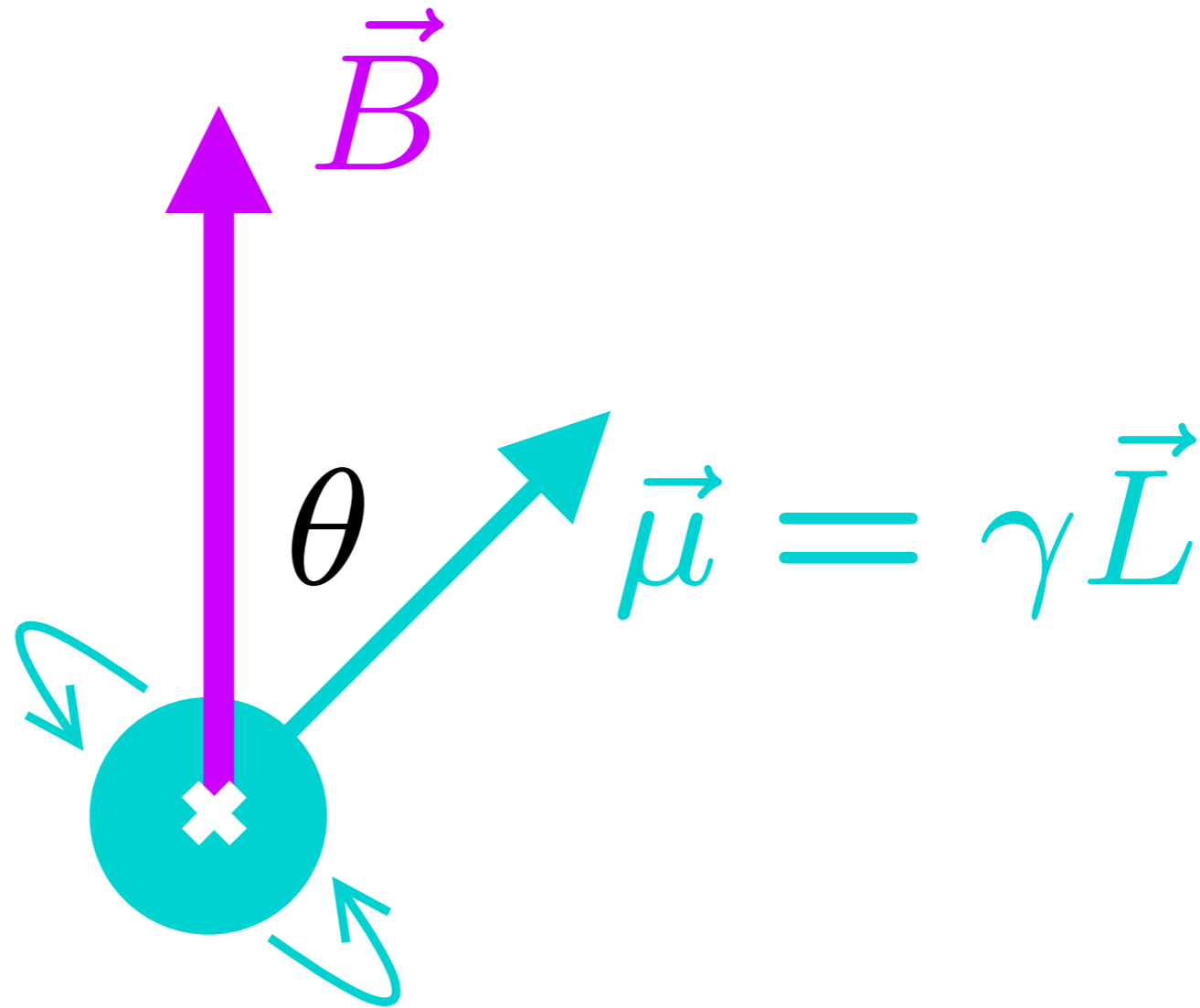
vzácné izotopy (vyžadují obohacení proteinů během exprese)

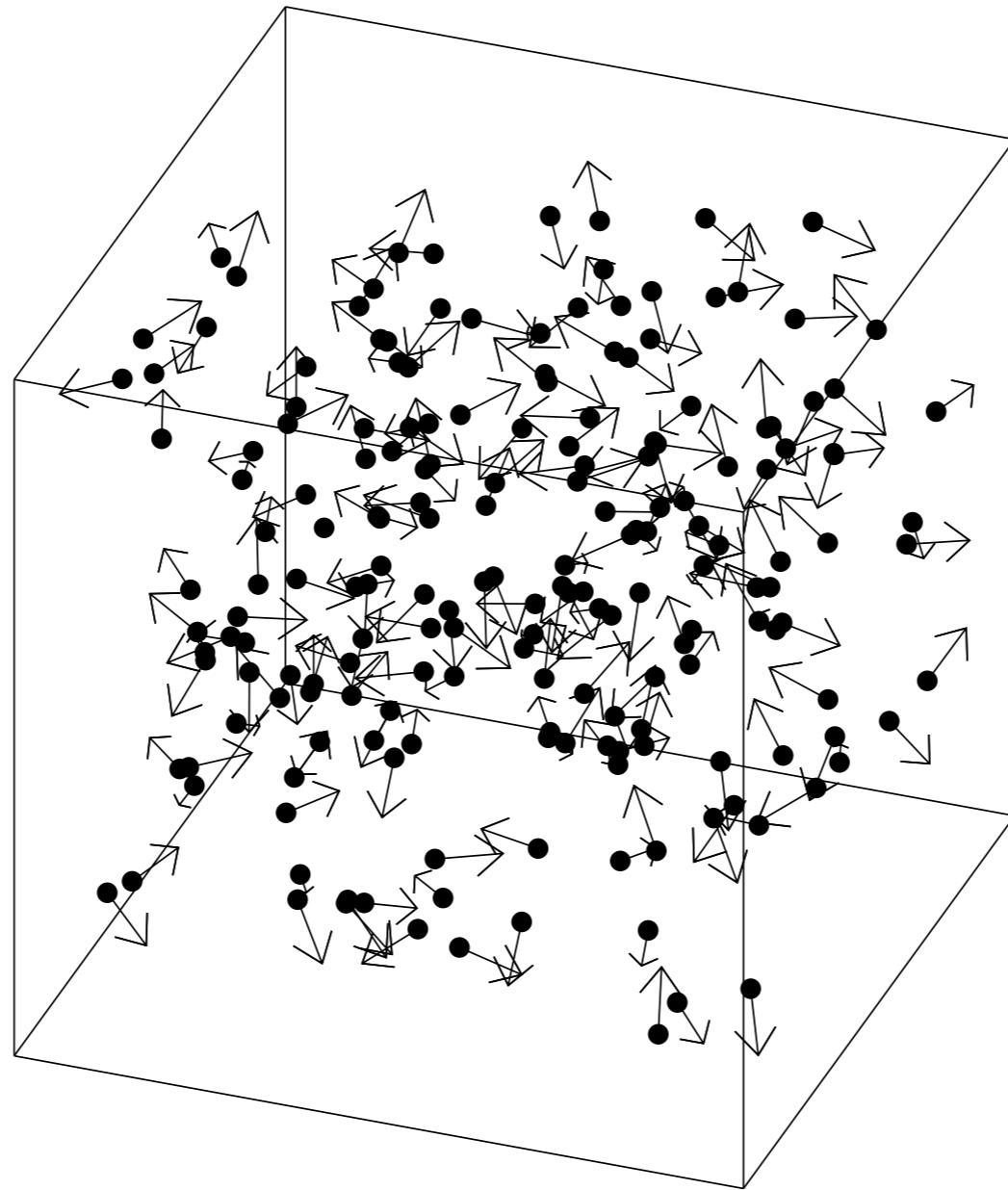
Úhlová rychlost precese  $\vec{\omega} = -\gamma \vec{B}$



Energie magnetického momentu v poli

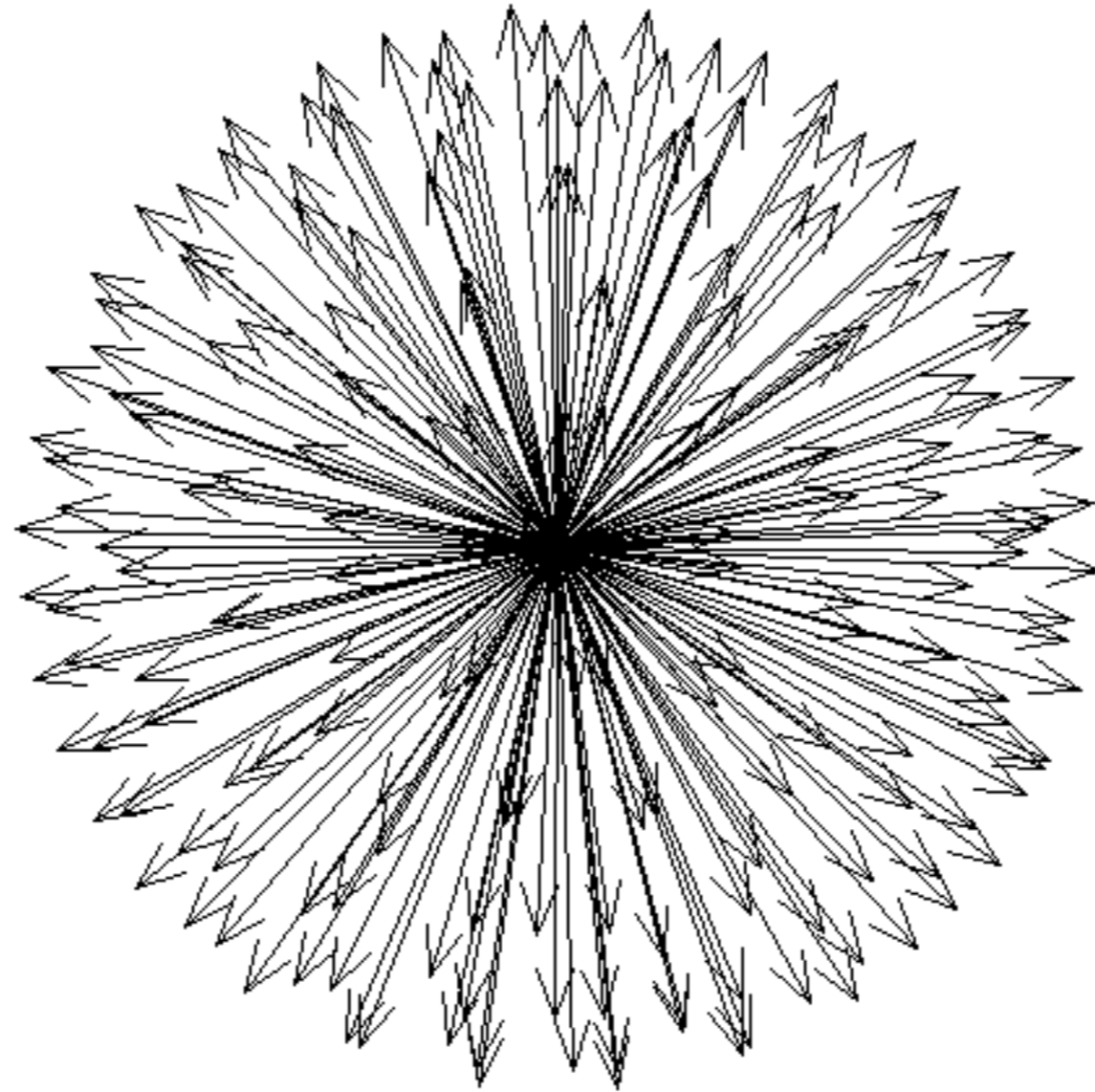
$$U = -\vec{\mu} \cdot \vec{B} = -|\mu||B| \cos \theta$$

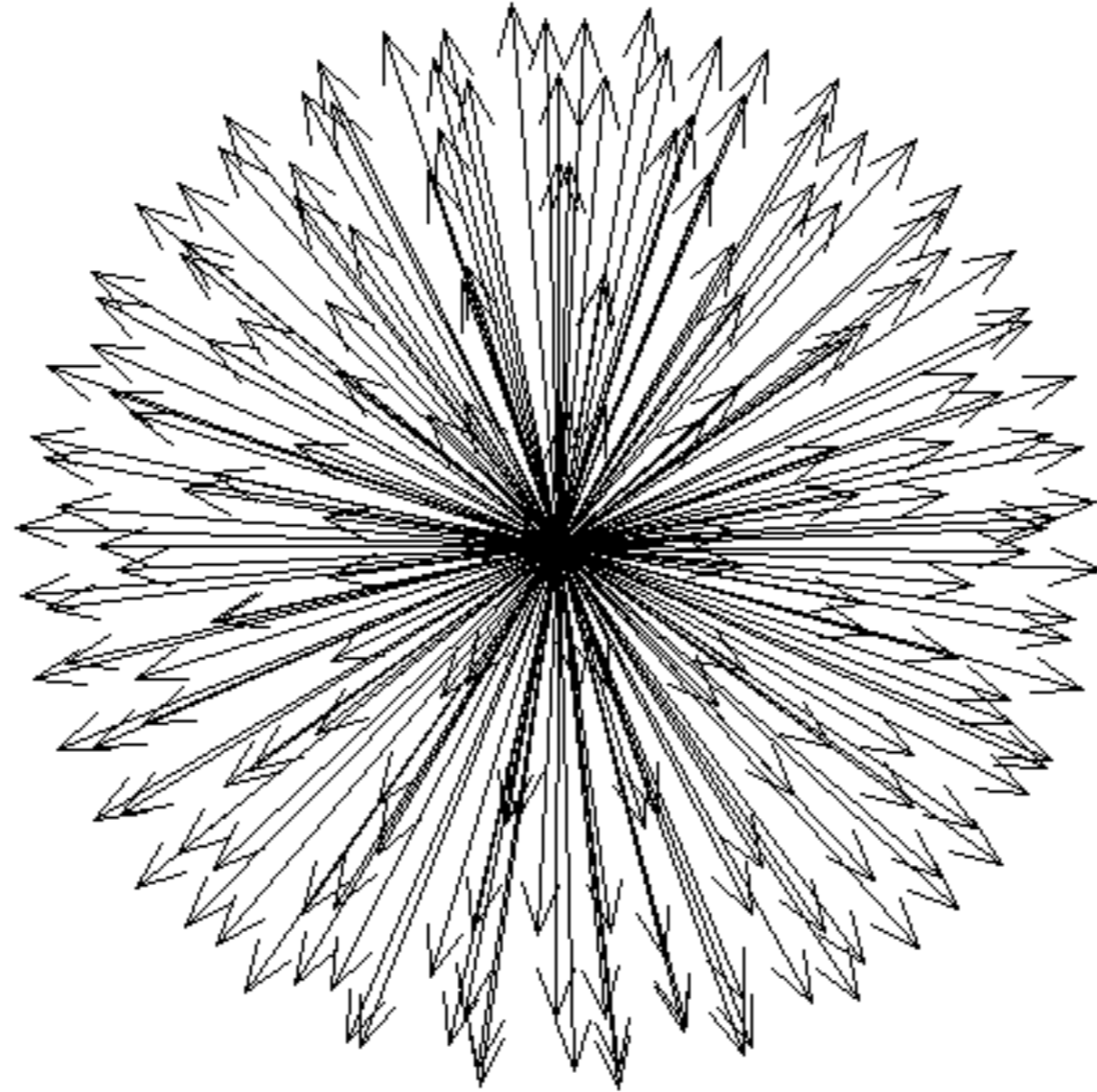




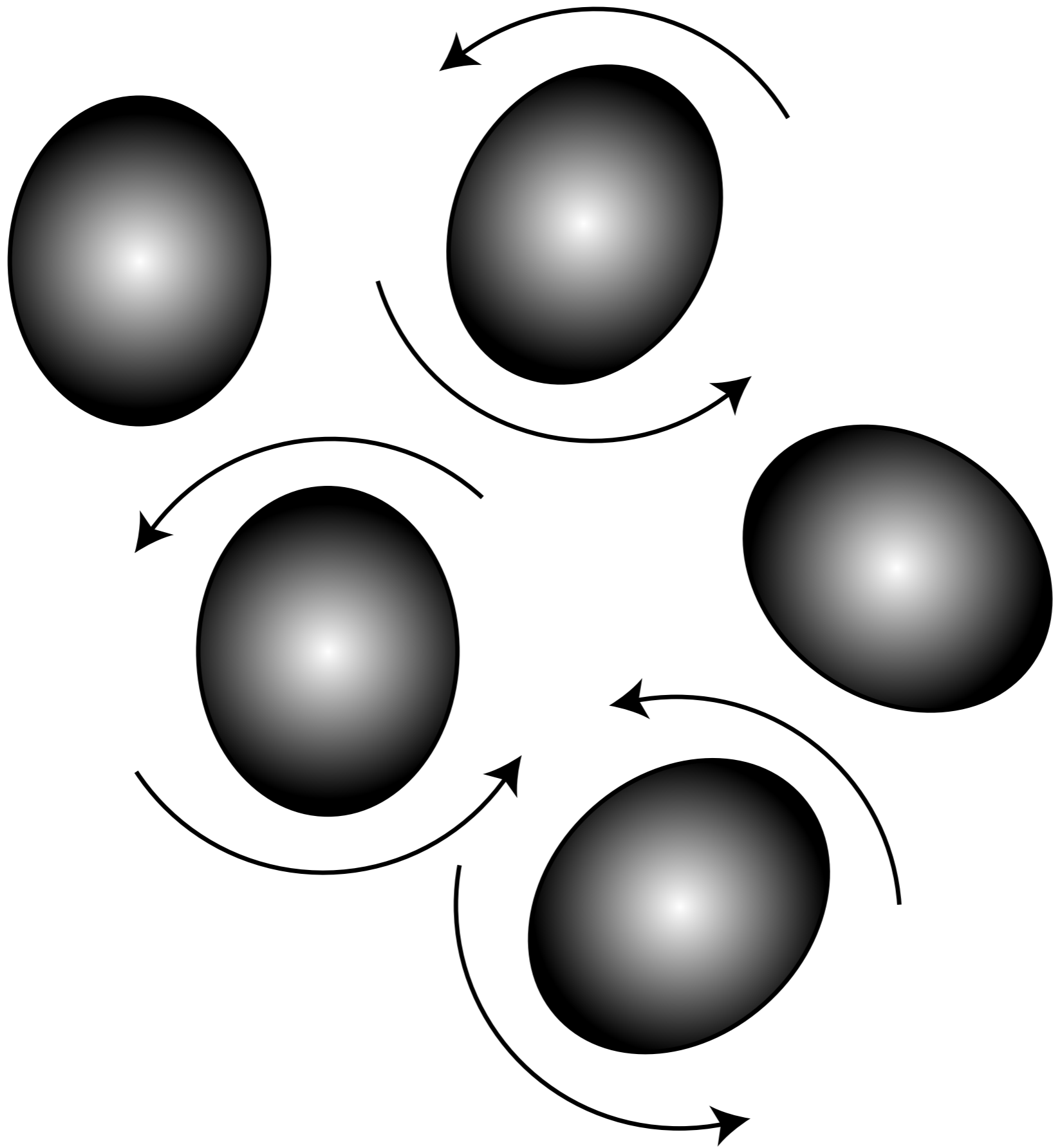
$$\vec{M} = (\vec{\mu}_1 + \vec{\mu}_2 + \vec{\mu}_3 + \vec{\mu}_4 + \vec{\mu}_5 + \vec{\mu}_6 + \dots) / V \quad \text{Magnetizace}$$

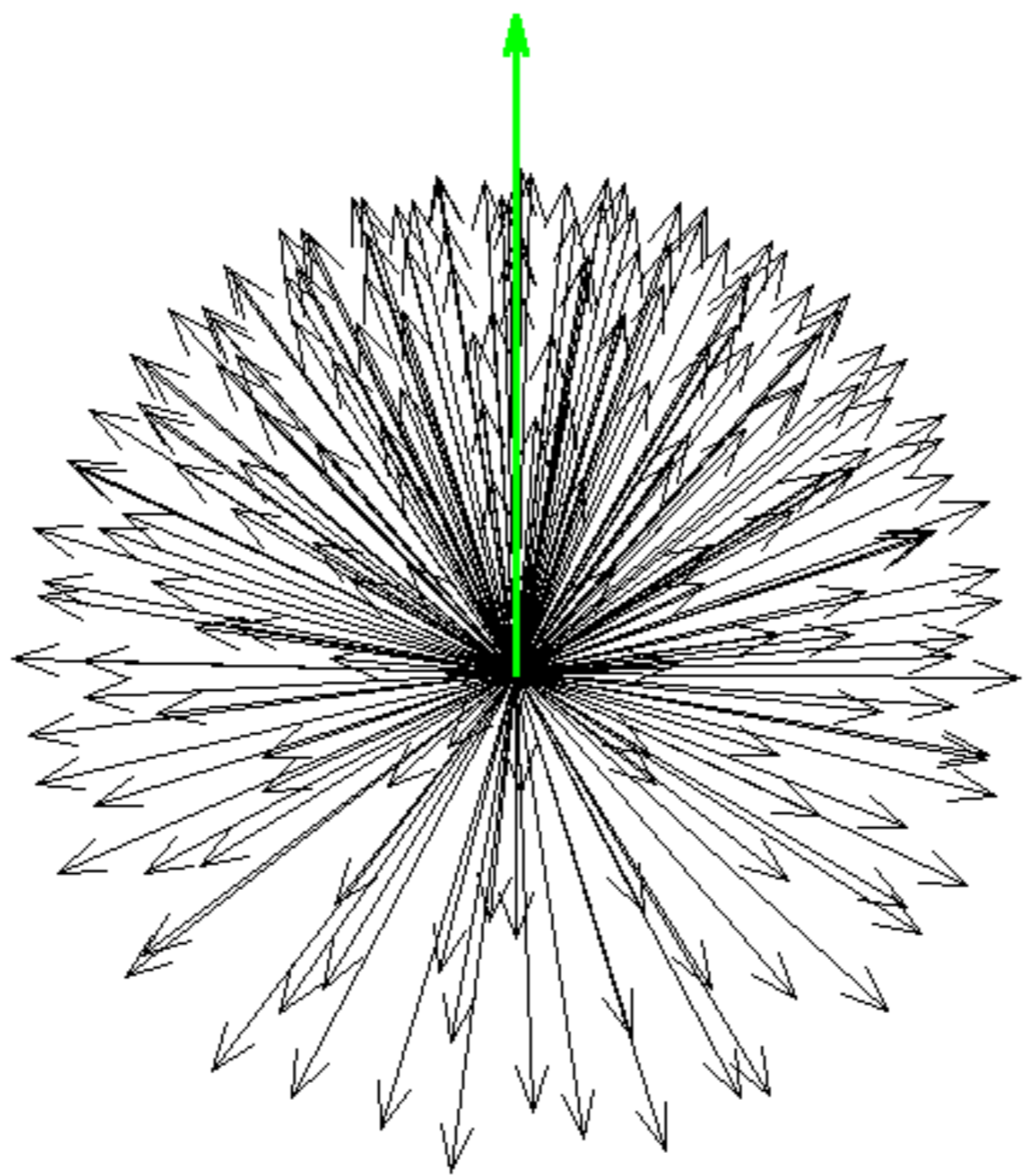




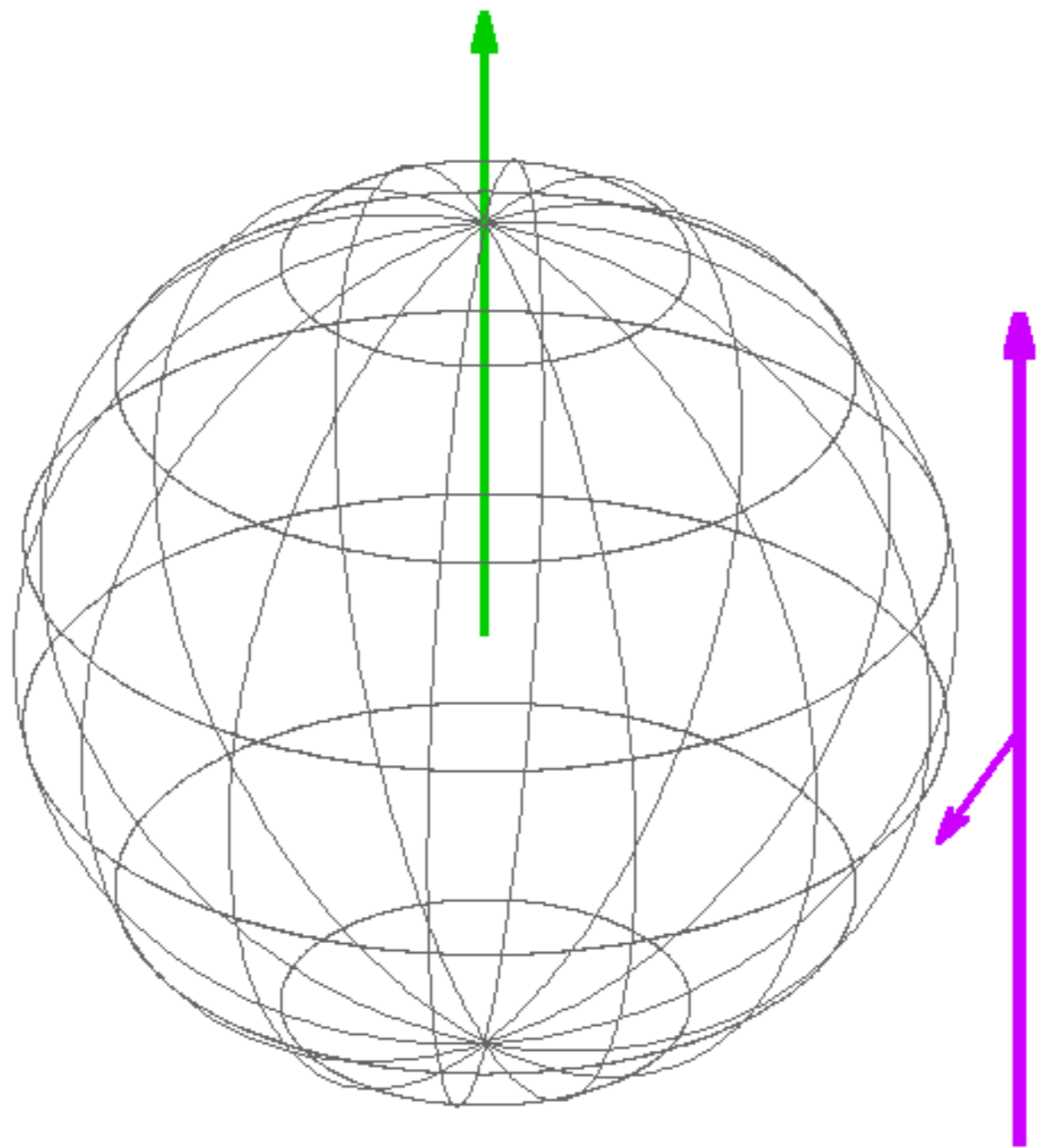


Magnetické momenty v magnetickém poli



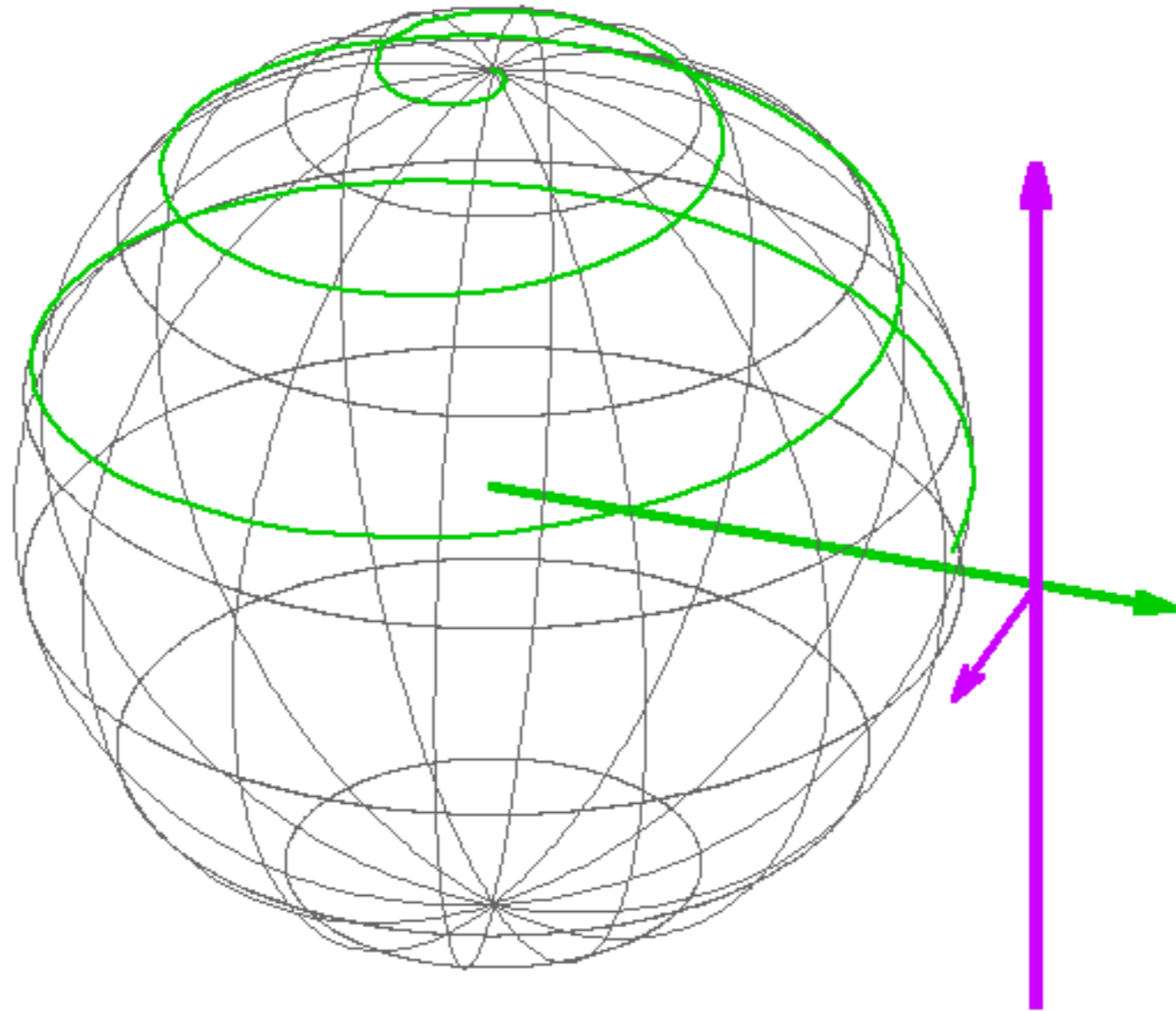


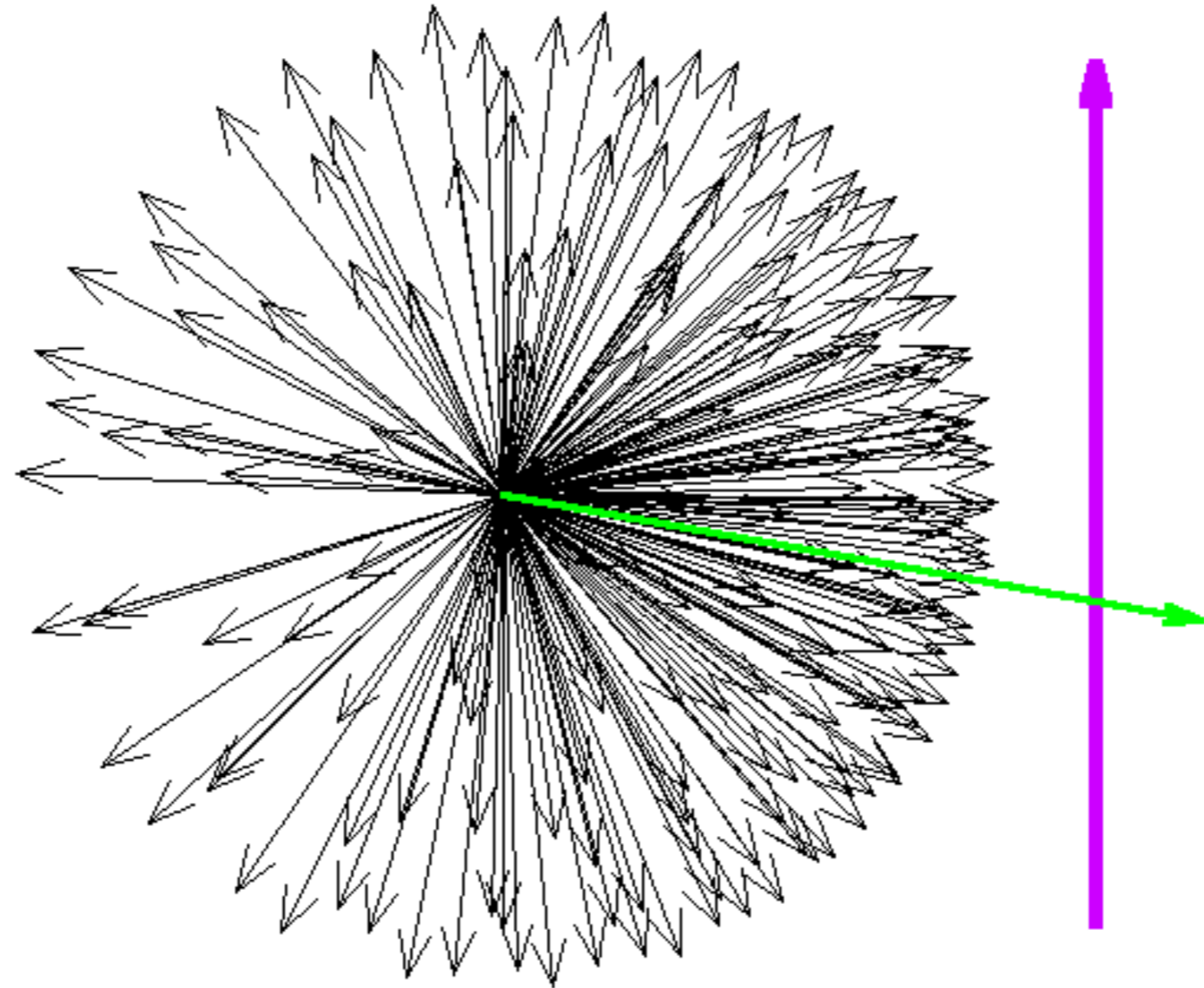
Vertikálně polarizované magnetické momenty  
ve vertikálním magnetickém poli



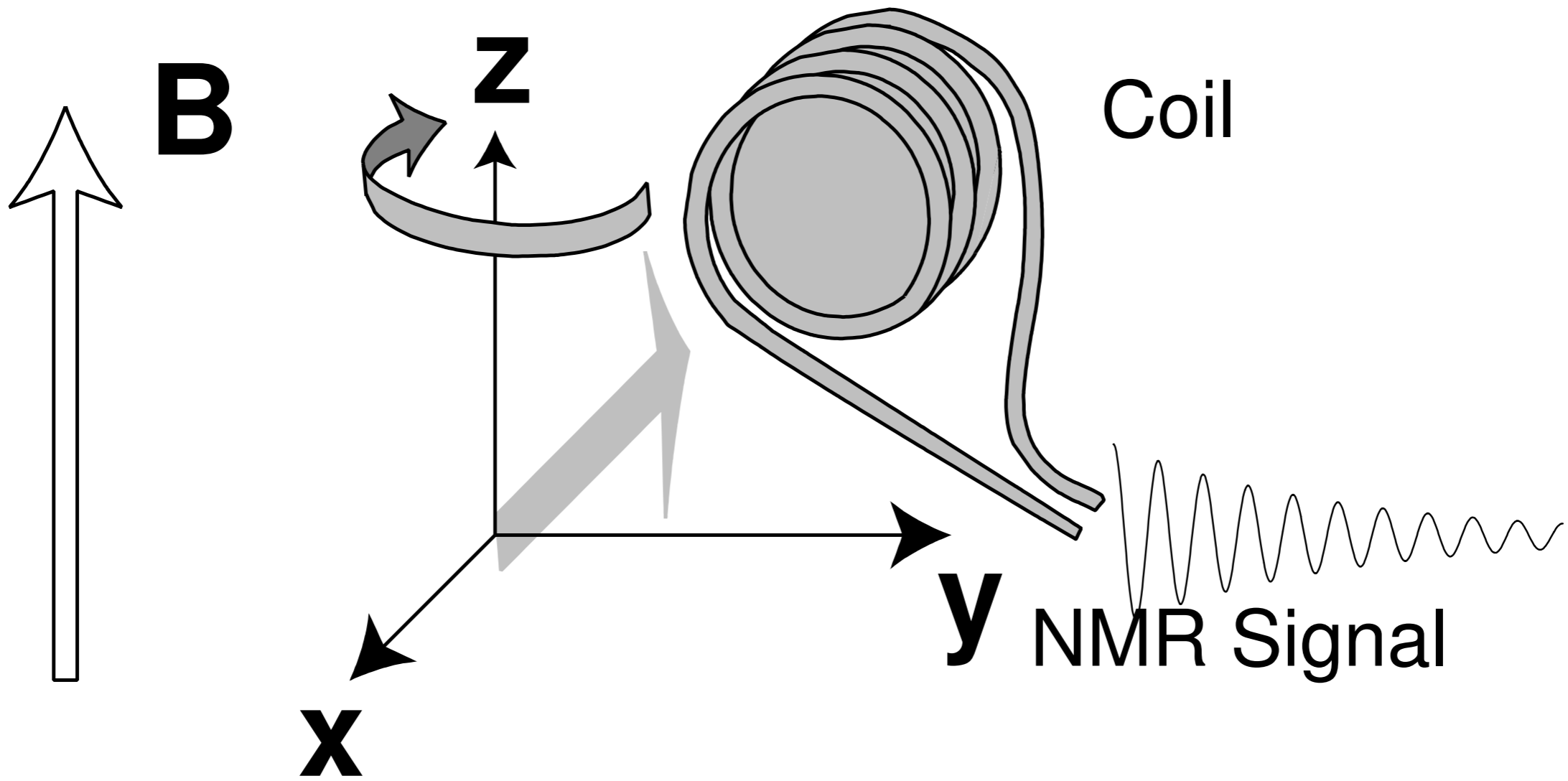
Sklopení vektoru magnetizace

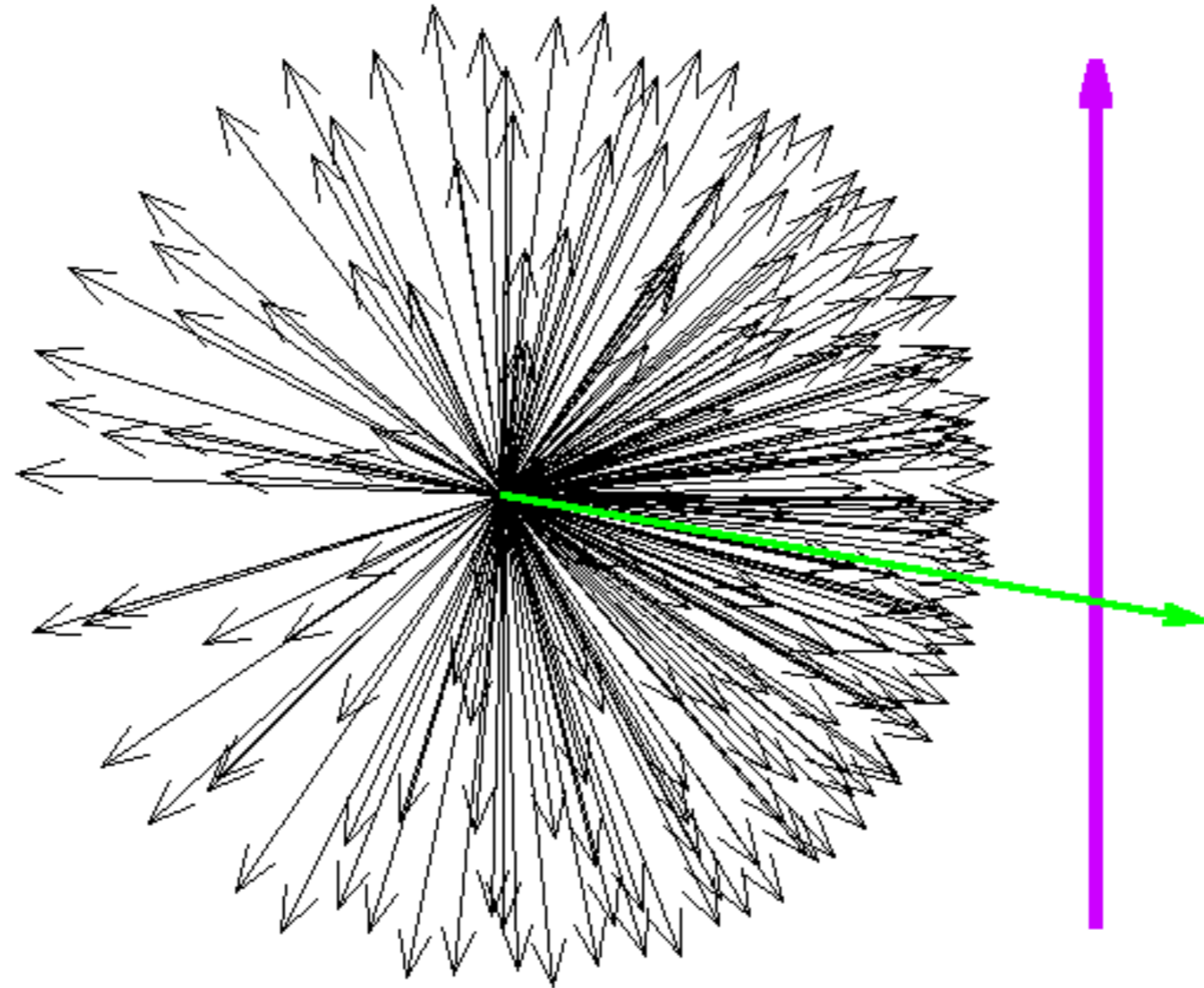


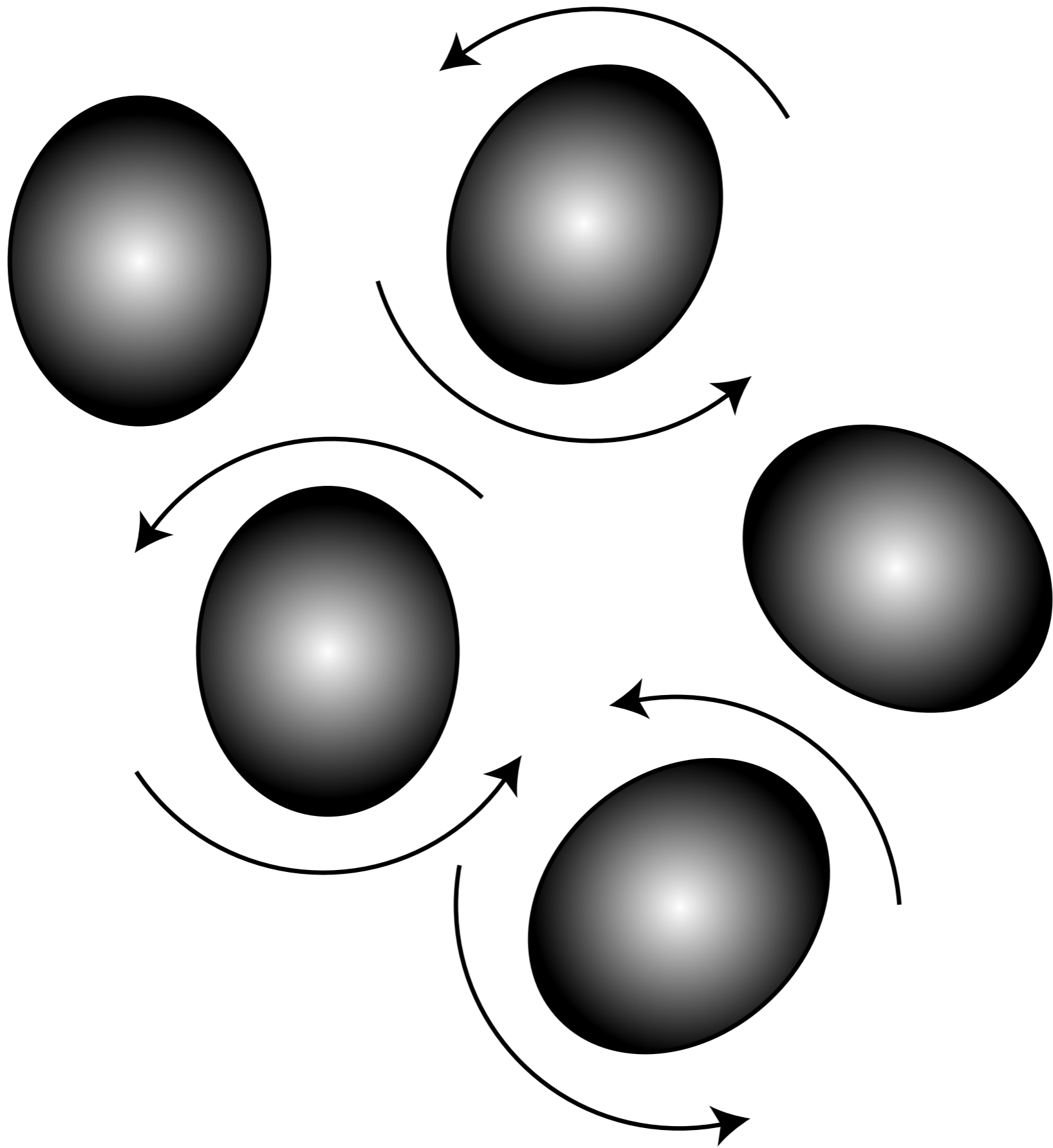


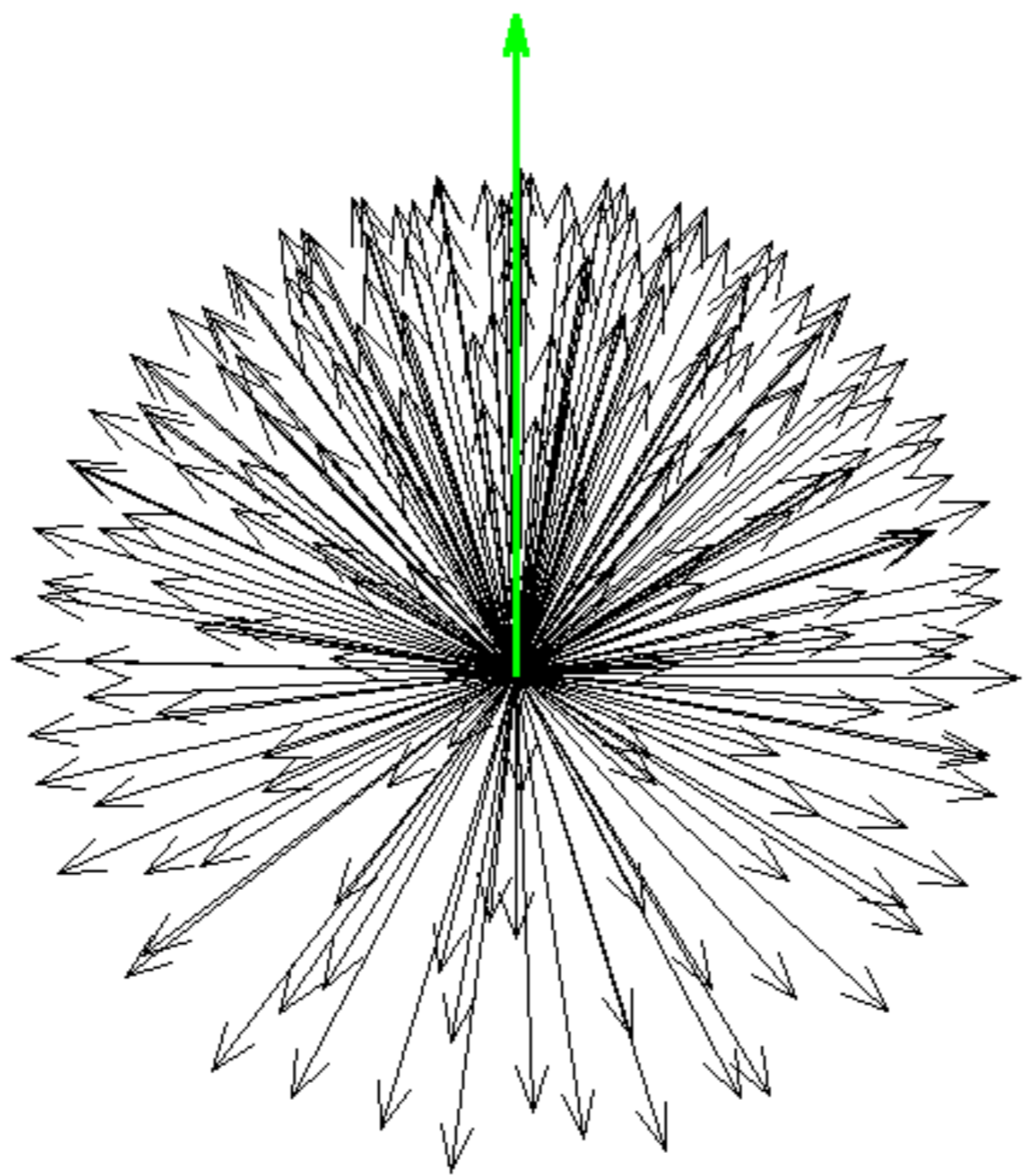


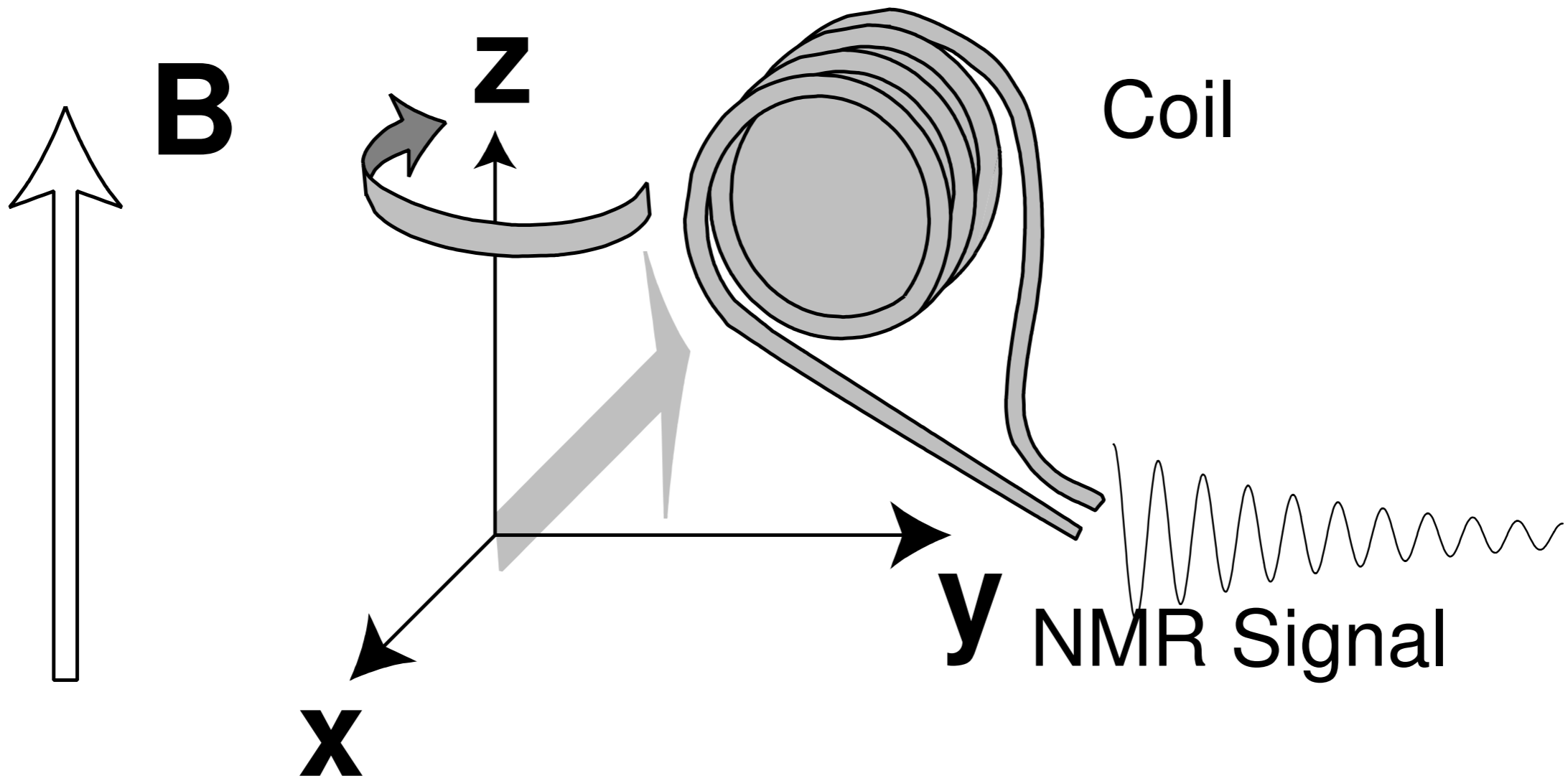
Horizontálně polarizované koherentní  
magnetické momenty  
ve vertikálním magnetickém poli



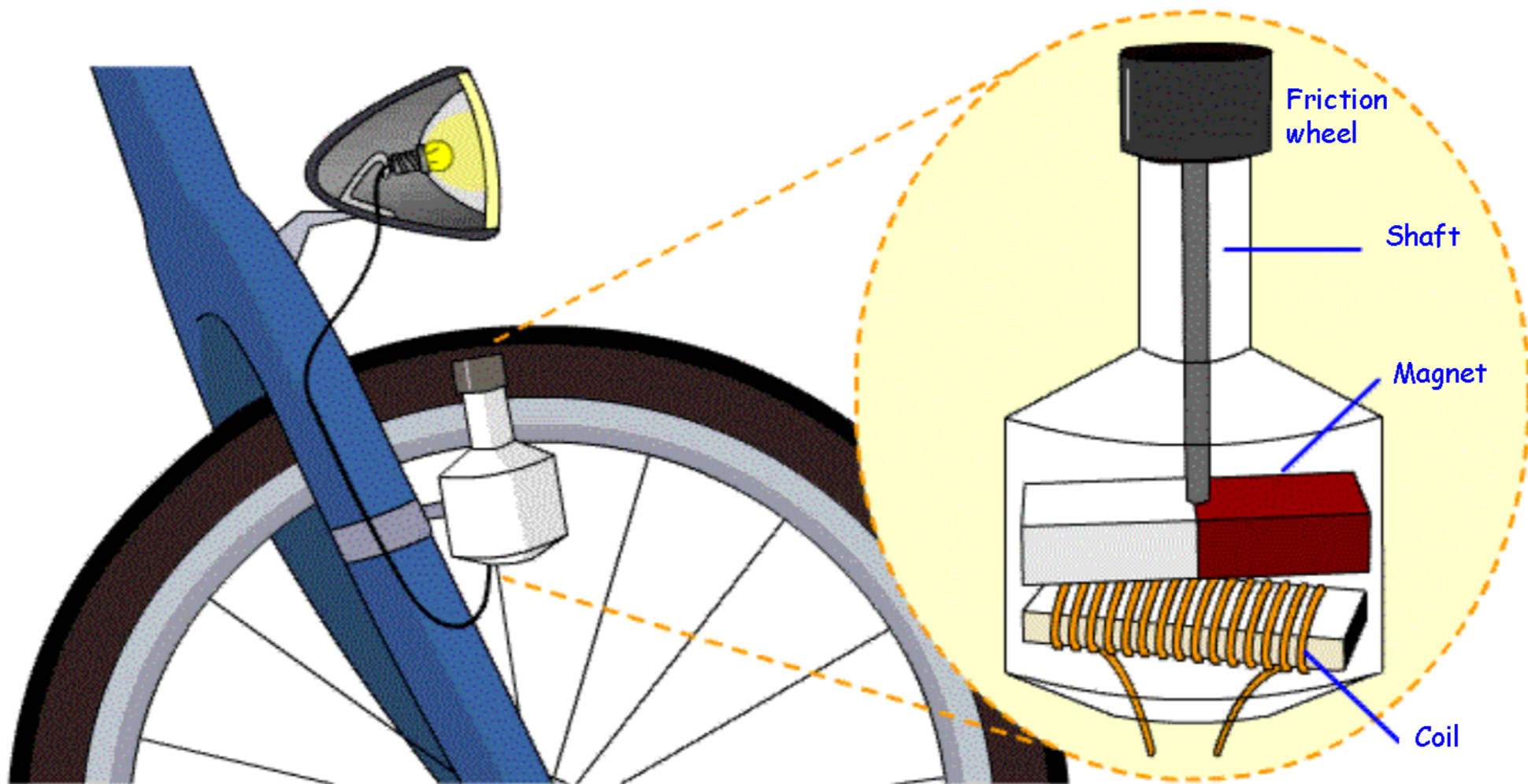


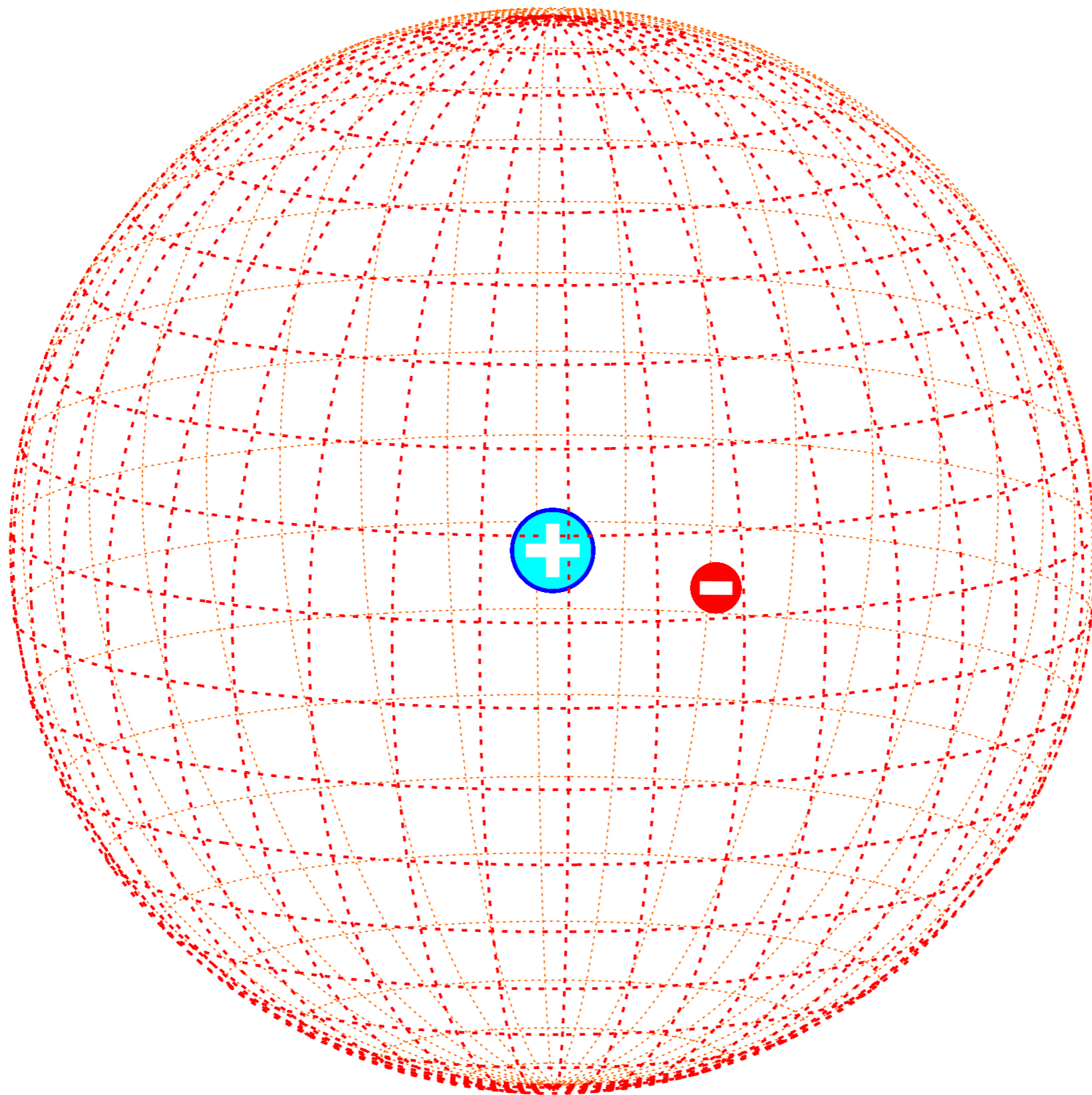


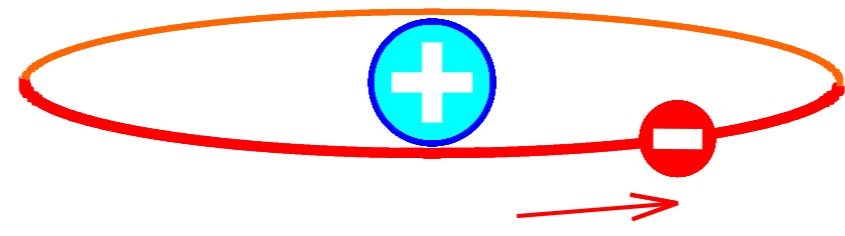


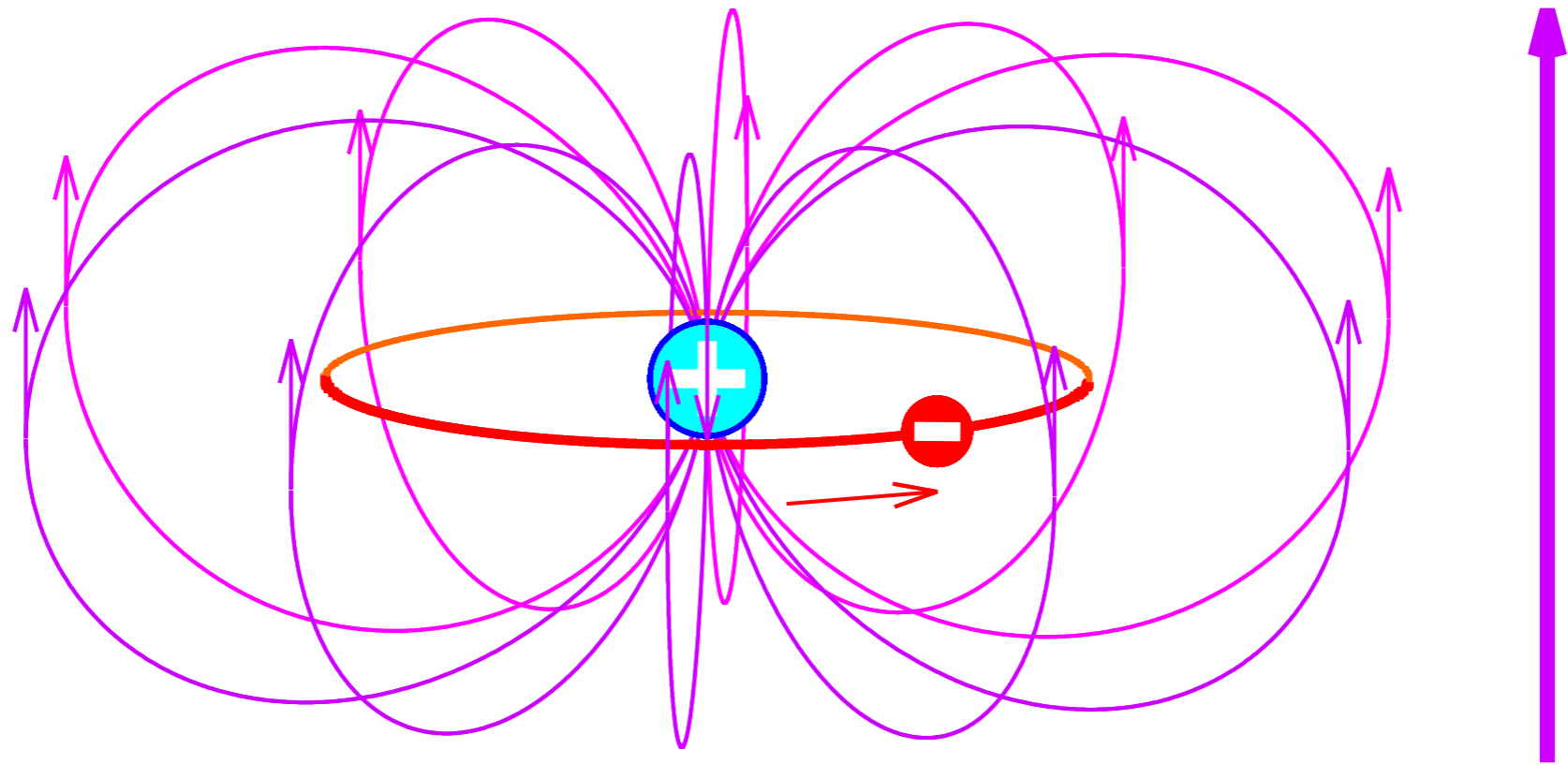


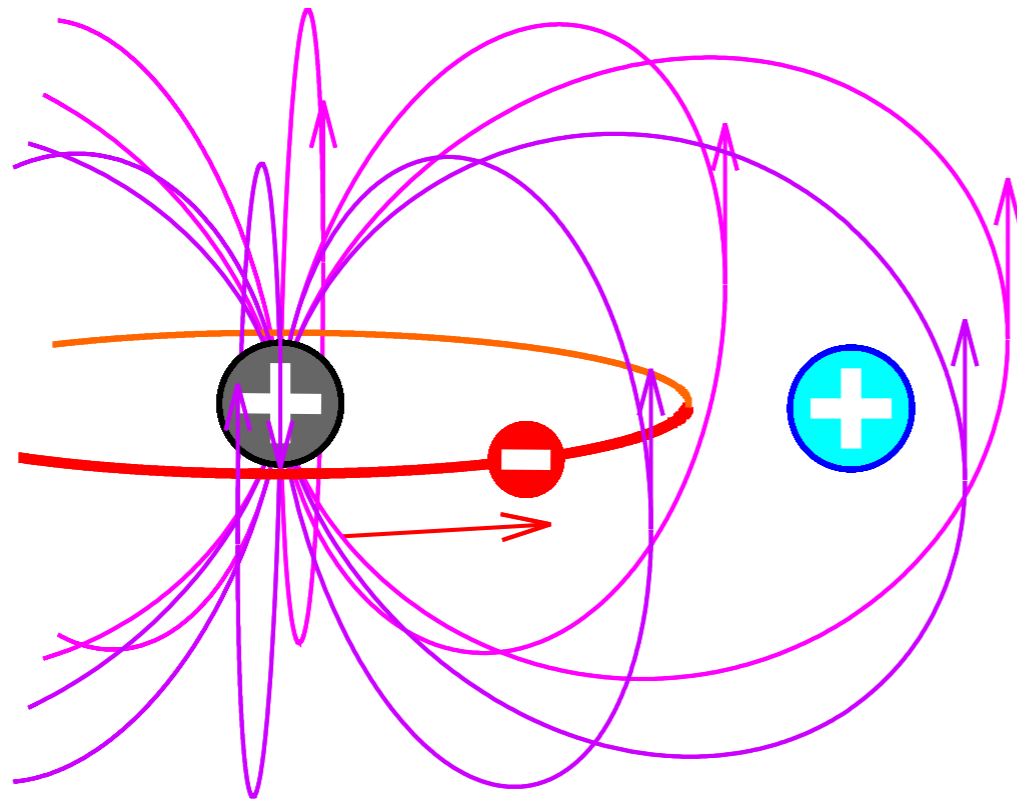


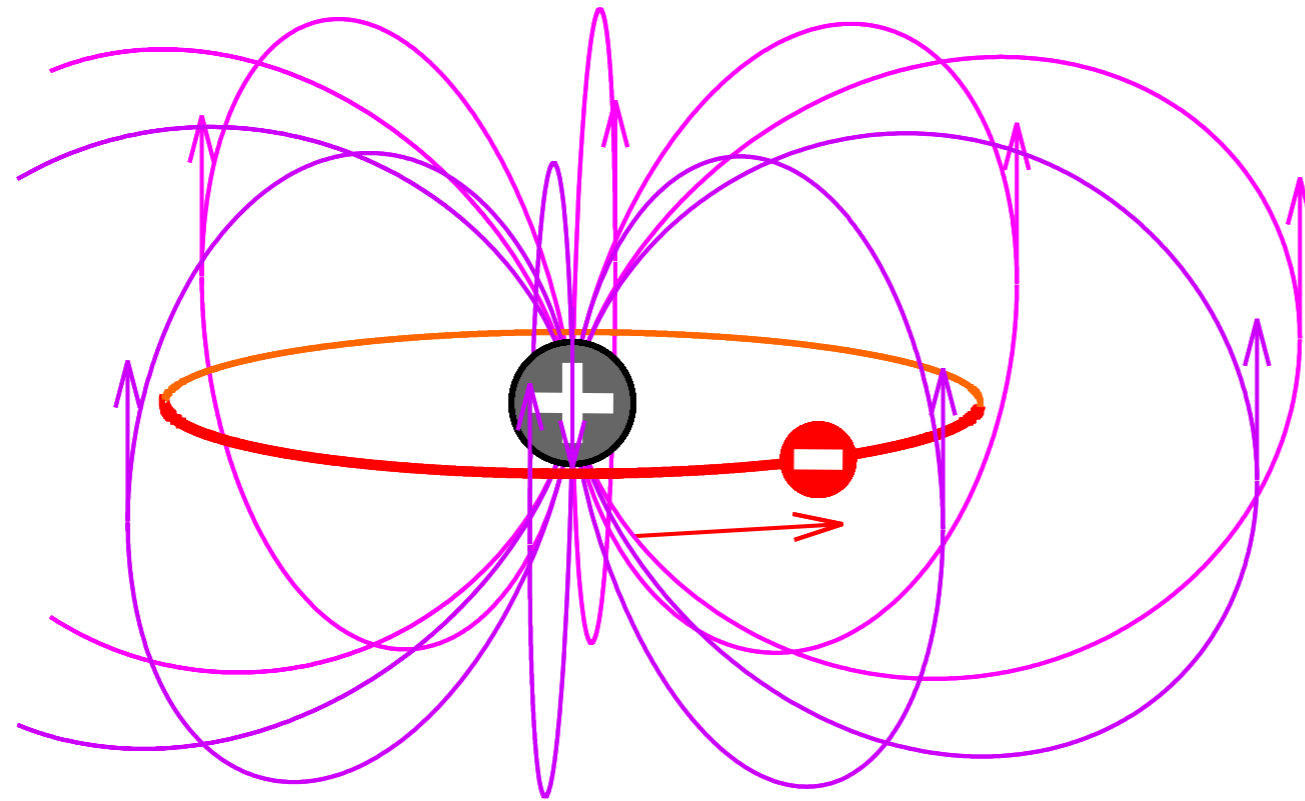


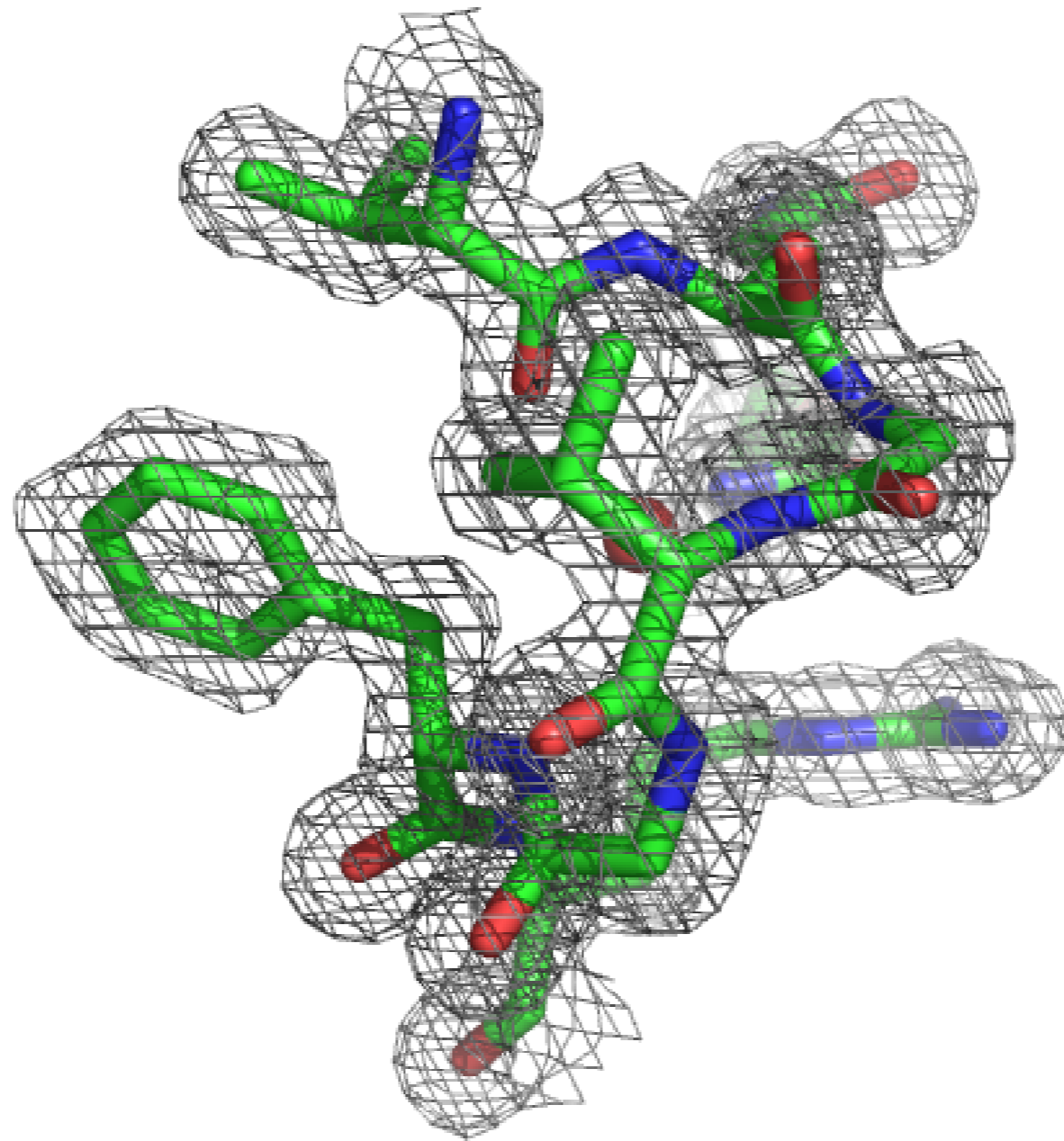


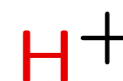
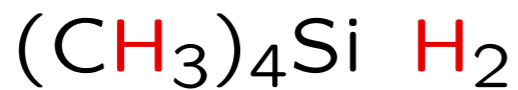
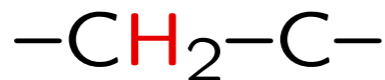
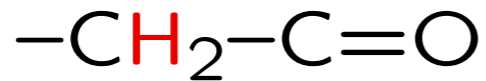
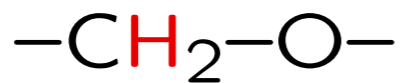
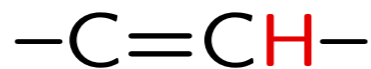
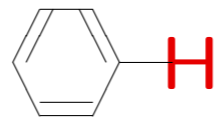












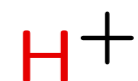
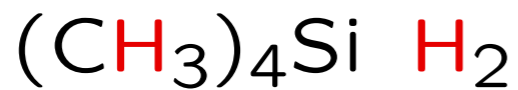
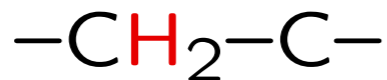
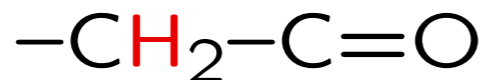
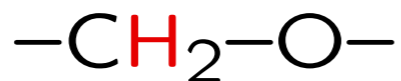
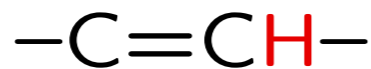
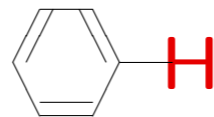
499.9985

499.9990

499.9995

500.0000 MHz



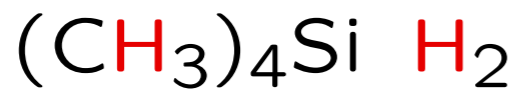
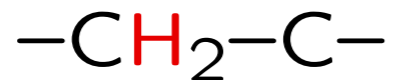
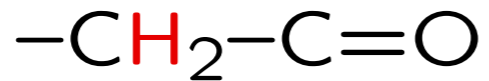
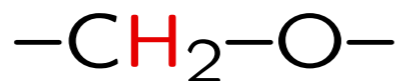
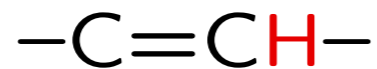
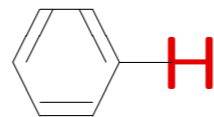
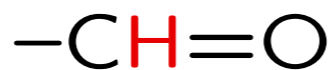


99.997 %

99.998 %

99.999 %

100.000 %

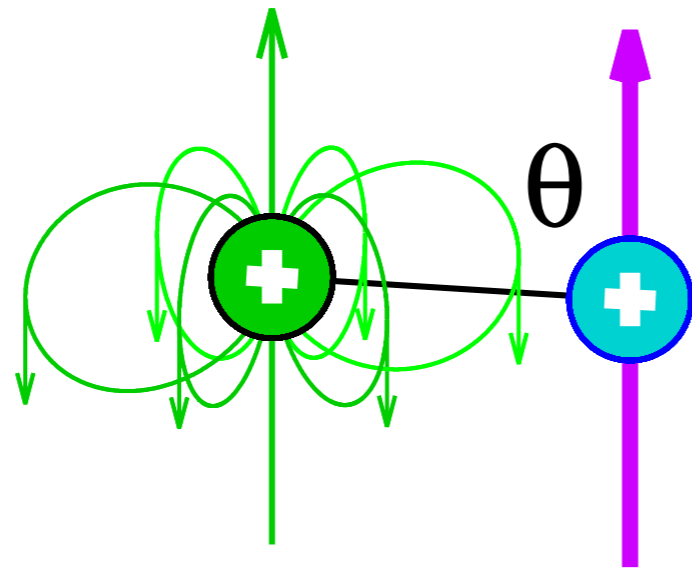


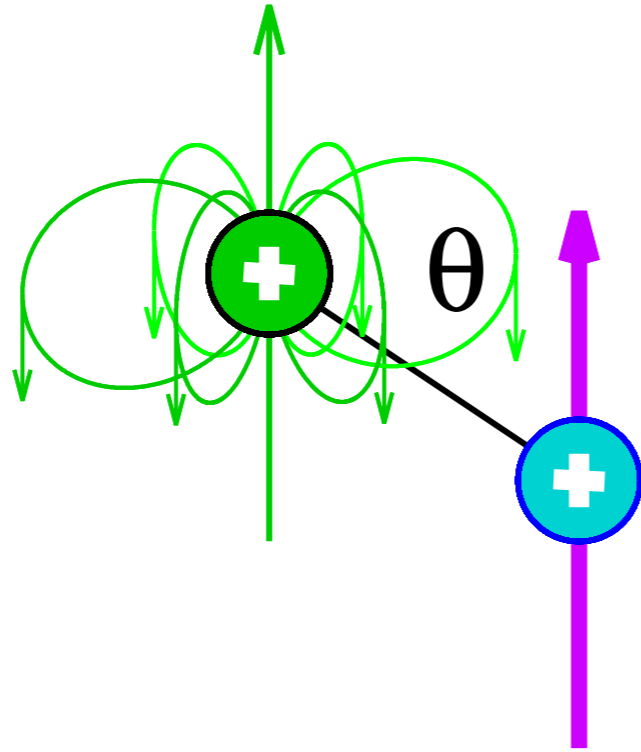
0 ppm

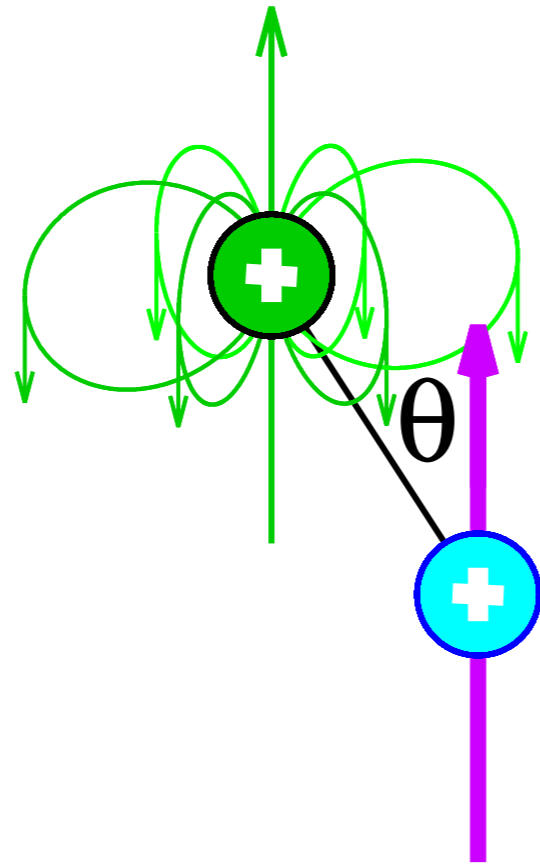
10 ppm

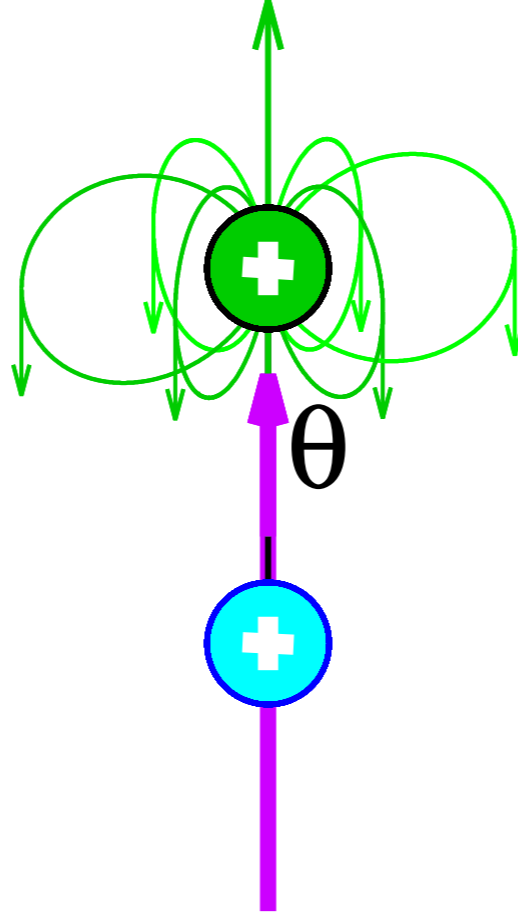
20 ppm

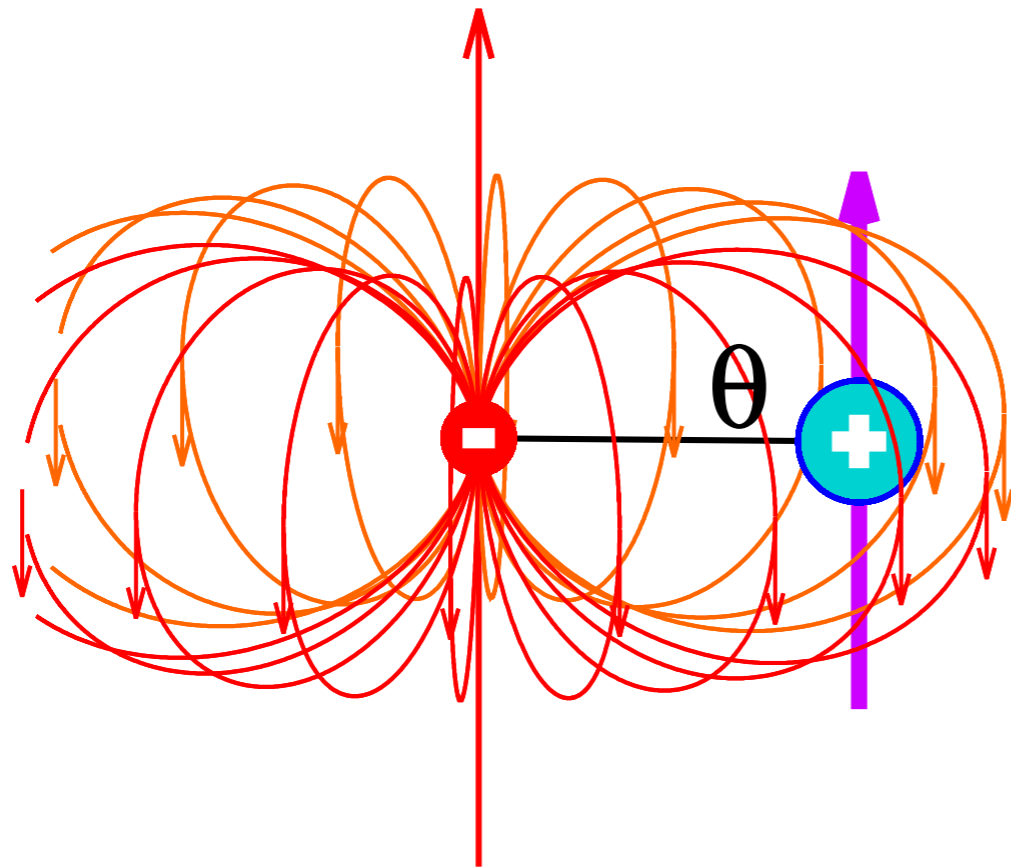
30 ppm

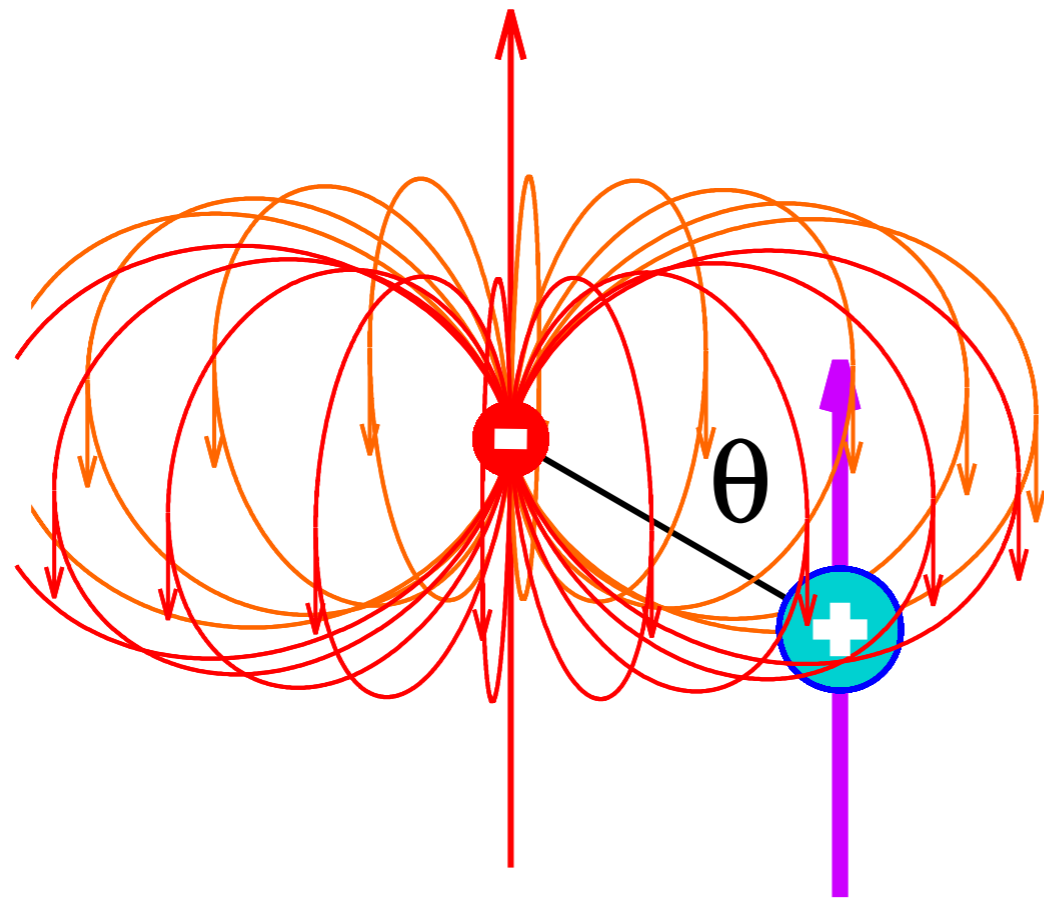




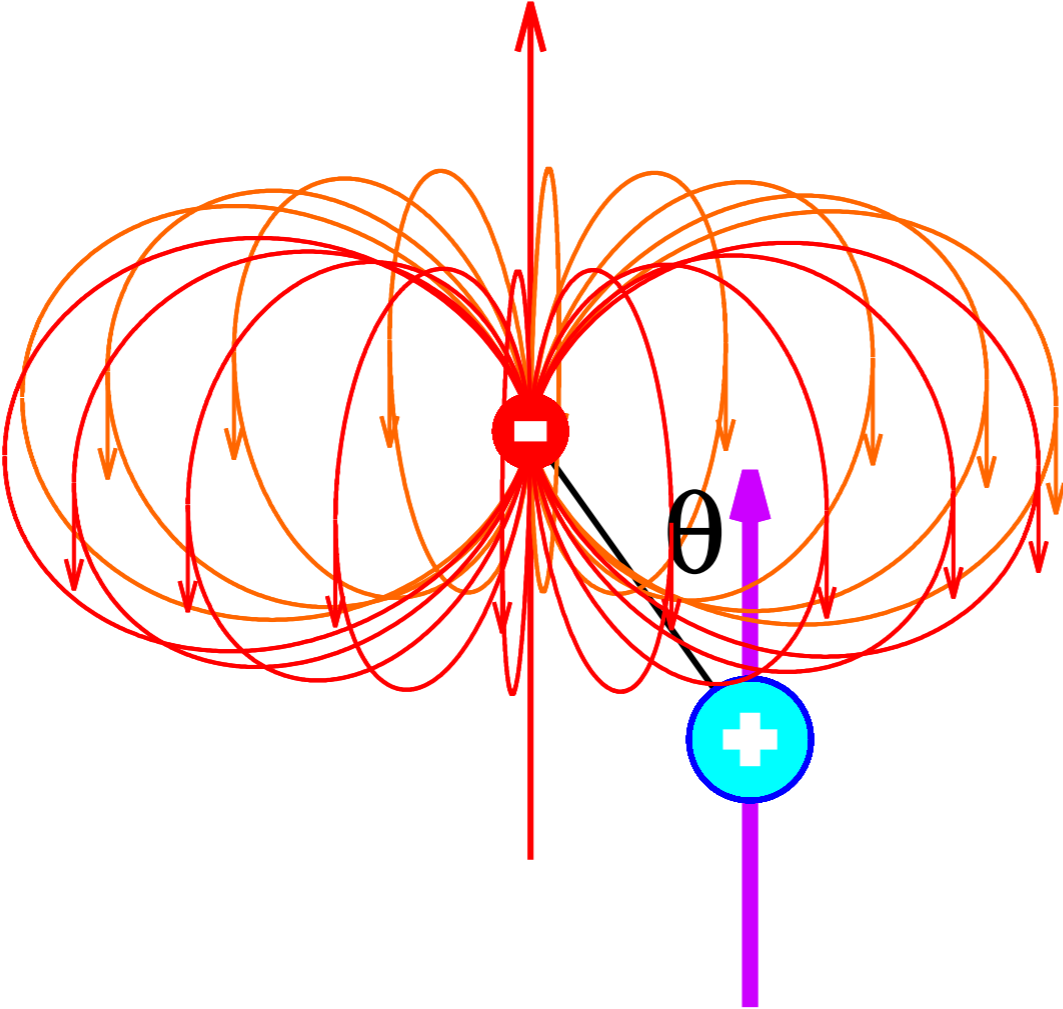


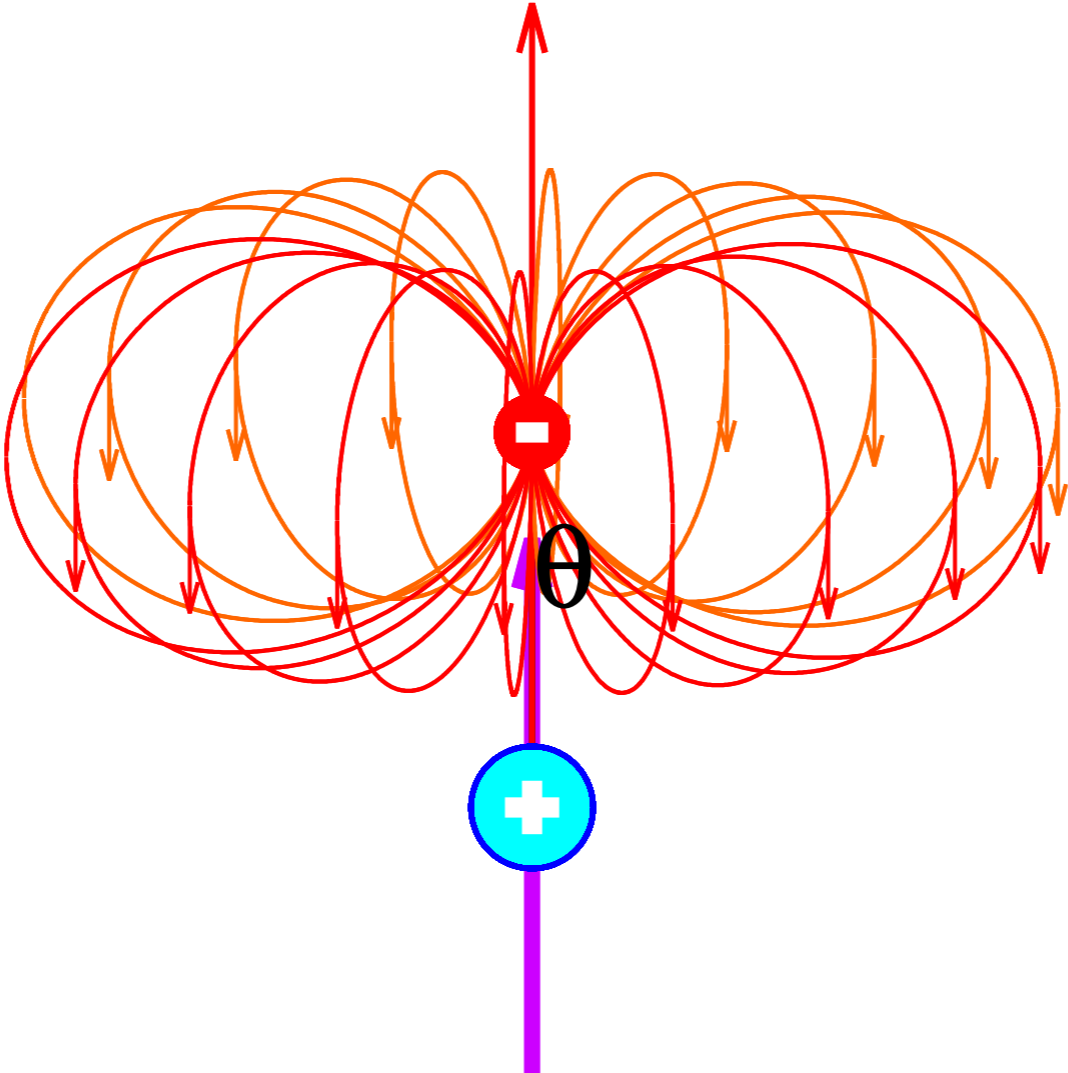


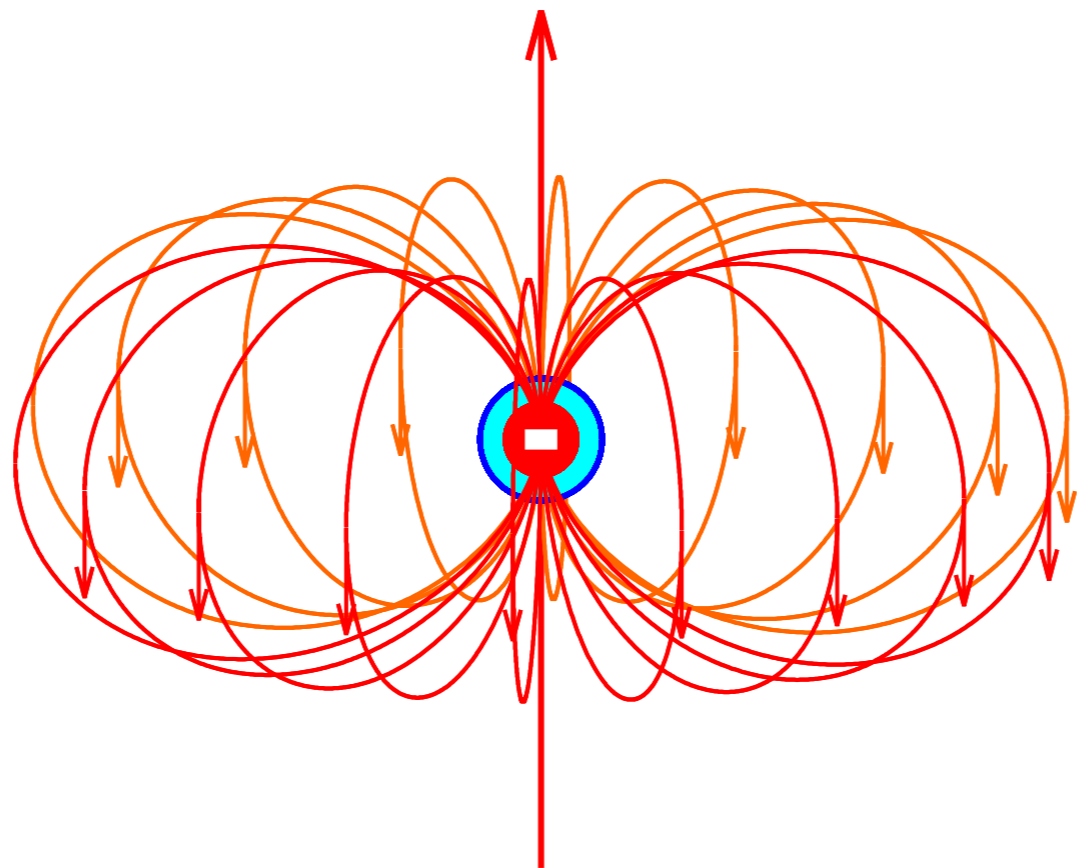




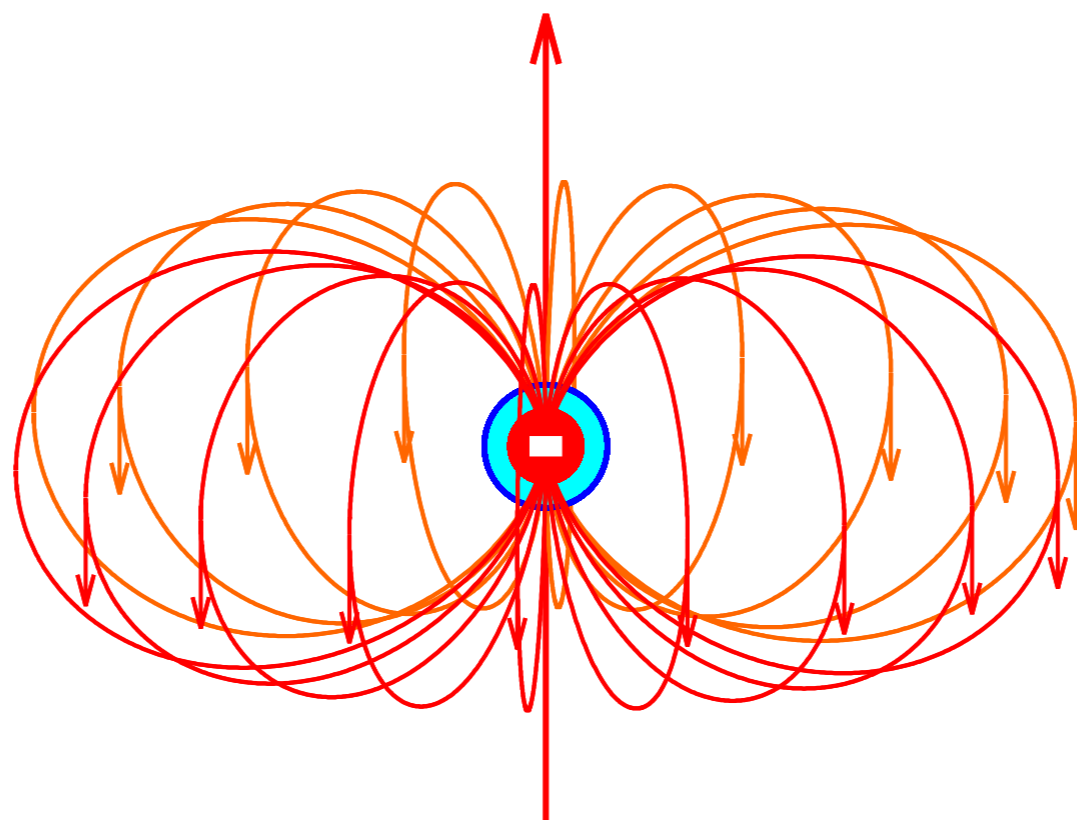


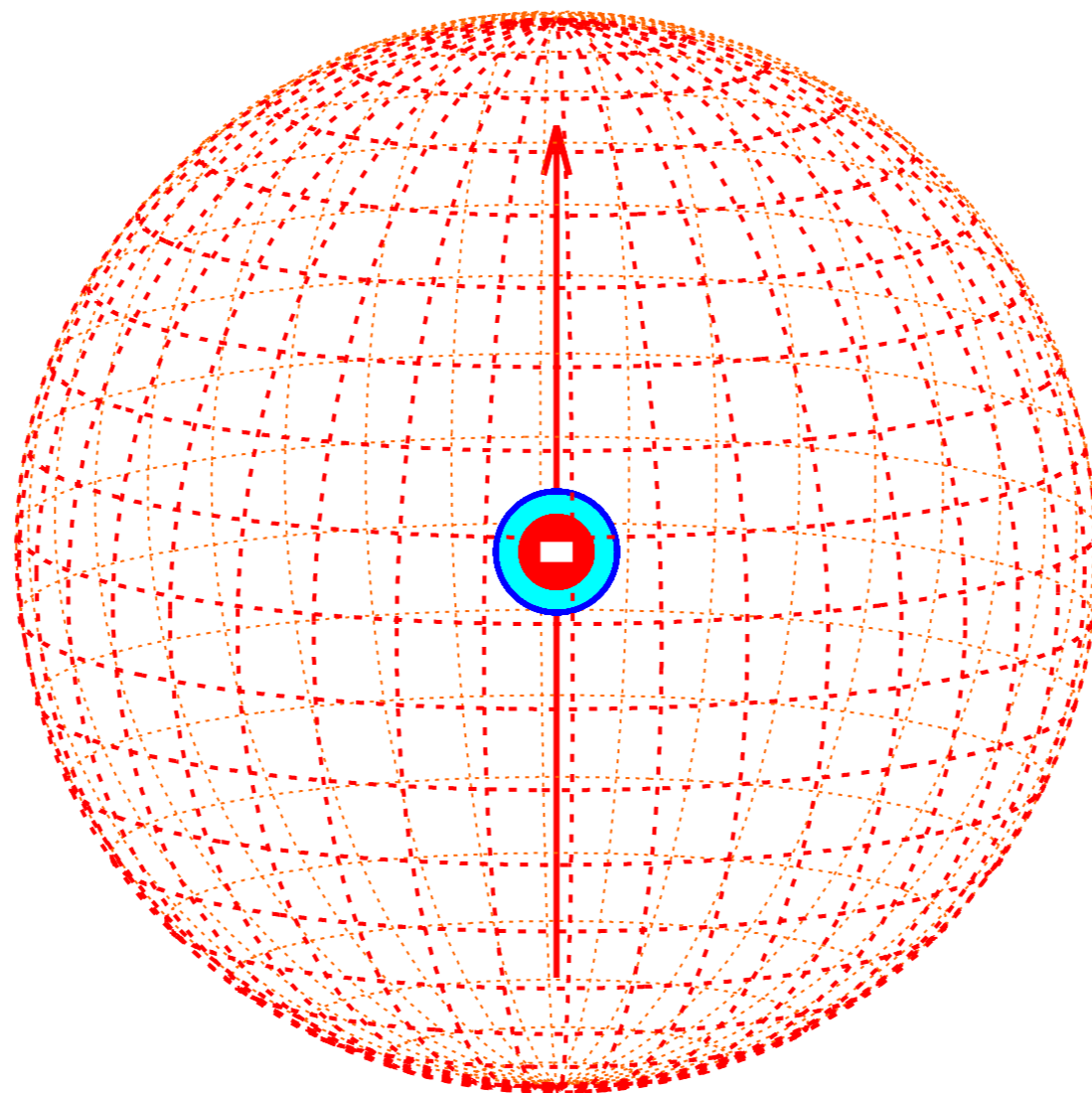


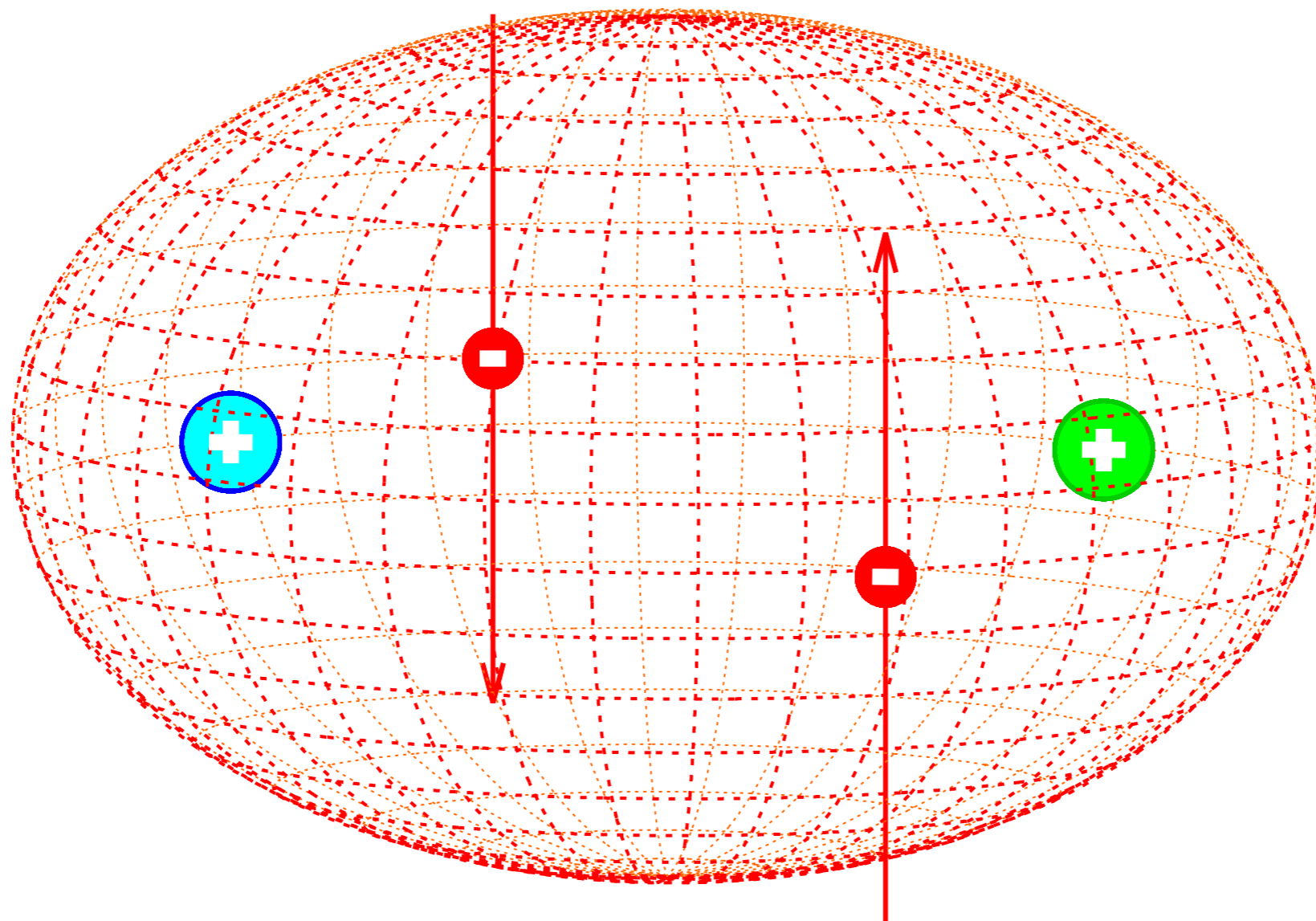


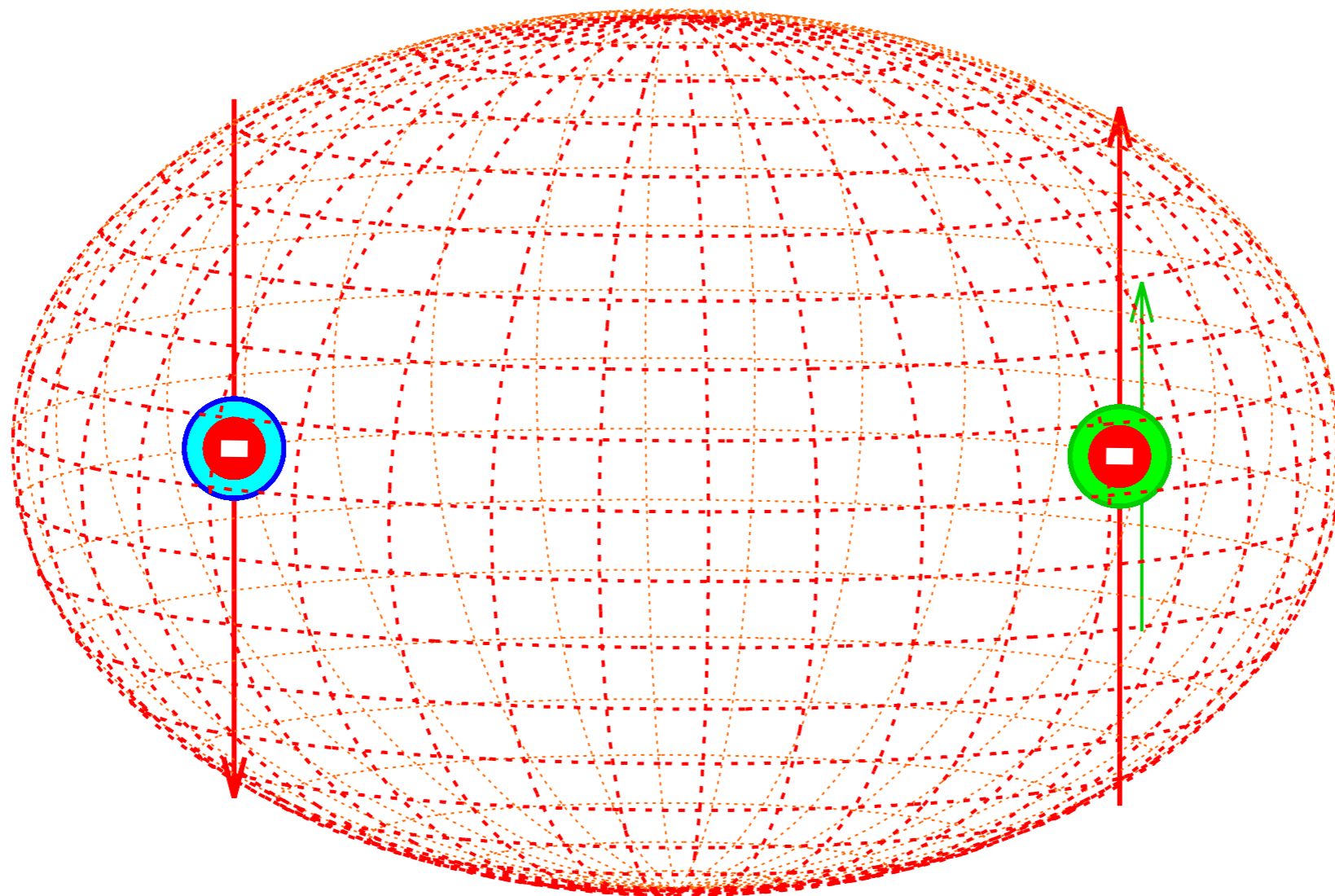


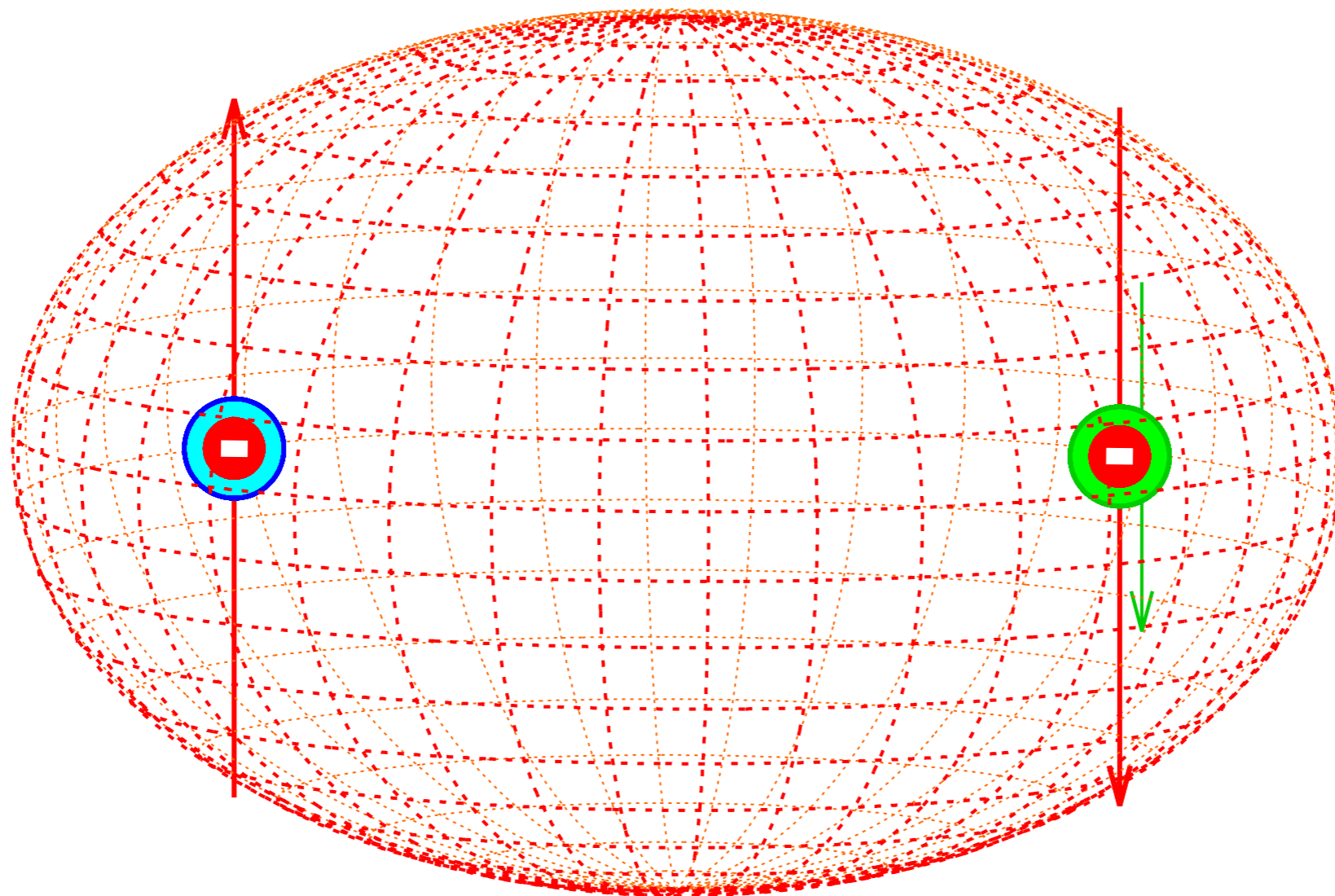
$$E = -\vec{\mu}_{\text{elektron}} \cdot \vec{\mu}_{\text{jádro}} \cdot P(\text{elektron v jádře})$$





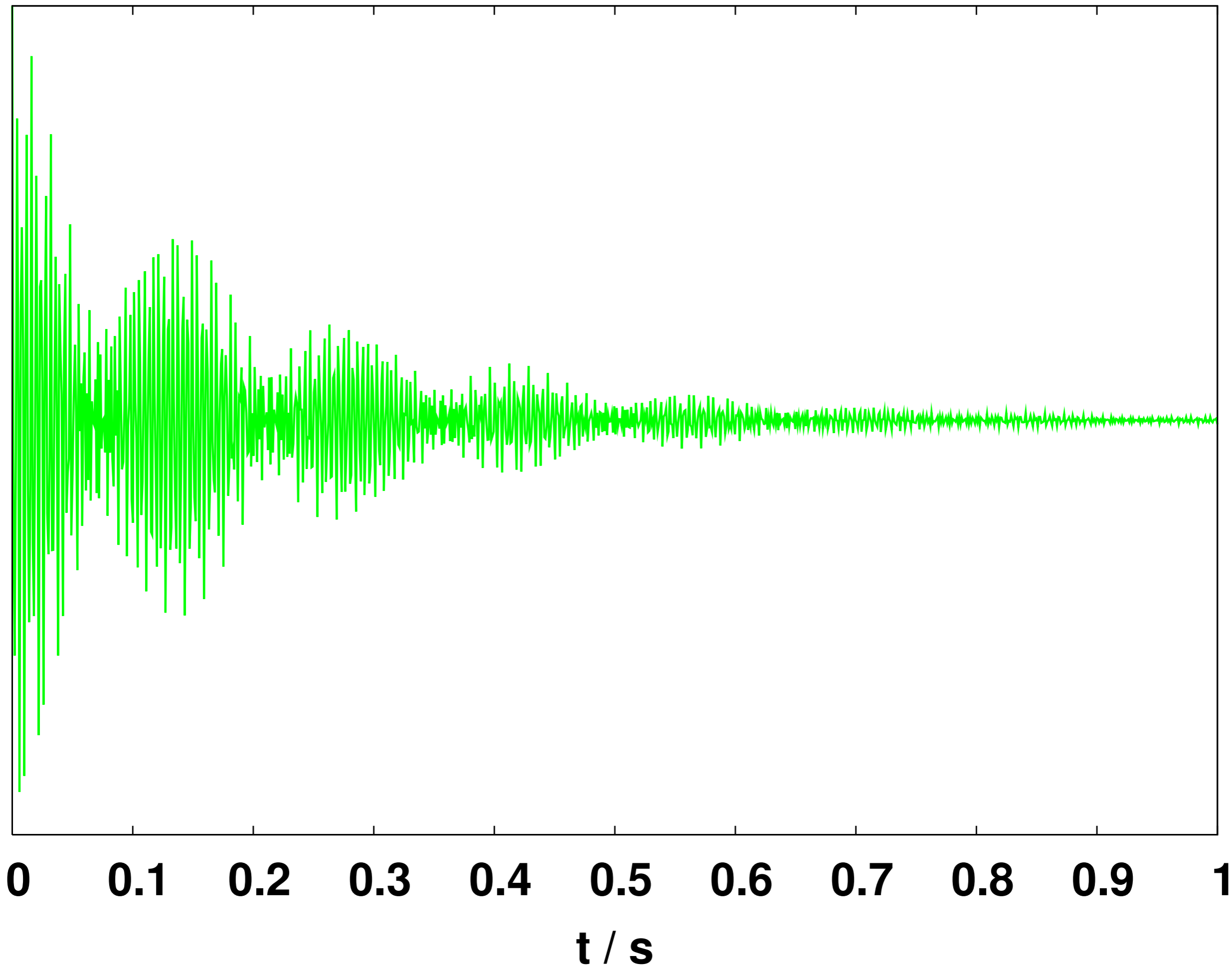


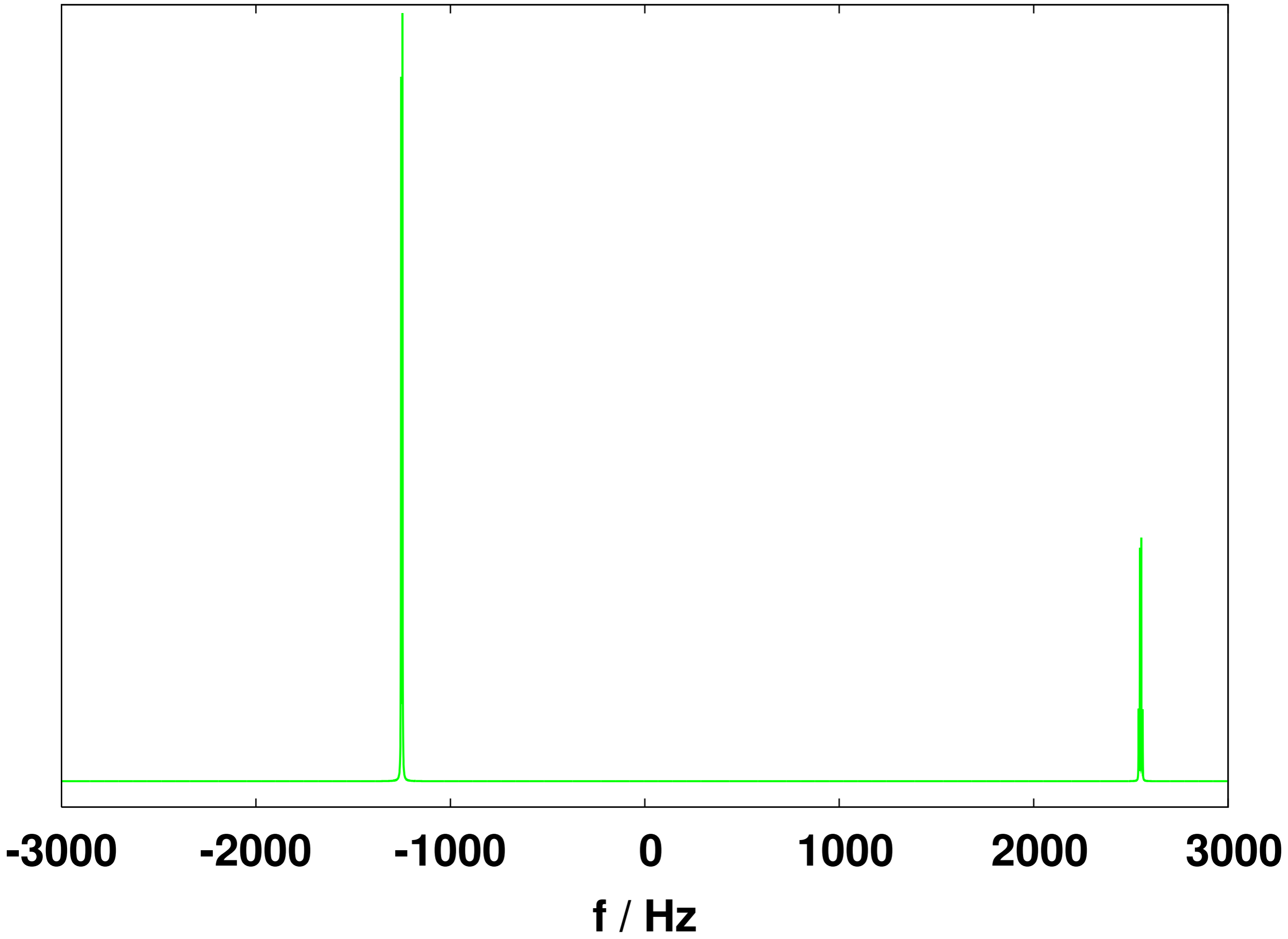


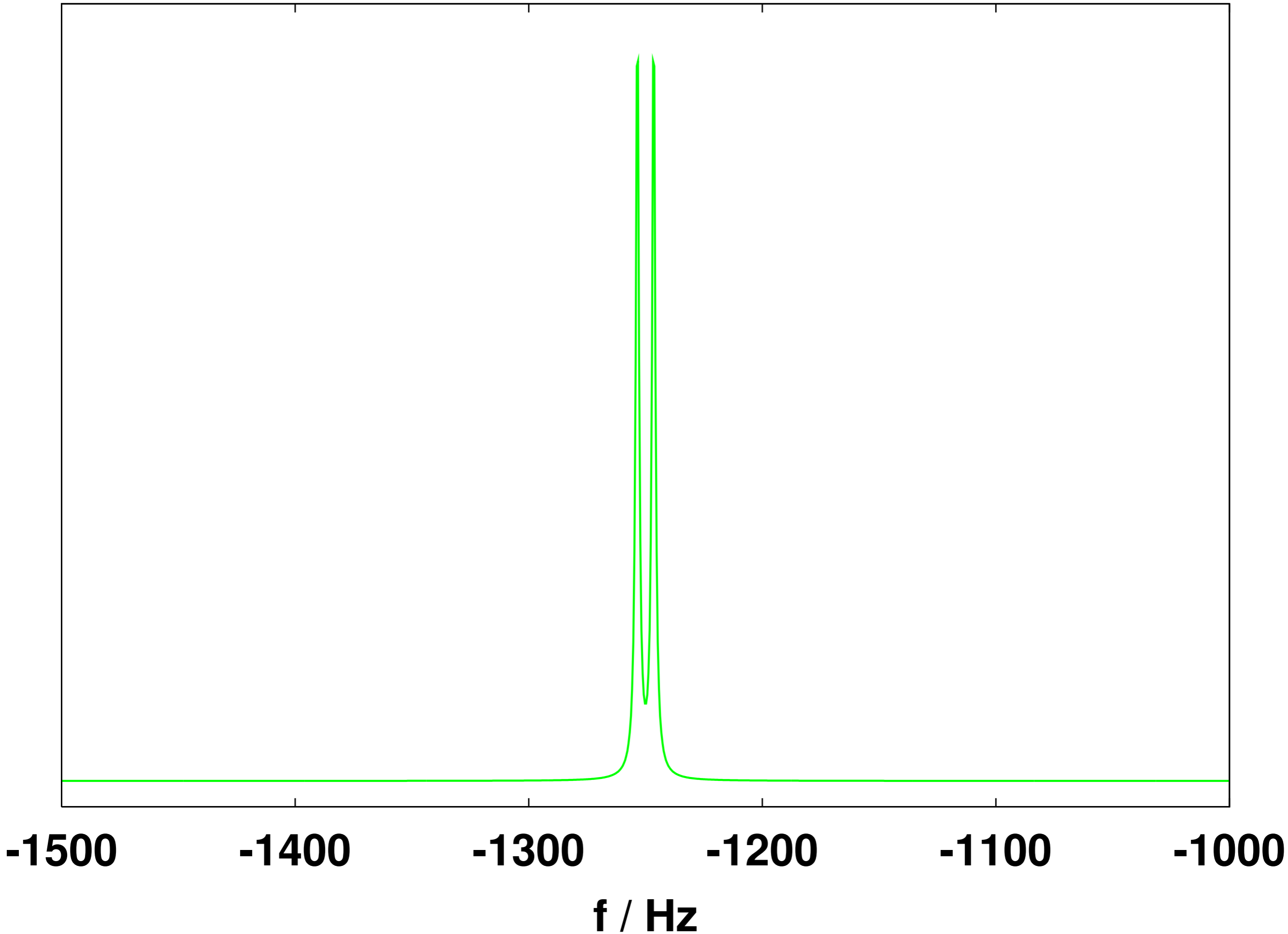


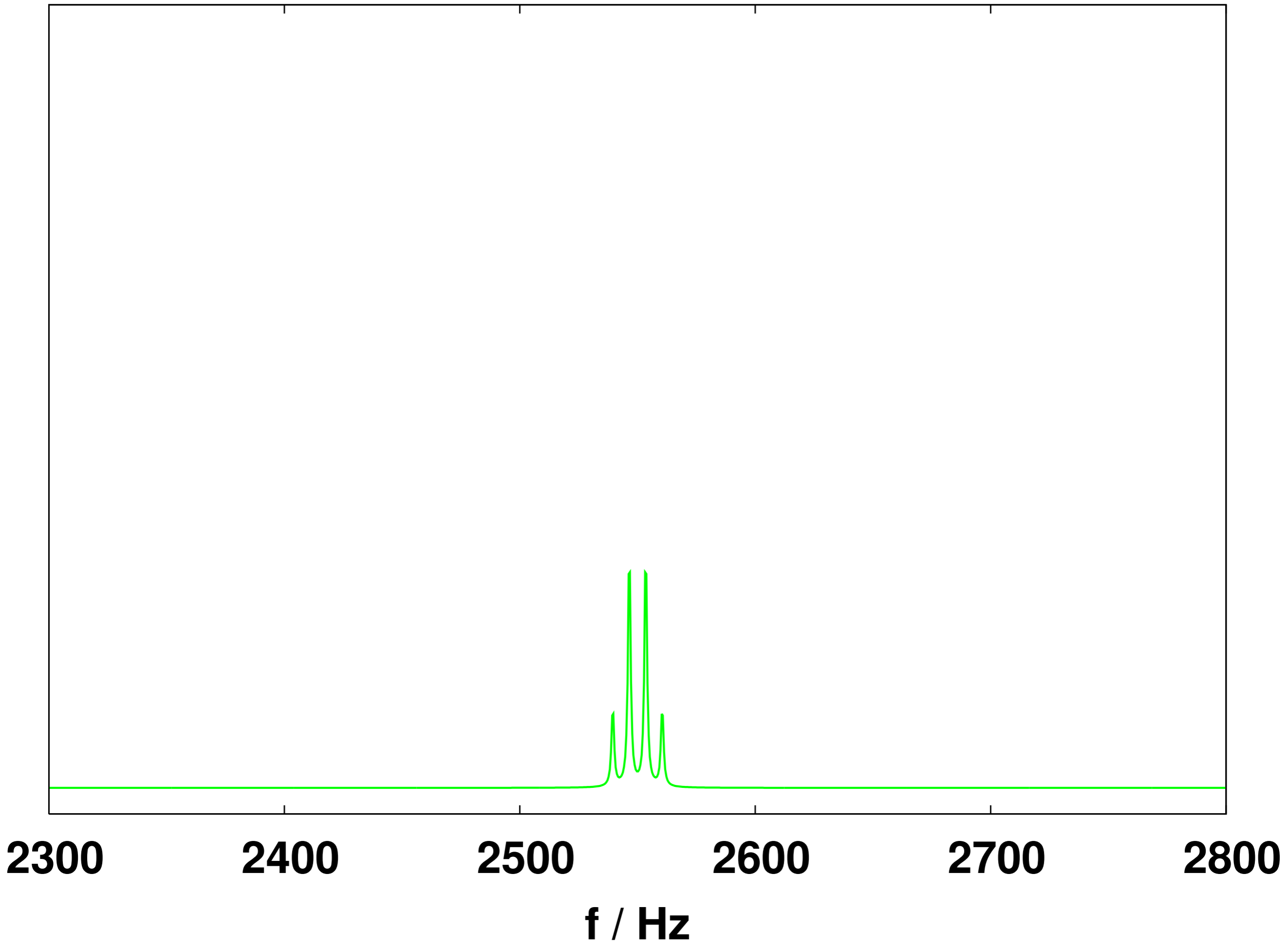


$J$ (C–H)	130–230 Hz	
$J$ (N–H)	90 Hz	
$J$ (C–C)	35–55 Hz	
$J$ (N–C)	10–15 Hz	
$J$ (H–C–H)	14 Hz	
$J$ (H–C–C–H)	0–14 Hz	závisí na torzním úhlu







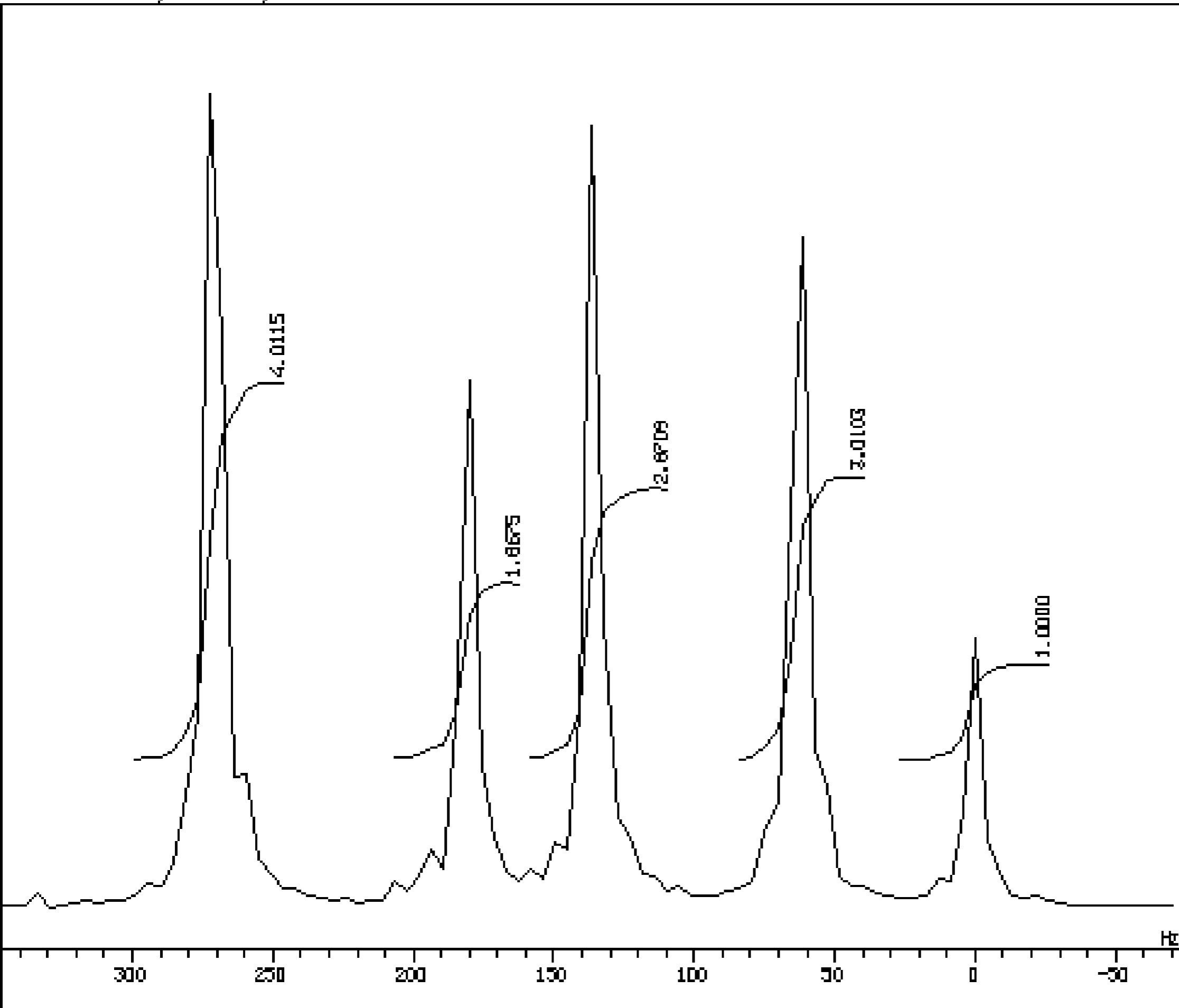


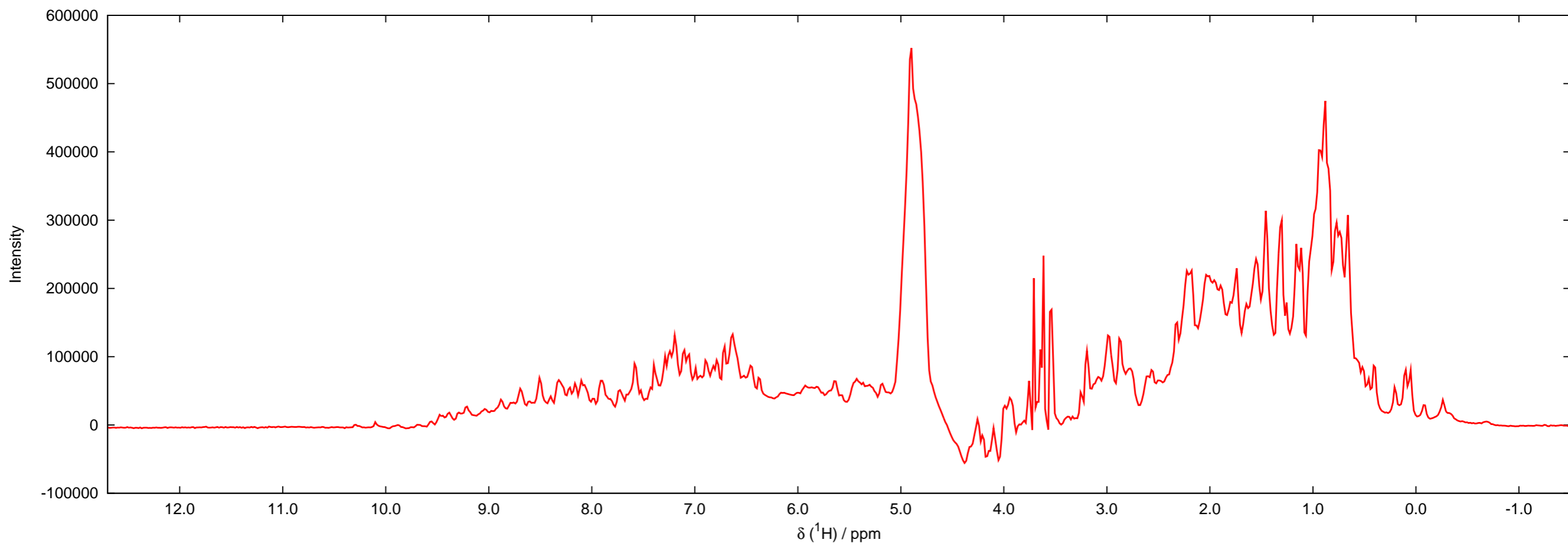
Acetaldehyd

Methyl acetaldehydu

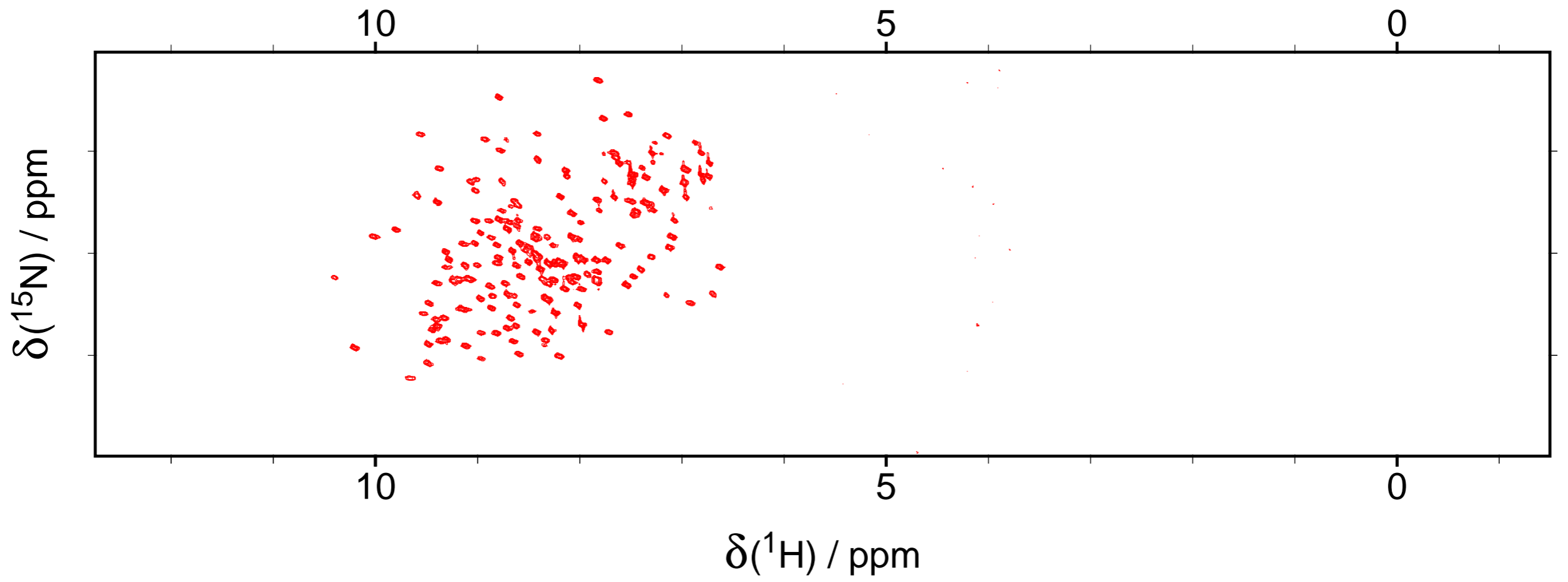
Hänschen klein

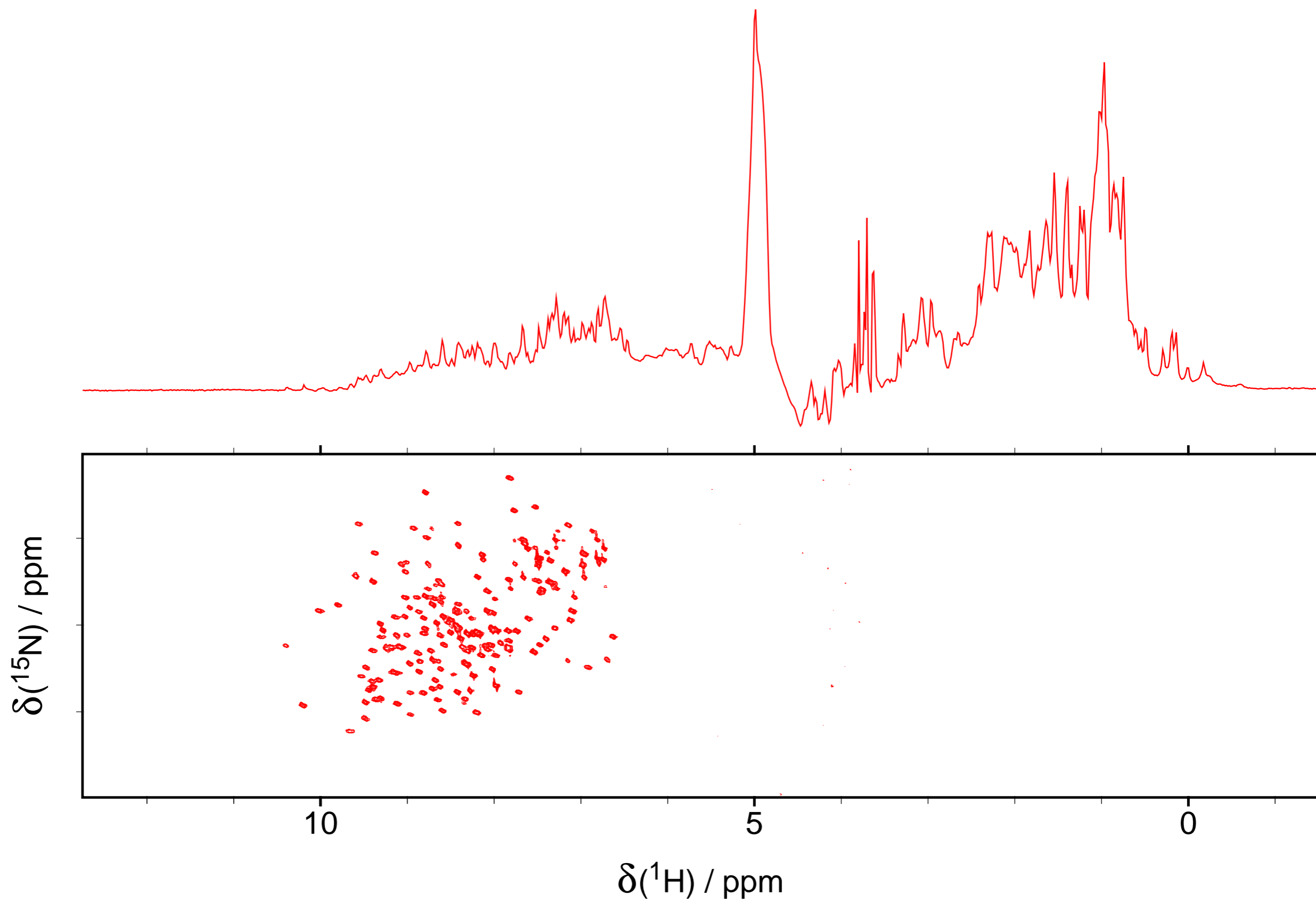
SFILE : HANS  
 EXMOD : HANS  
 IRMOD : NON  
 POINT : 2048  
 SAMPD : 2048  
 FREQU : 9000.90 Hz  
 FILTR : 4500 Hz  
 SCANS : 1  
 QUANTY : 0  
 ACQTH : 0.7275 sec  
 PD : 2.7231 sec  
 RGAIN : 10  
 PW1 : 1.00 usec  
 OBNUC : 1H  
 OBFRQ : 500.00 MHz  
 OBSET : 160200.00 Hz  
 IRNUC : 13C  
 IRFRQ : 125.65 MHz  
 IRSET : 127958.00 Hz  
 IRATN : 511  
 IRRPW : 50.0 usec  
 IRBP1 : 50  
 IRBP2 : 6  
 IRNS : 0  
 TRNUC : 1H  
 TRFRQ : 500.00 MHz  
 TRSET : 162410.00 Hz  
 TRATN : 511  
 TRRPW : 50.0 usec  
 TRBP1 : 30  
 TRBP2 : 6  
 TRNS : 0  
 CTEMP : 24.1 c  
 CSPED : 11 Hz  
 SLVNT : C6D6  
 RESOL : 4.39 Hz  
 NNUC : 8  
 BF : 0.10 Hz  
 CF : 0.00 Hz  
 PF : 840 cp  
 ABSFO : -92.11 deg  
 ABSF1 : 0.00 deg  
 T1 : 0.00 s  
 T2 : 0.00 s  
 T3 : 90.00 s  
 T4 : 100.00 s  
 REFVL : 0.00 ppm  
 T19F : 902  
 XE : 421.92 Hz  
 XS : -676.83 Hz  
 Y6 : 0.001

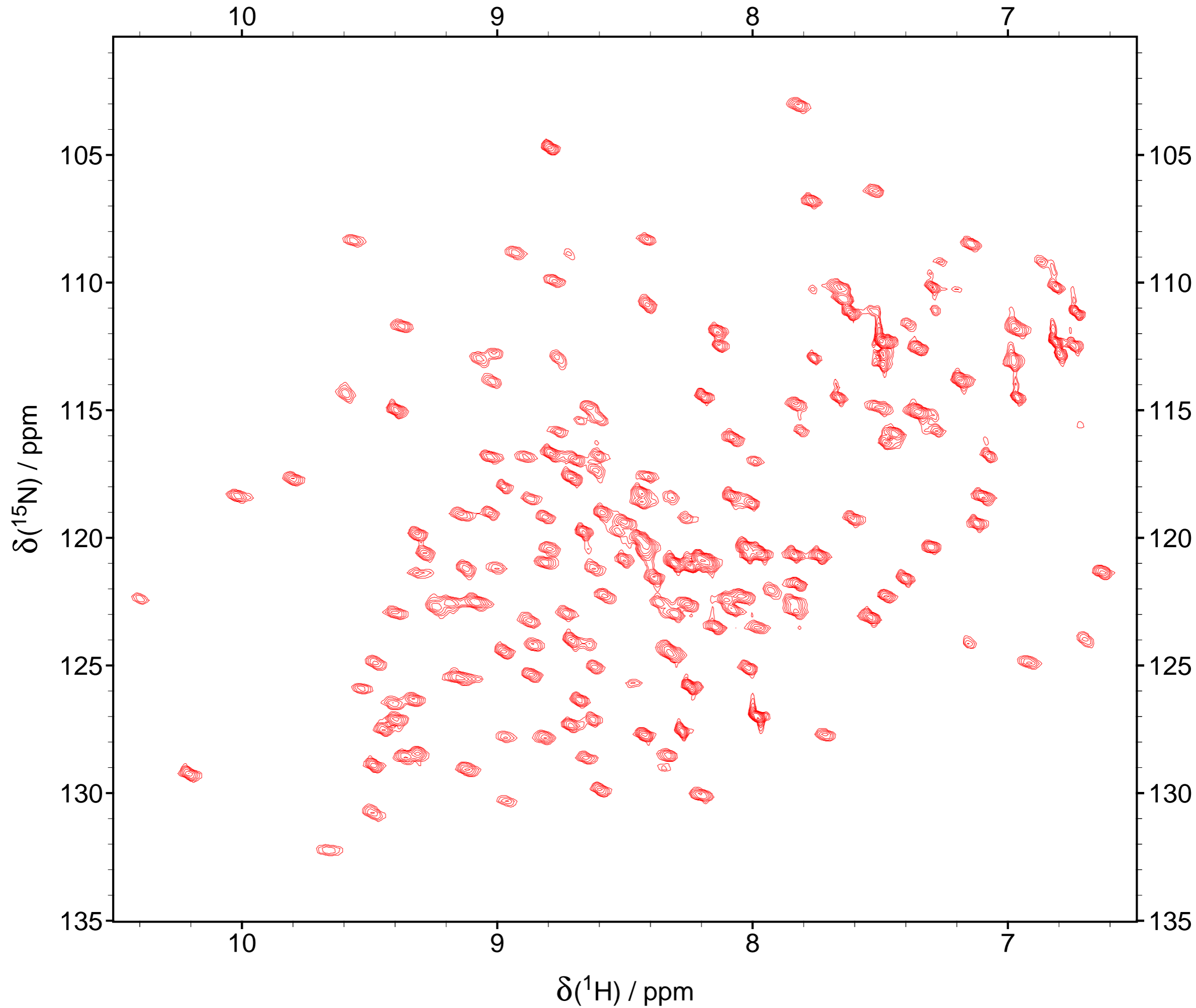


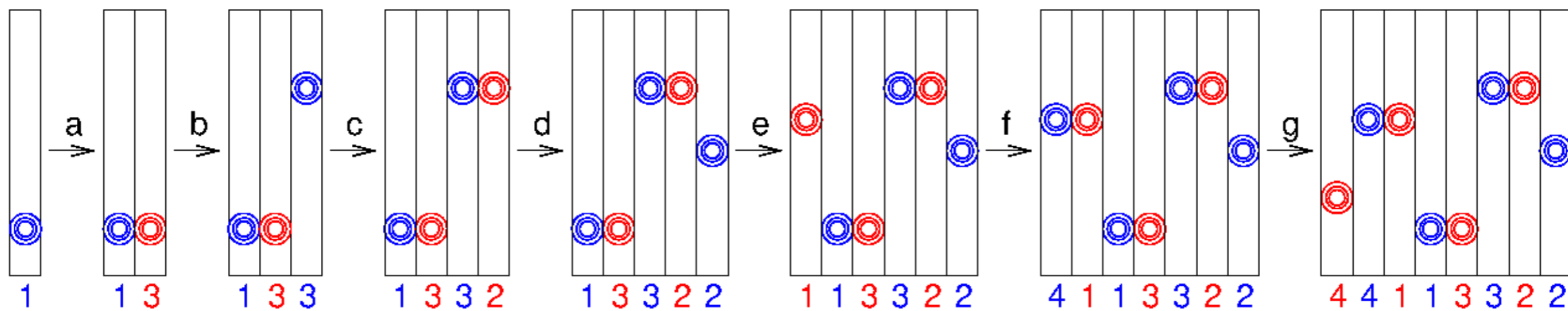
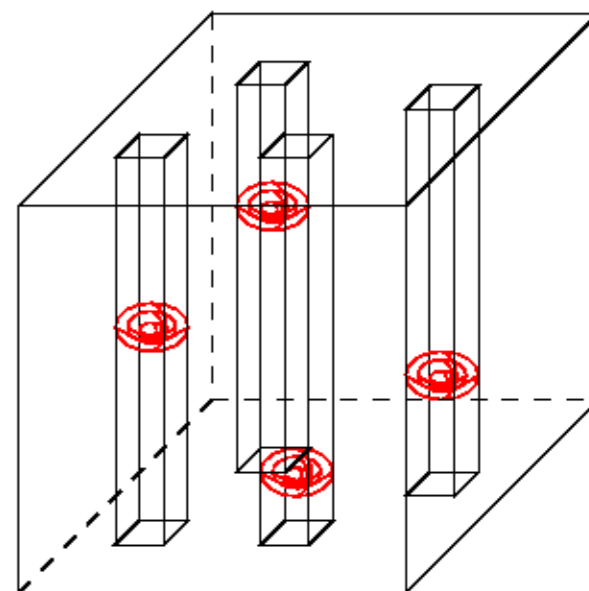
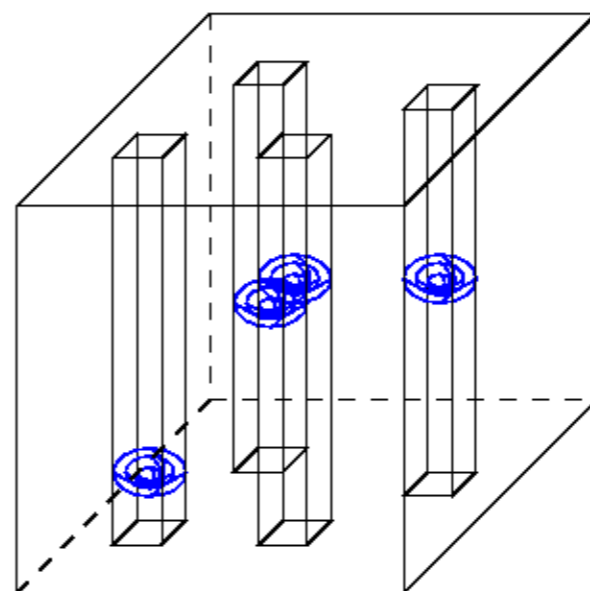
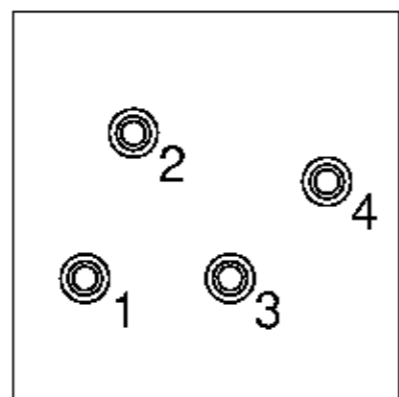
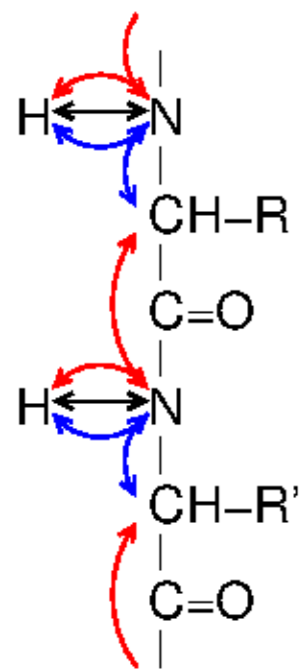


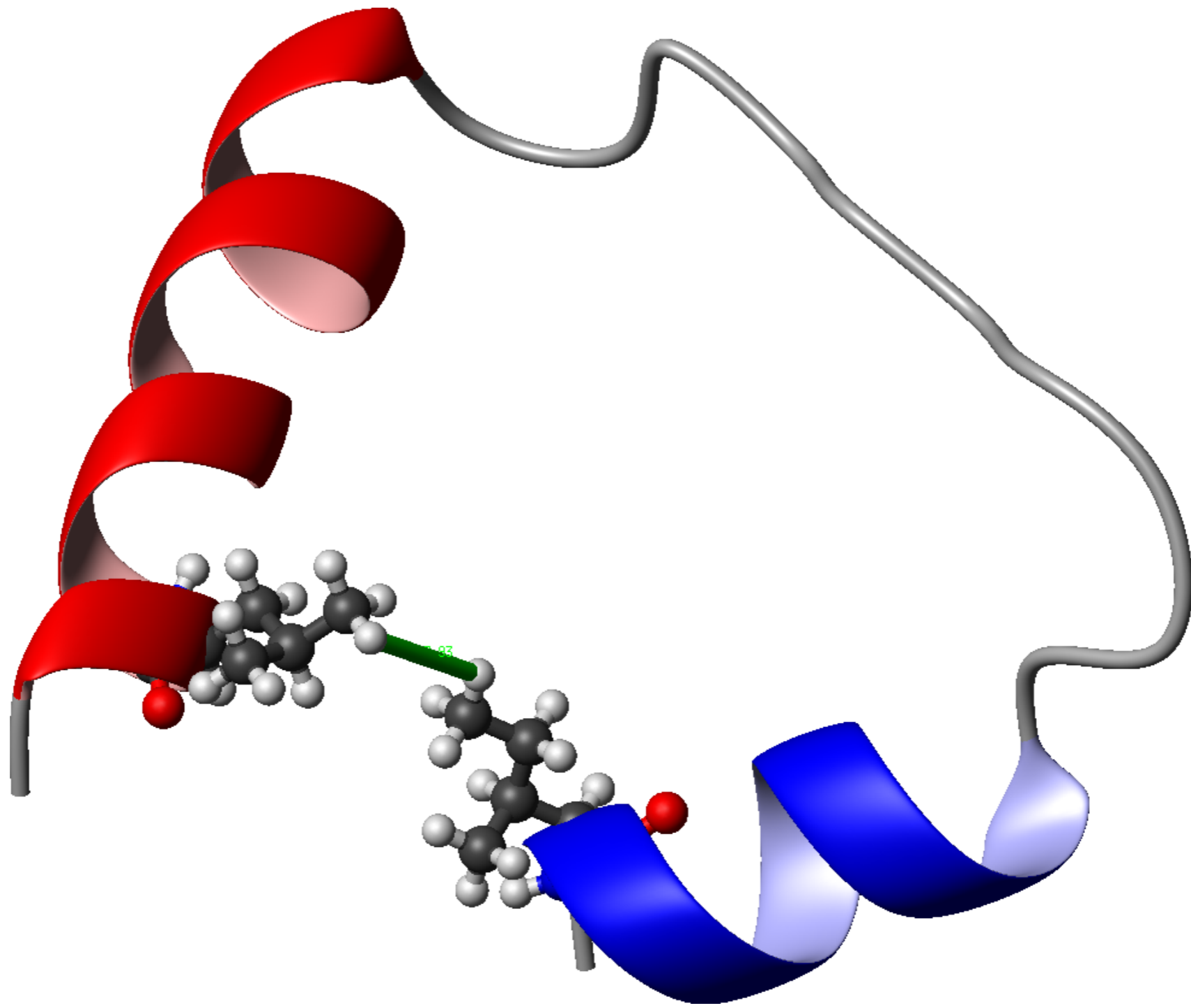


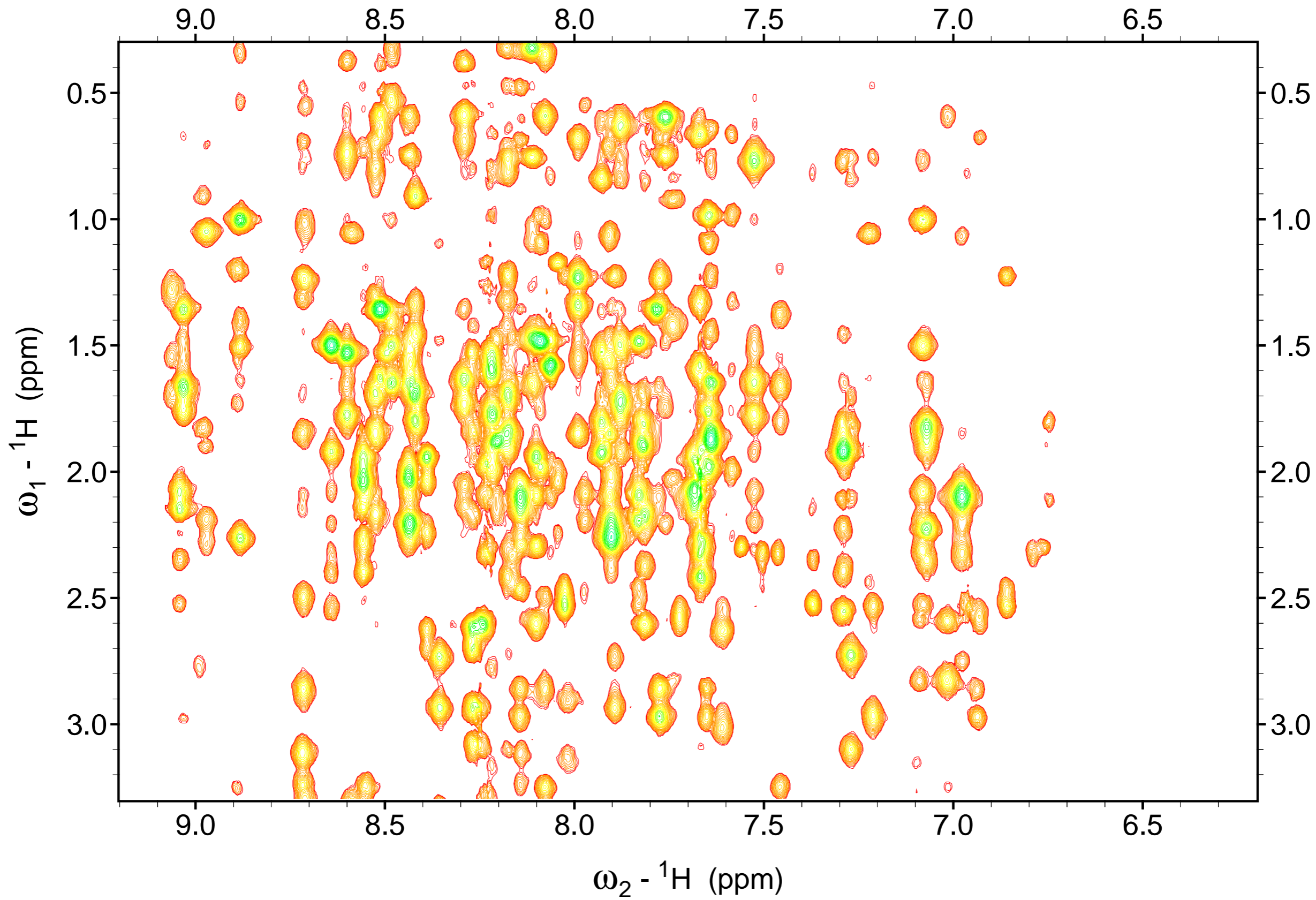


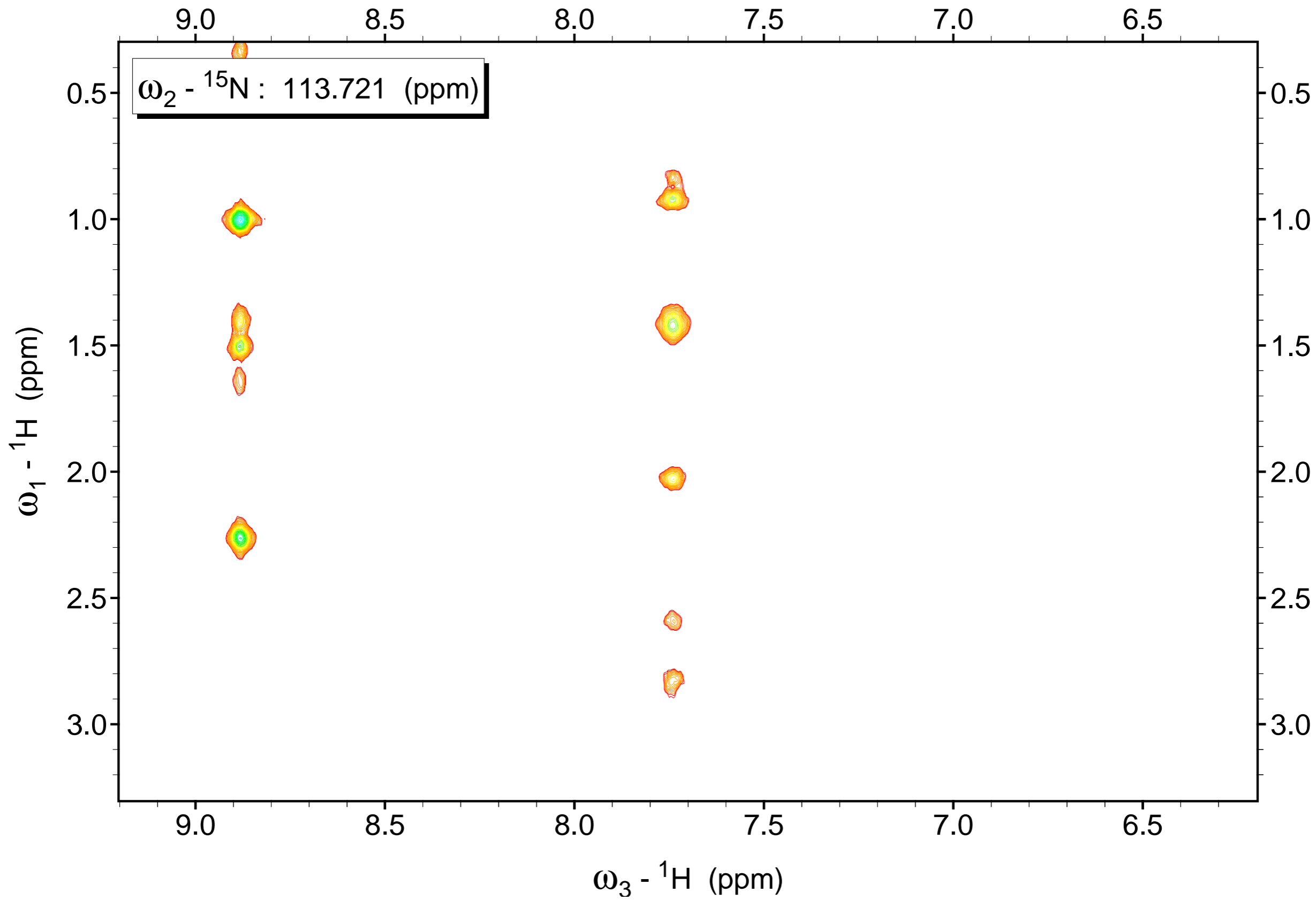


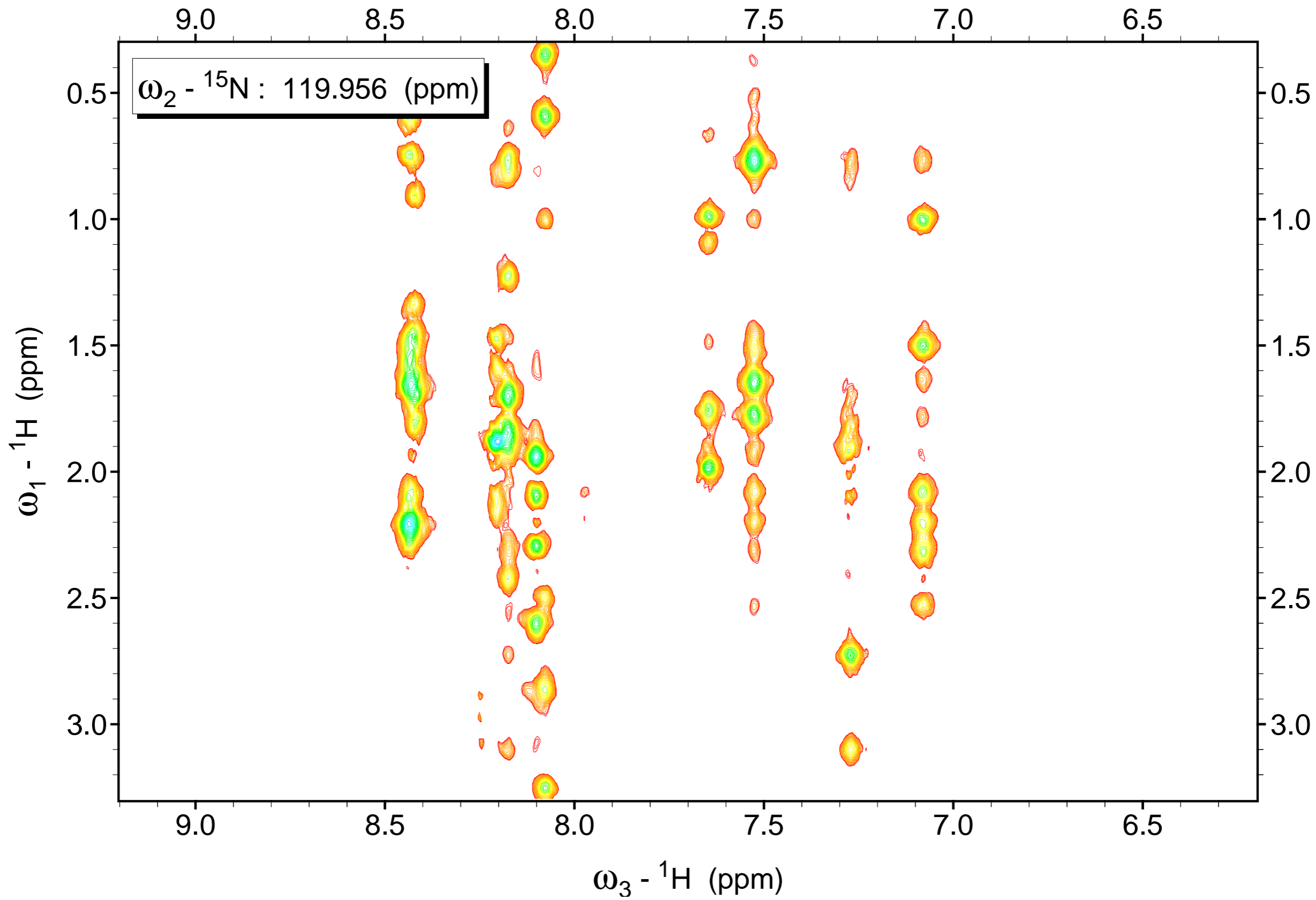




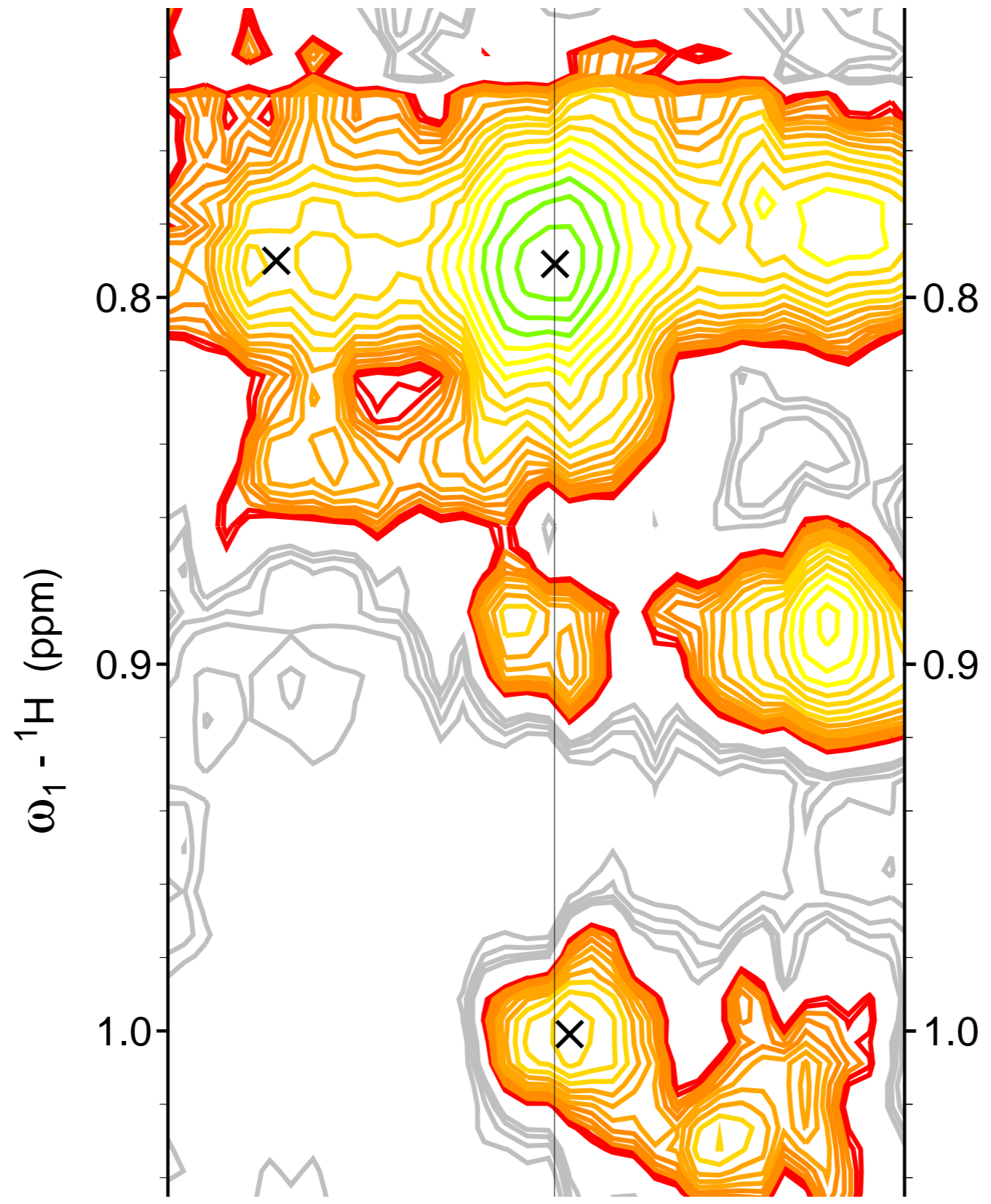


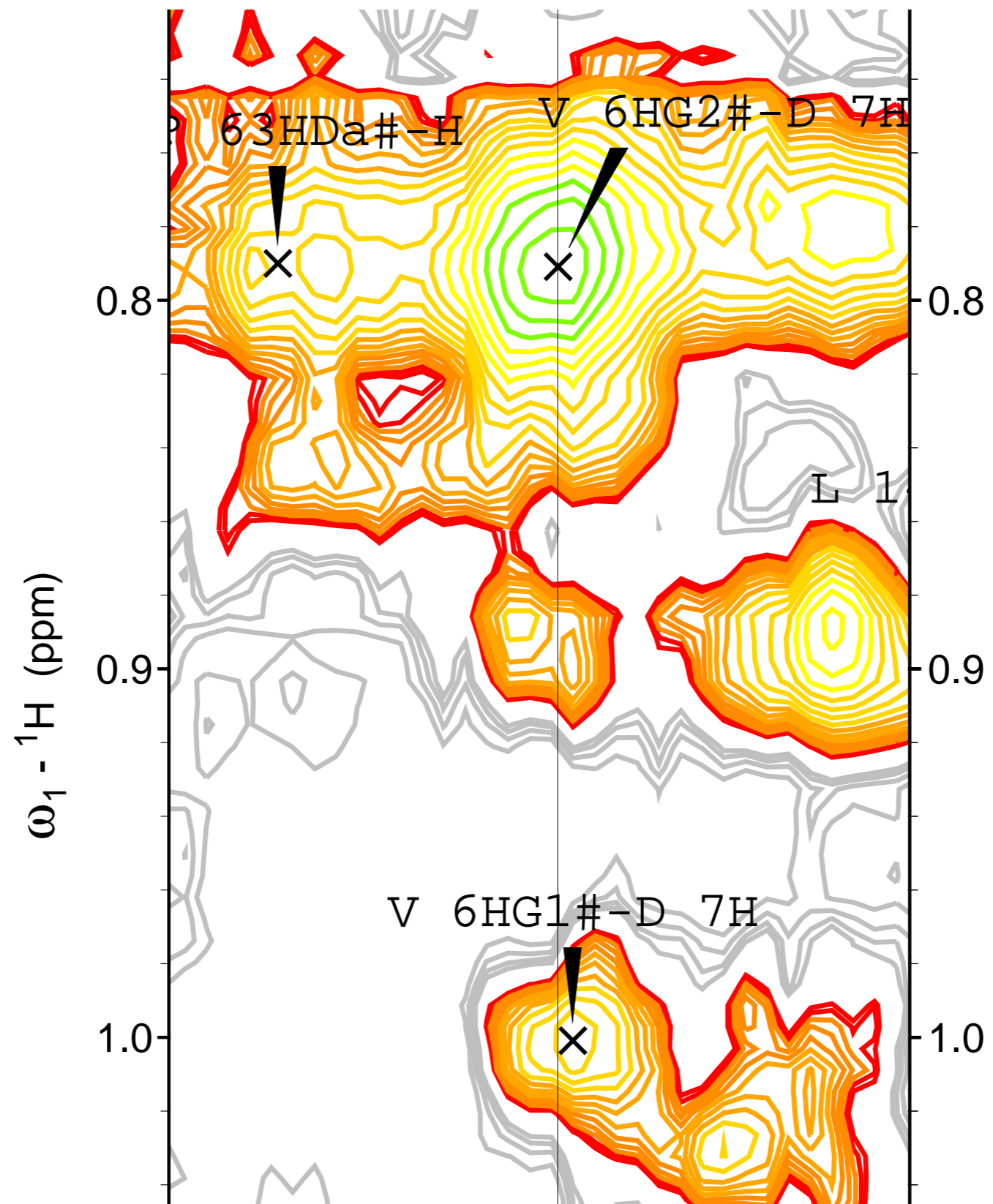








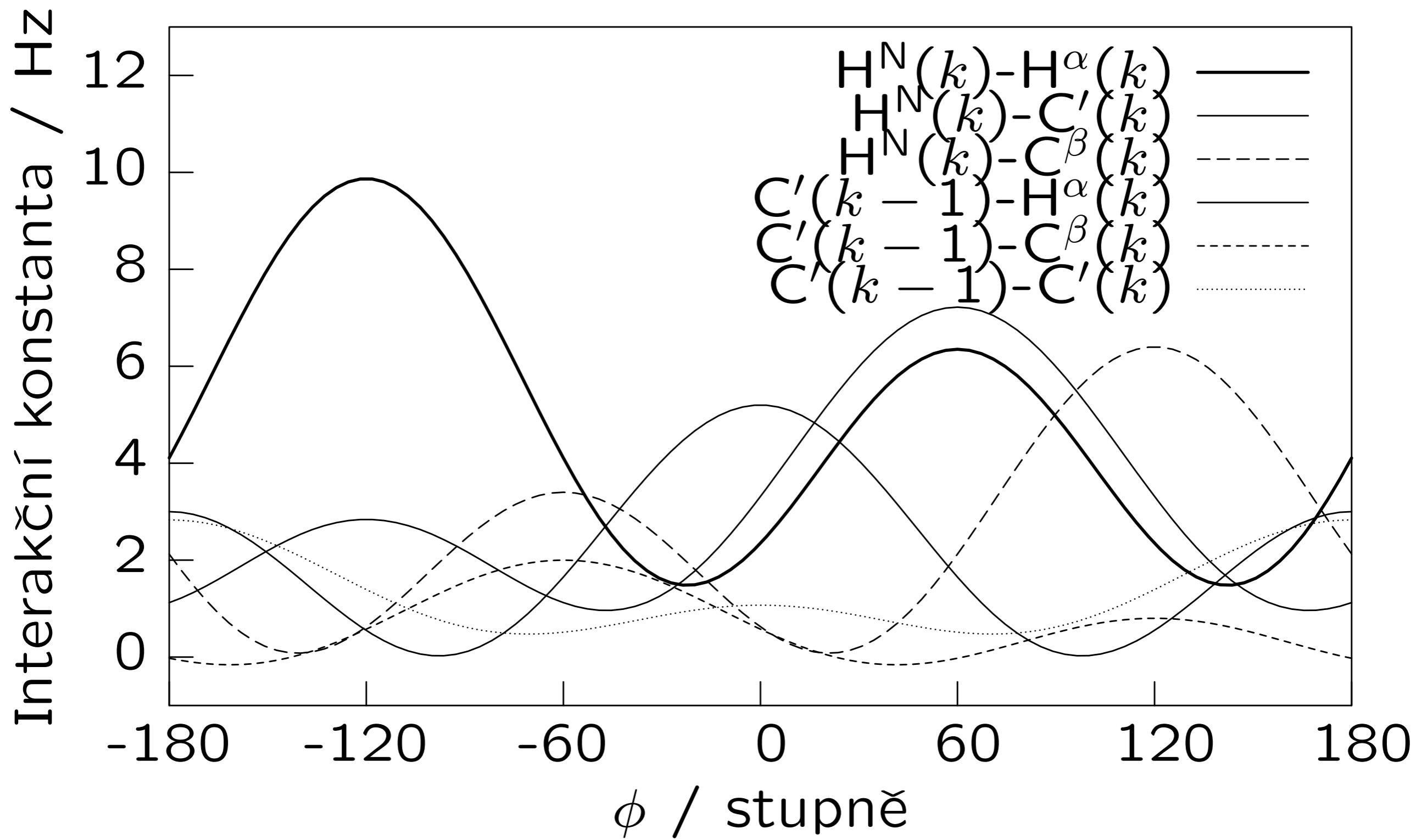




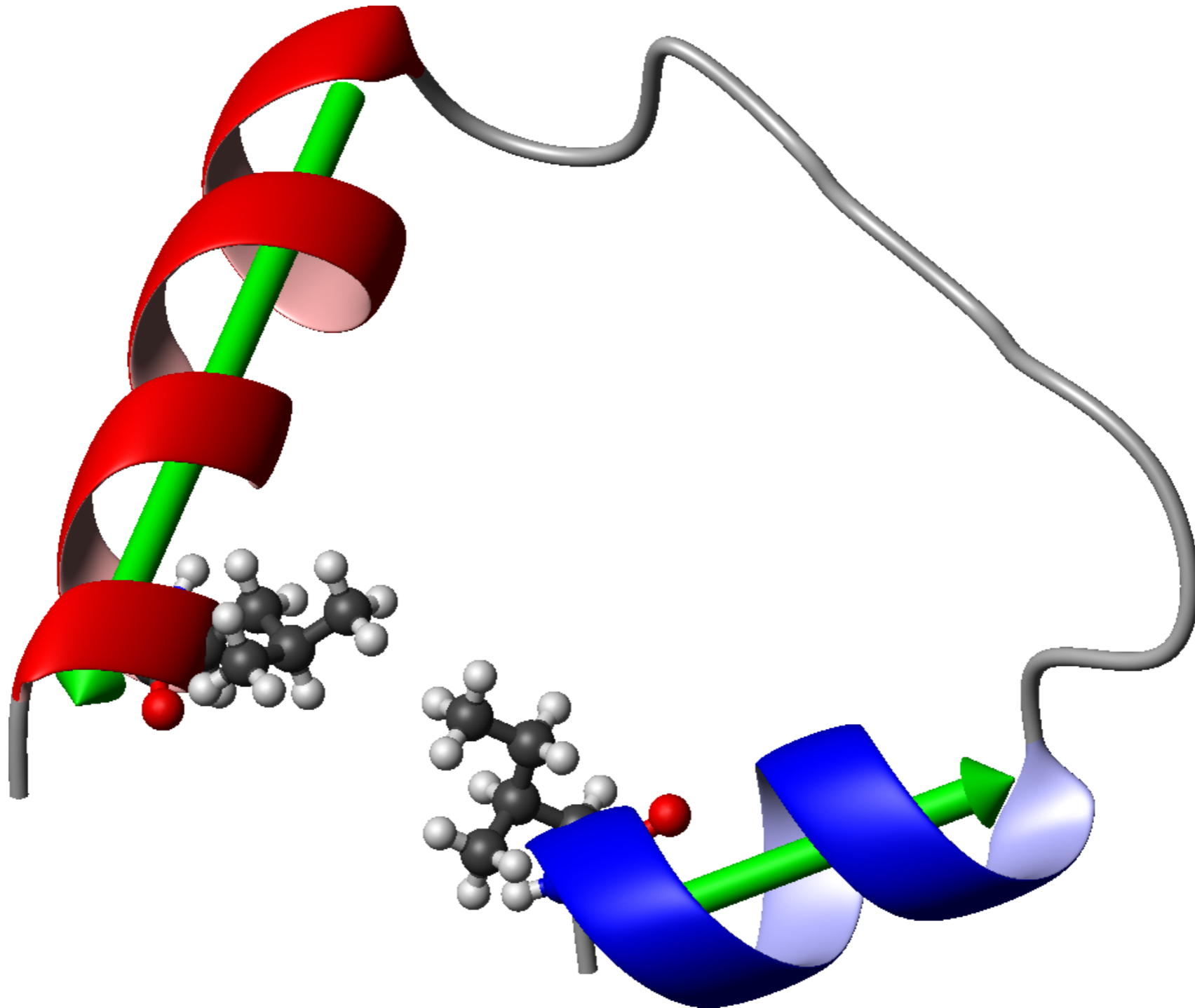
$$\frac{S}{S_{\text{ref}}} = \left(\frac{r_{\text{ref}}}{r}\right)^6 \quad (1)$$

$$r = r_{\text{ref}} \sqrt[6]{\frac{S_{\text{ref}}}{S}} \quad (2)$$

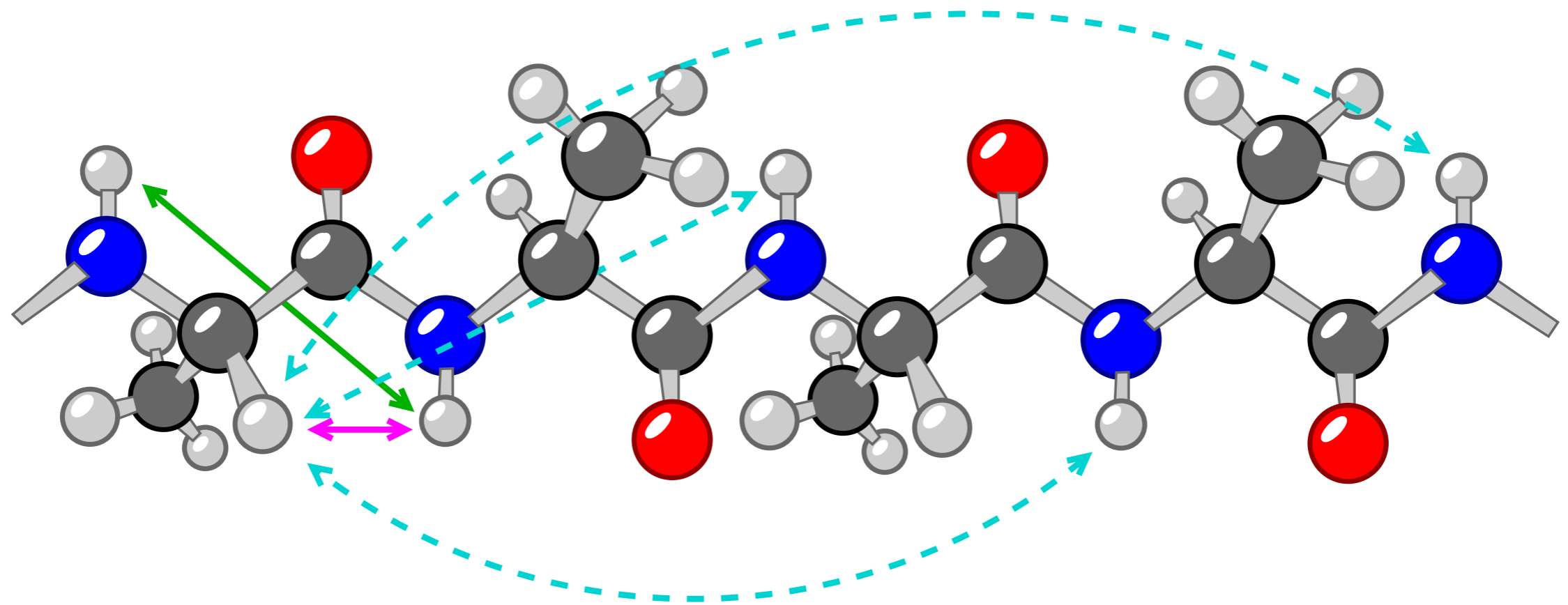
Referenční protony		vzdálenost
geminální v methylenu	$\text{H}-\text{C}-\text{H}$	0,17 nm
vicinální v aromatickém kruhu	$\text{H}-\text{C}=\text{C}-\text{H}$	0,25 nm
<i>meta</i> v aromatickém kruhu	$\text{H}-\text{C}=\text{CH}-\text{C}-\text{H}$	0,42 nm

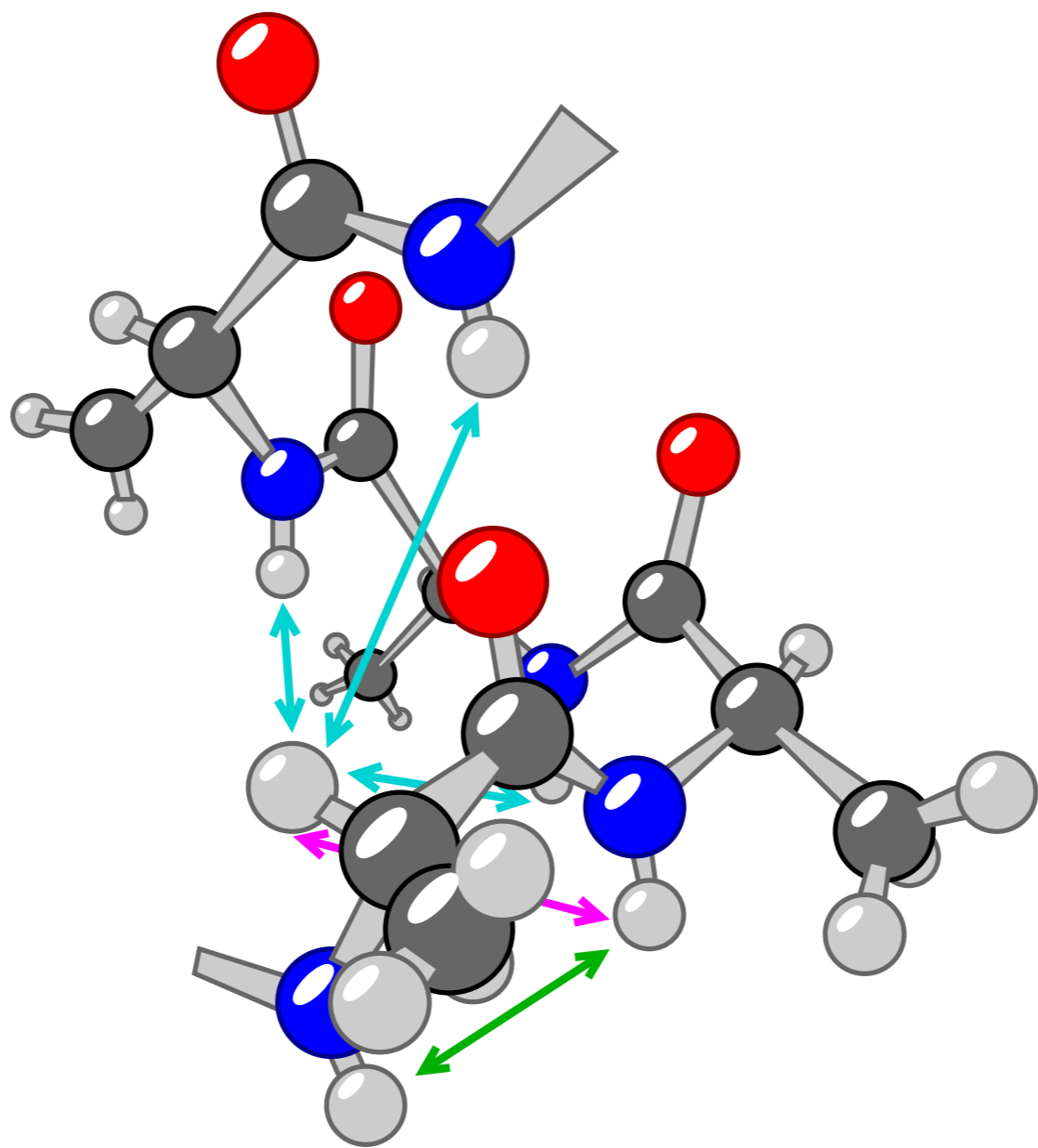


Zbytkové dipólové interakce  $\propto \langle 3 \cos^2 \theta - 1 \rangle \Rightarrow$  orientace



Data	$\beta$ -list	$\alpha$ -šroubovice
$\delta(C')$ , $\delta(C^\alpha)$	↓	↑
$\delta(C^\beta)$ , $\delta(H^\alpha)$	↑	↓
$ H_i^\alpha H_{i+1}^N $	0,22 nm	0,35 nm
$ H_i^N H_{i+1}^N $	0,40 nm	0,28 nm
$ H_i^\alpha H_{i+2}^N $	daleko	0,42 nm
$ H_i^\alpha H_{i+3}^N $	daleko	0,34 nm
$ H_i^\alpha H_{i+4}^N $	daleko	0,42 nm
${}^3J(H_i^N H_i^\alpha)$	> 8 Hz	< 5 Hz





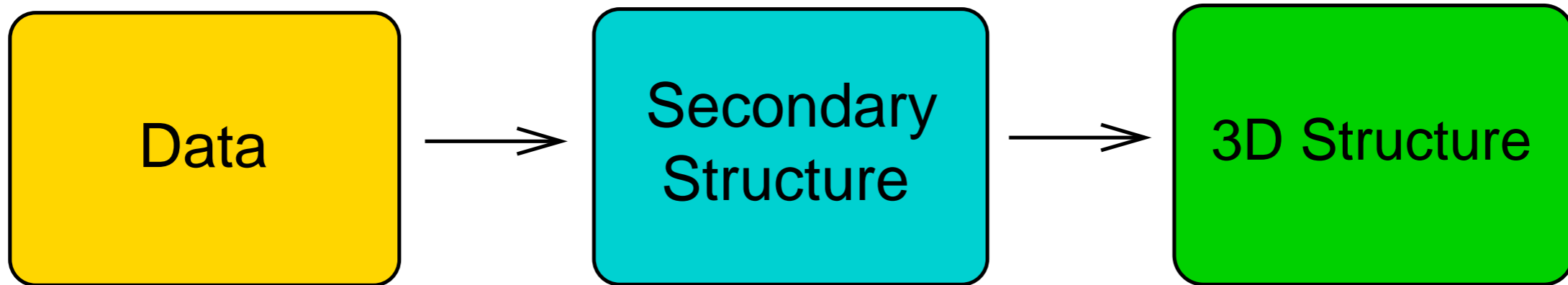


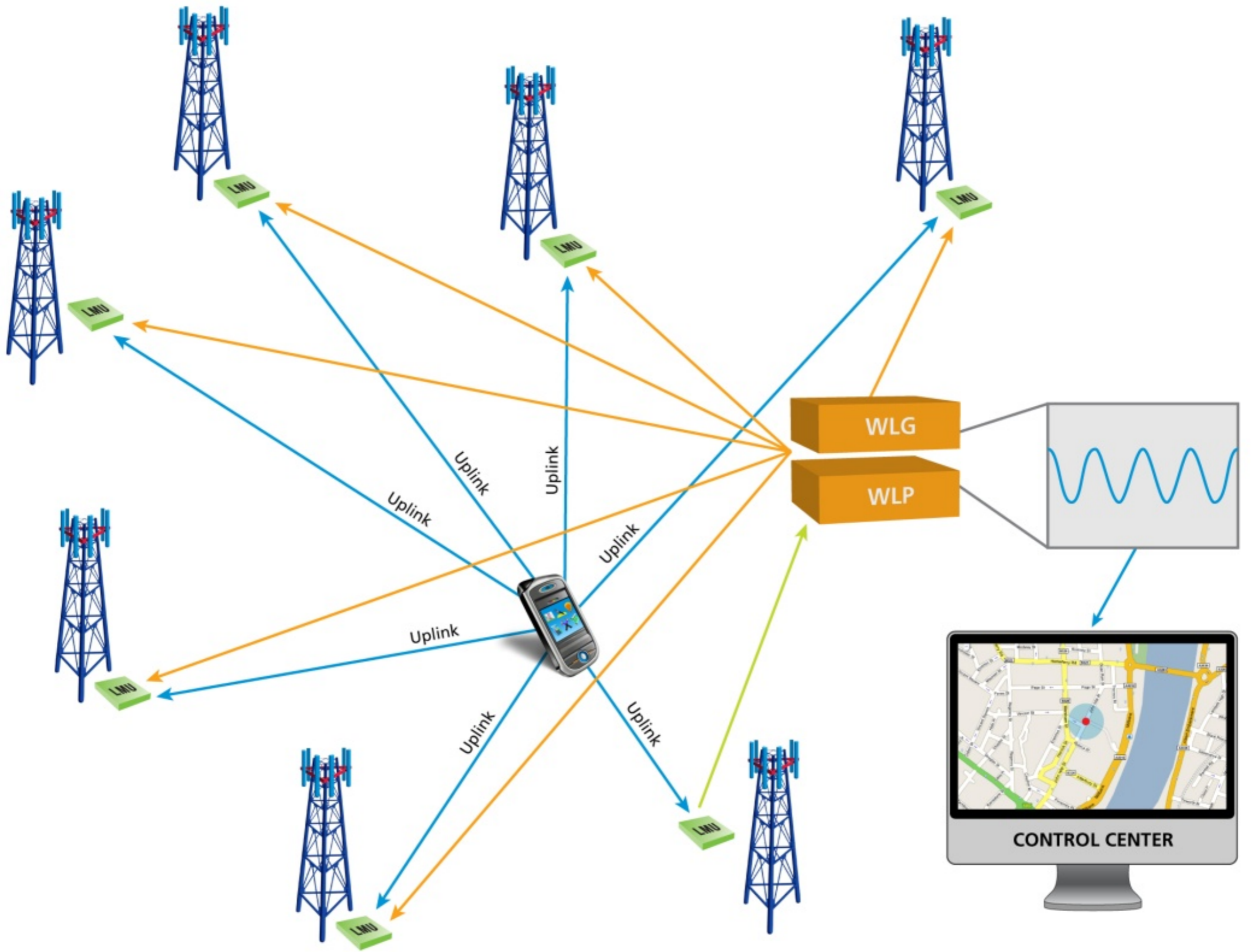
$\alpha$ -helix

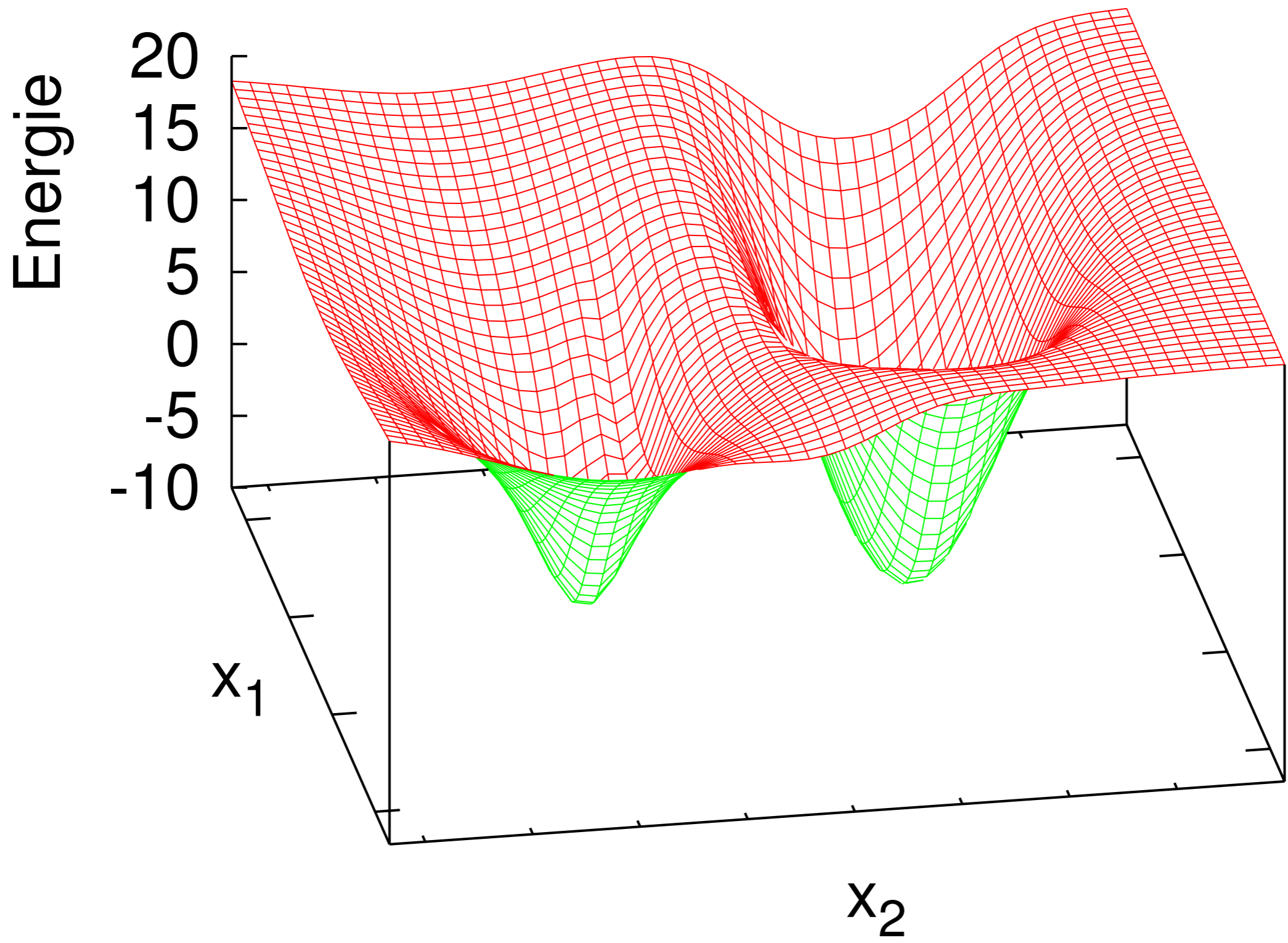
$3_{10}$ -helix

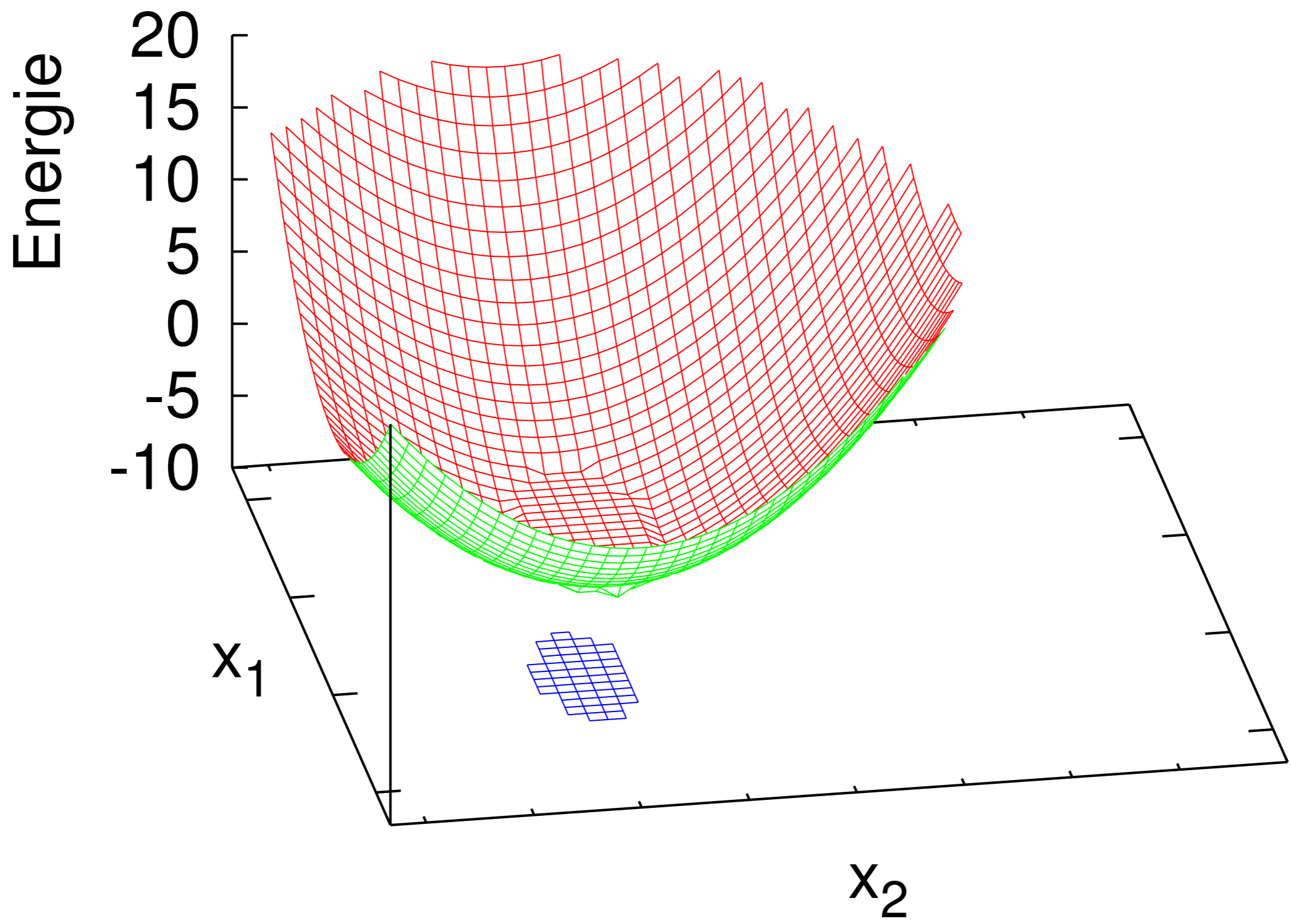
antiparallel  $\beta$ -sheet

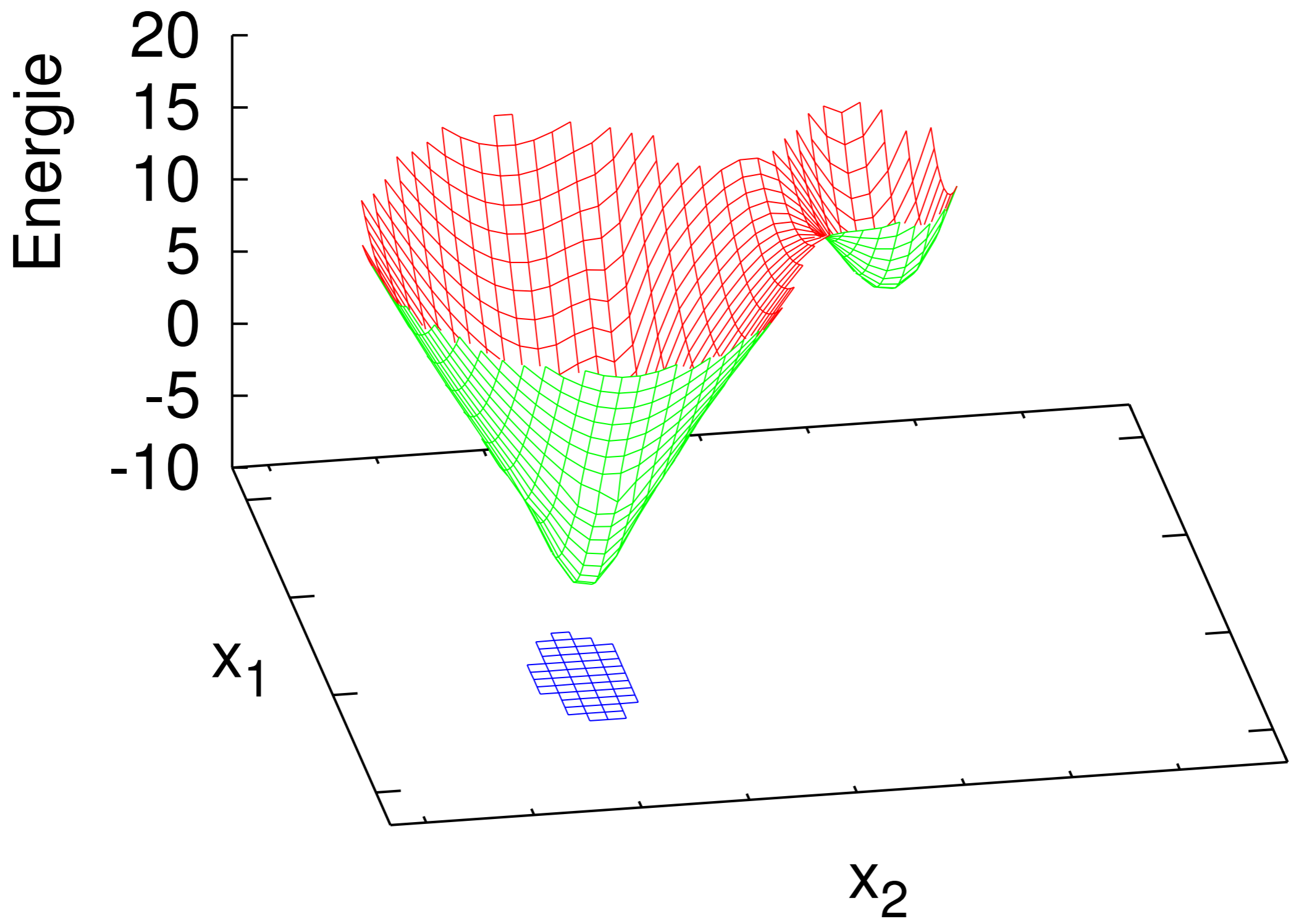
parallel  $\beta$ -sheet

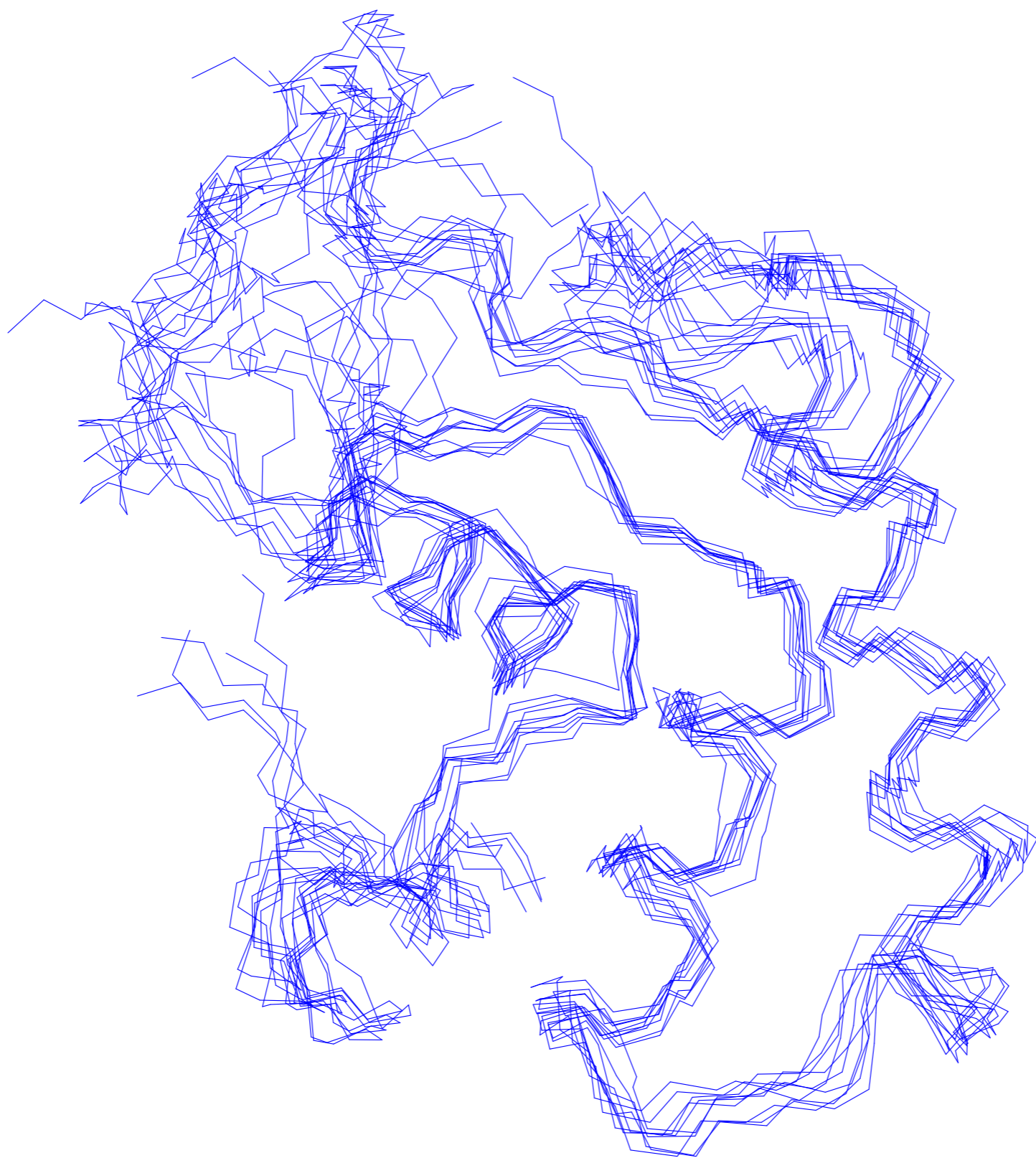


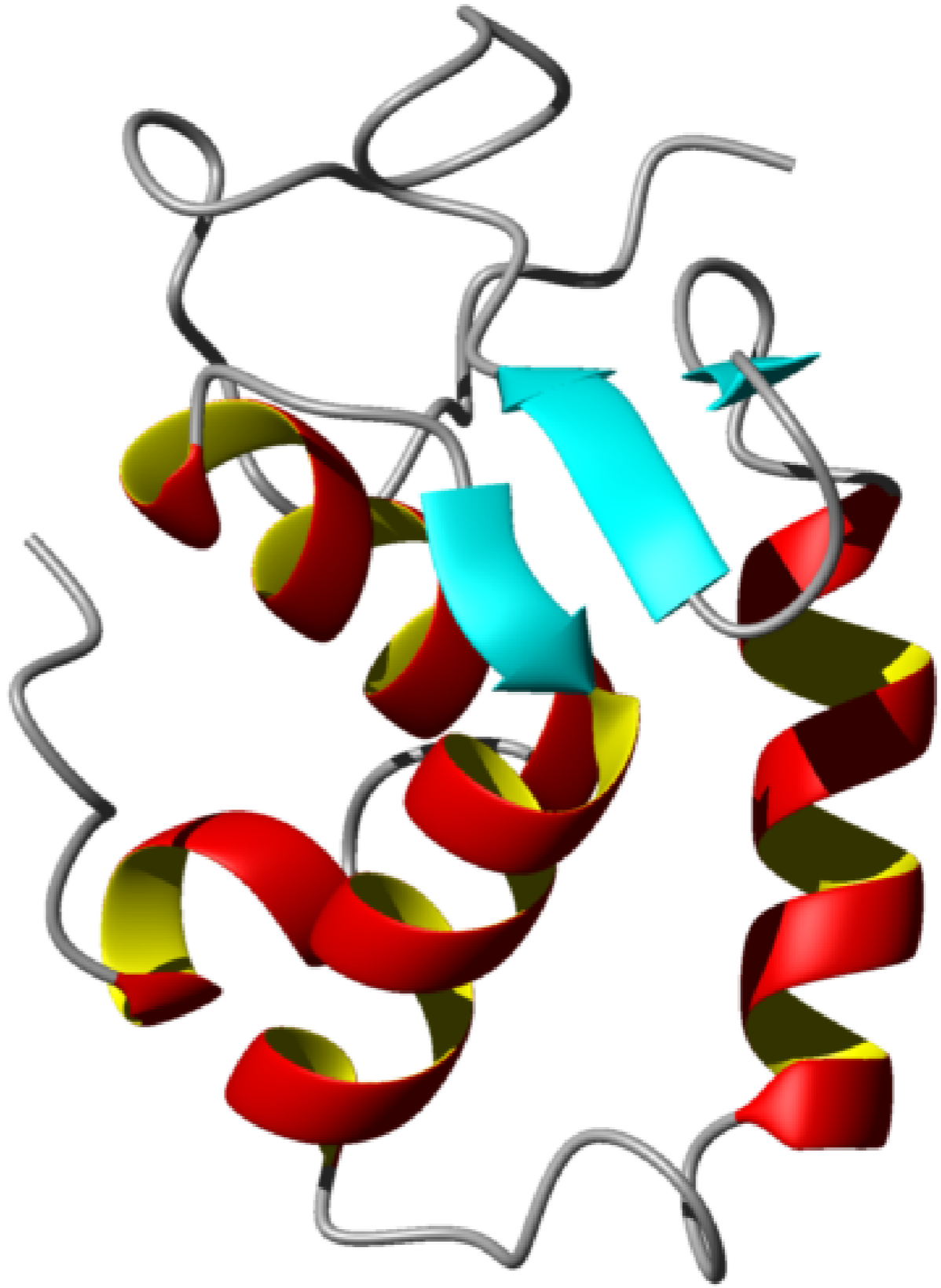




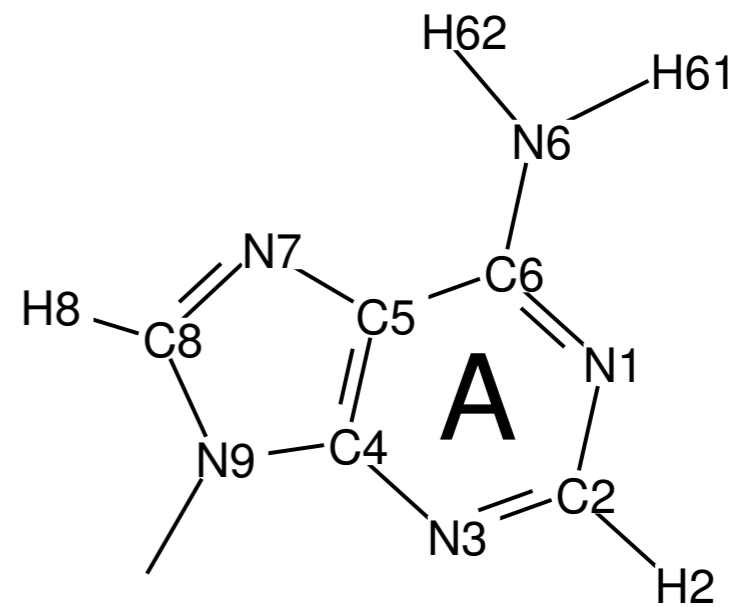
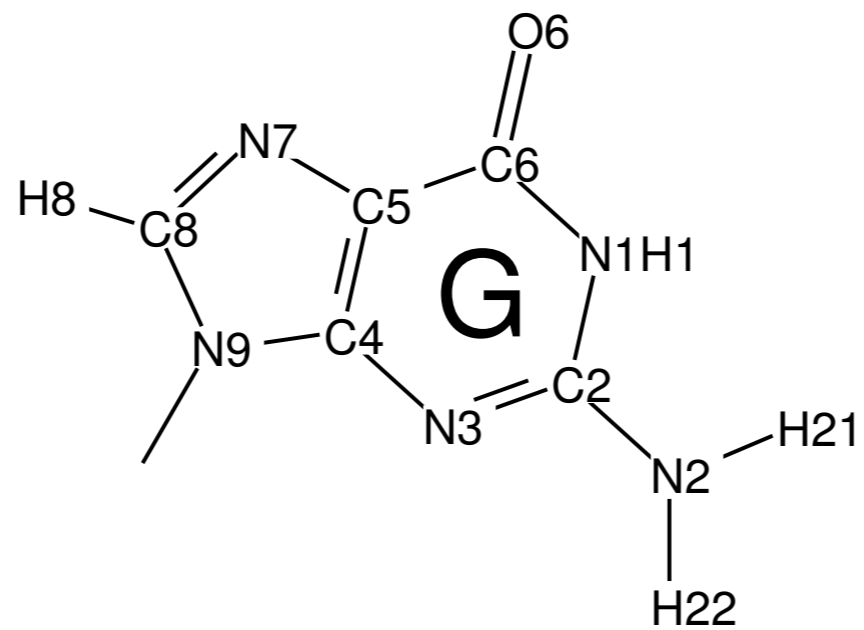
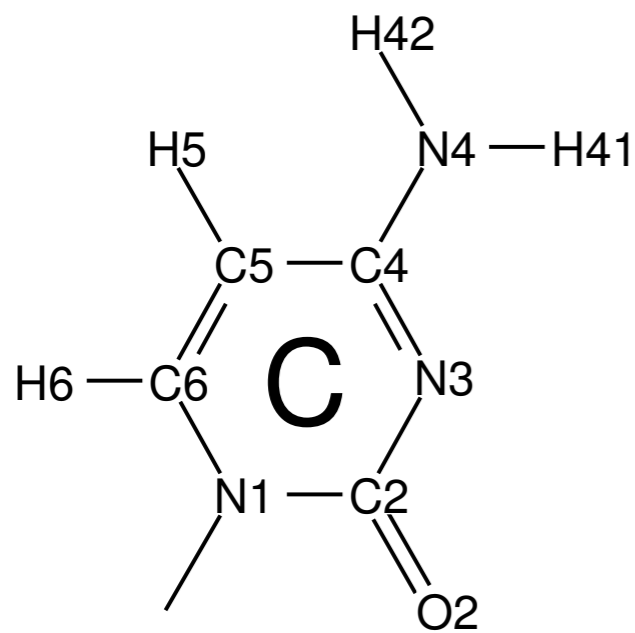
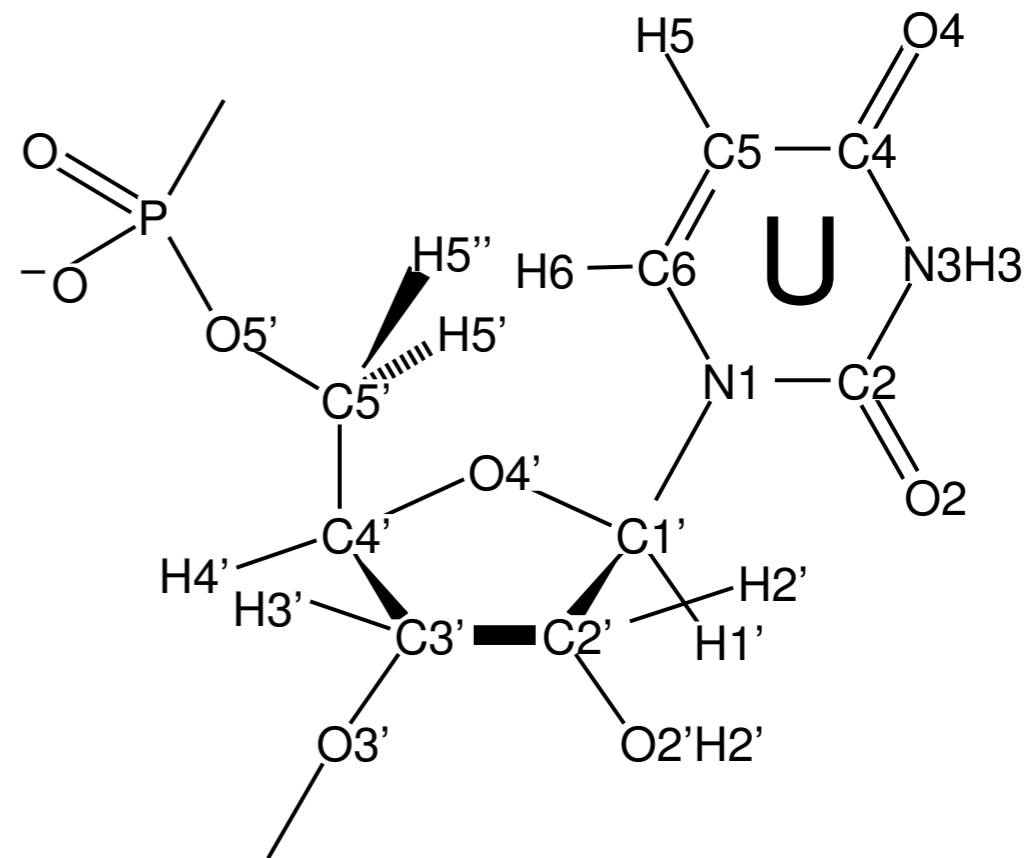
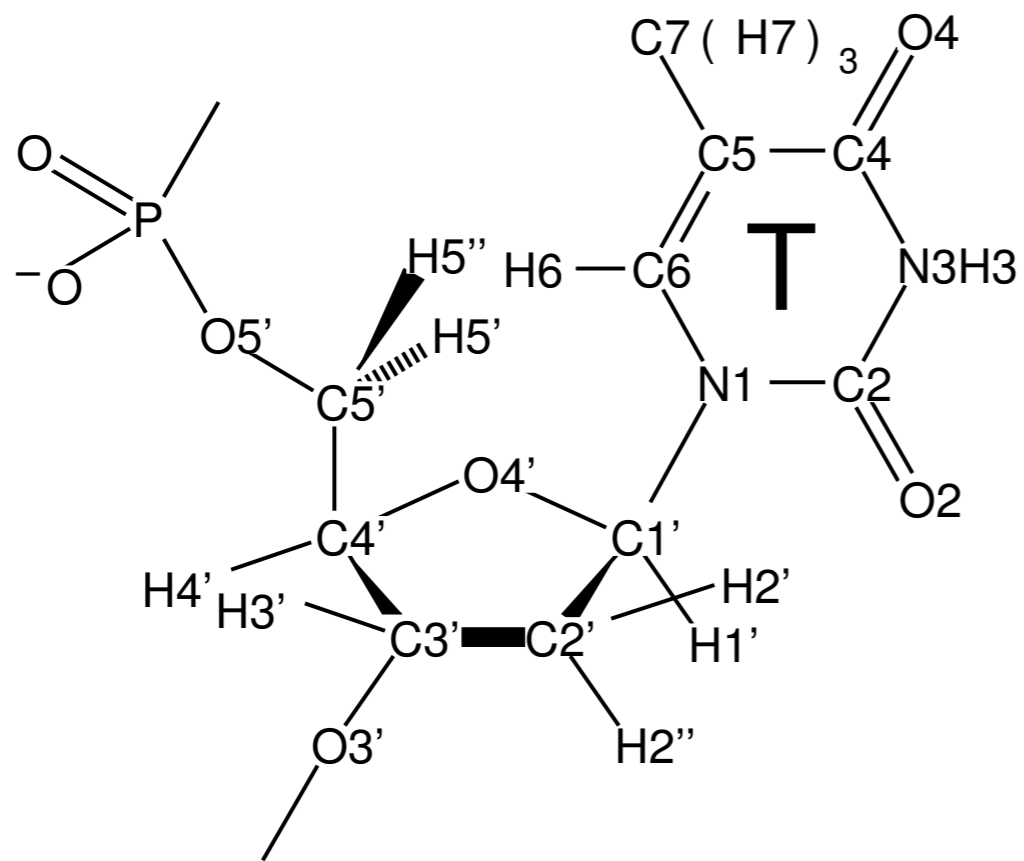










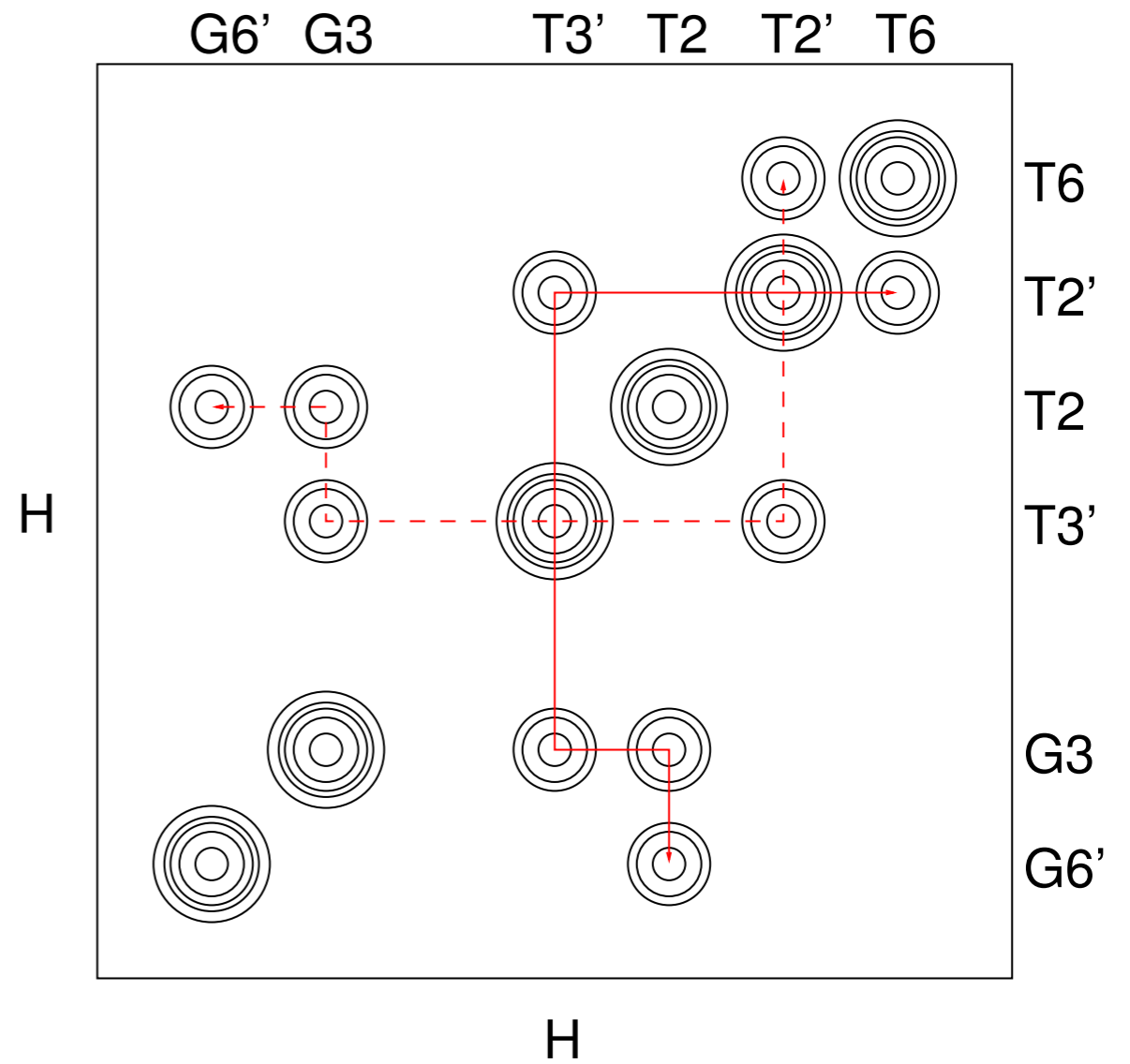
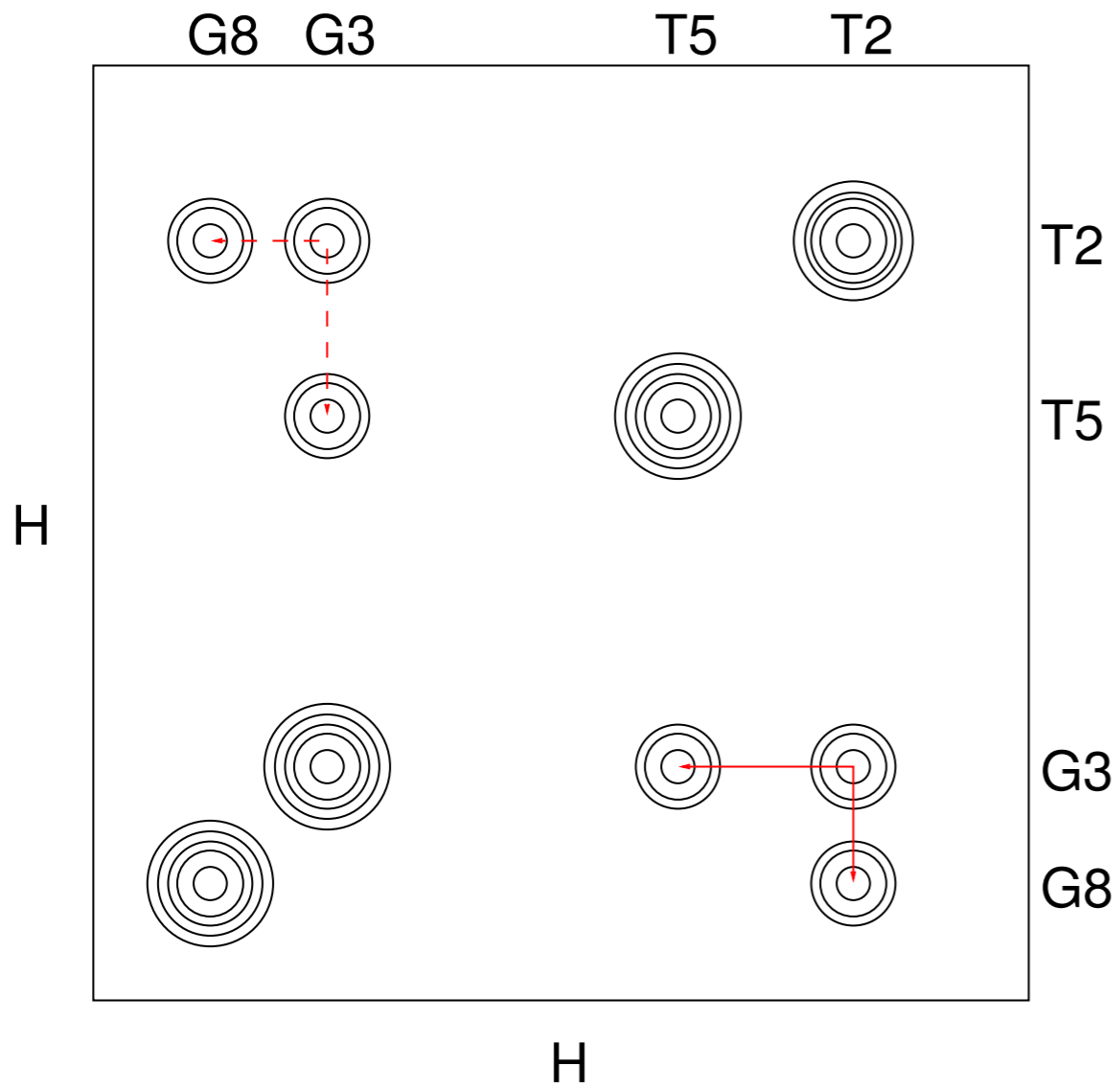


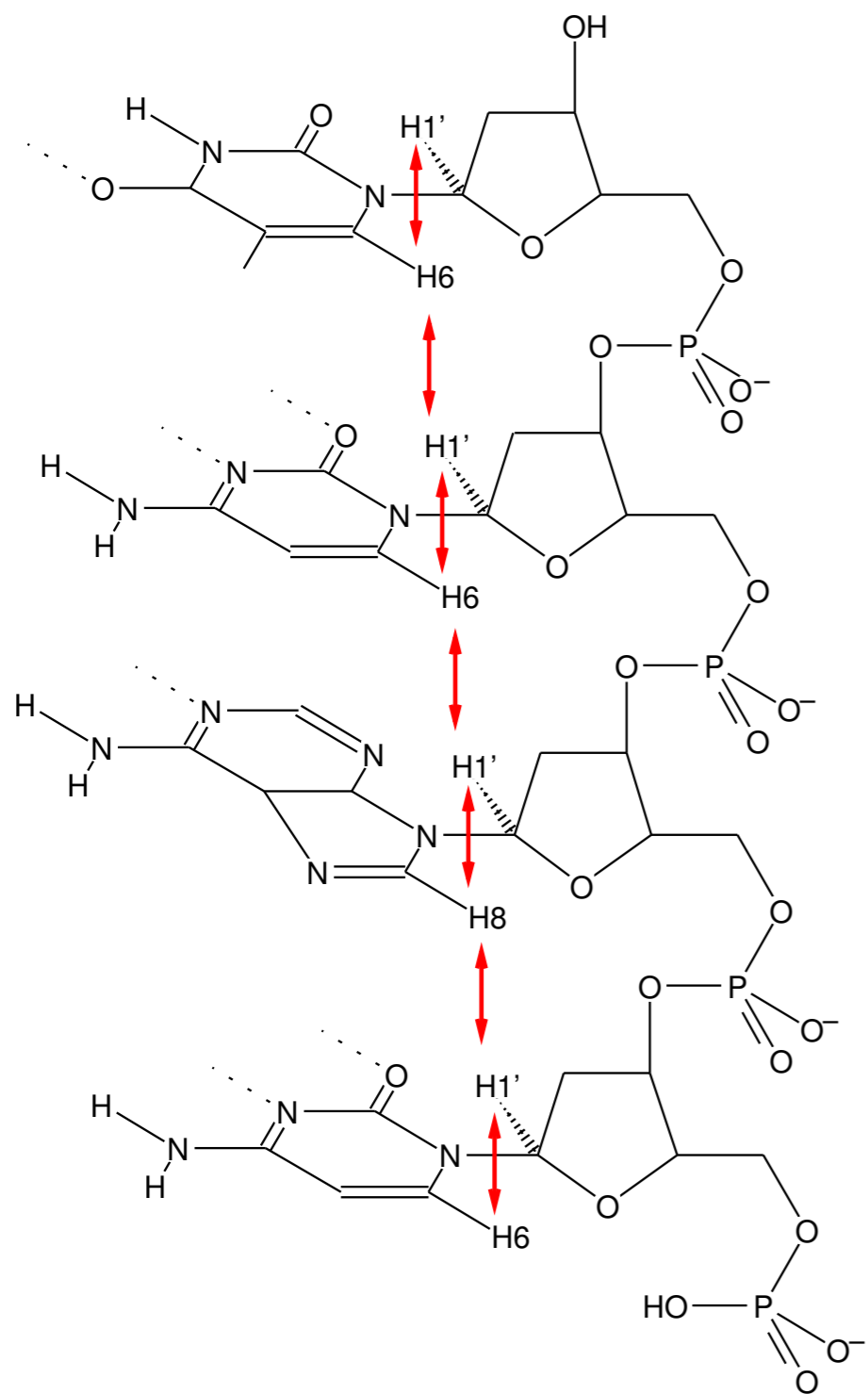
DNA double helix B

DNA double helix A

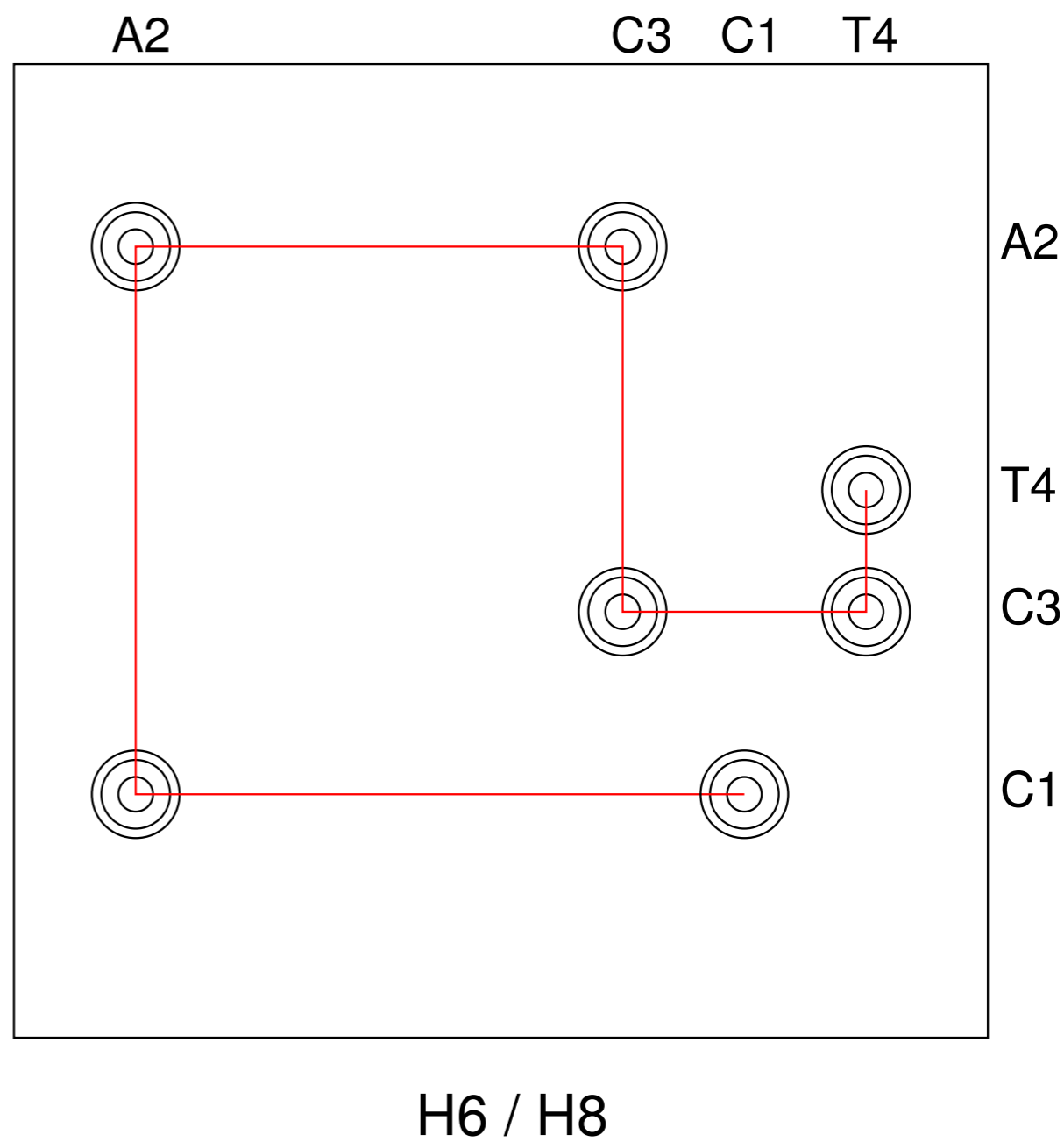
1	2	3	4	5	6	7	8
C	T	G	A	T	C	A	G
	H	←	H		H		H
H			H		H	←	H
G	A	C	T	A	G	T	C
8	7	6	5	4	3	2	1

1	2	3	4	5	6
C	T	G	A	A	T
	H	←	H		H
H			H	←	H
G	A	C	T	T	A
6'	5'	4'	3'	2'	1'



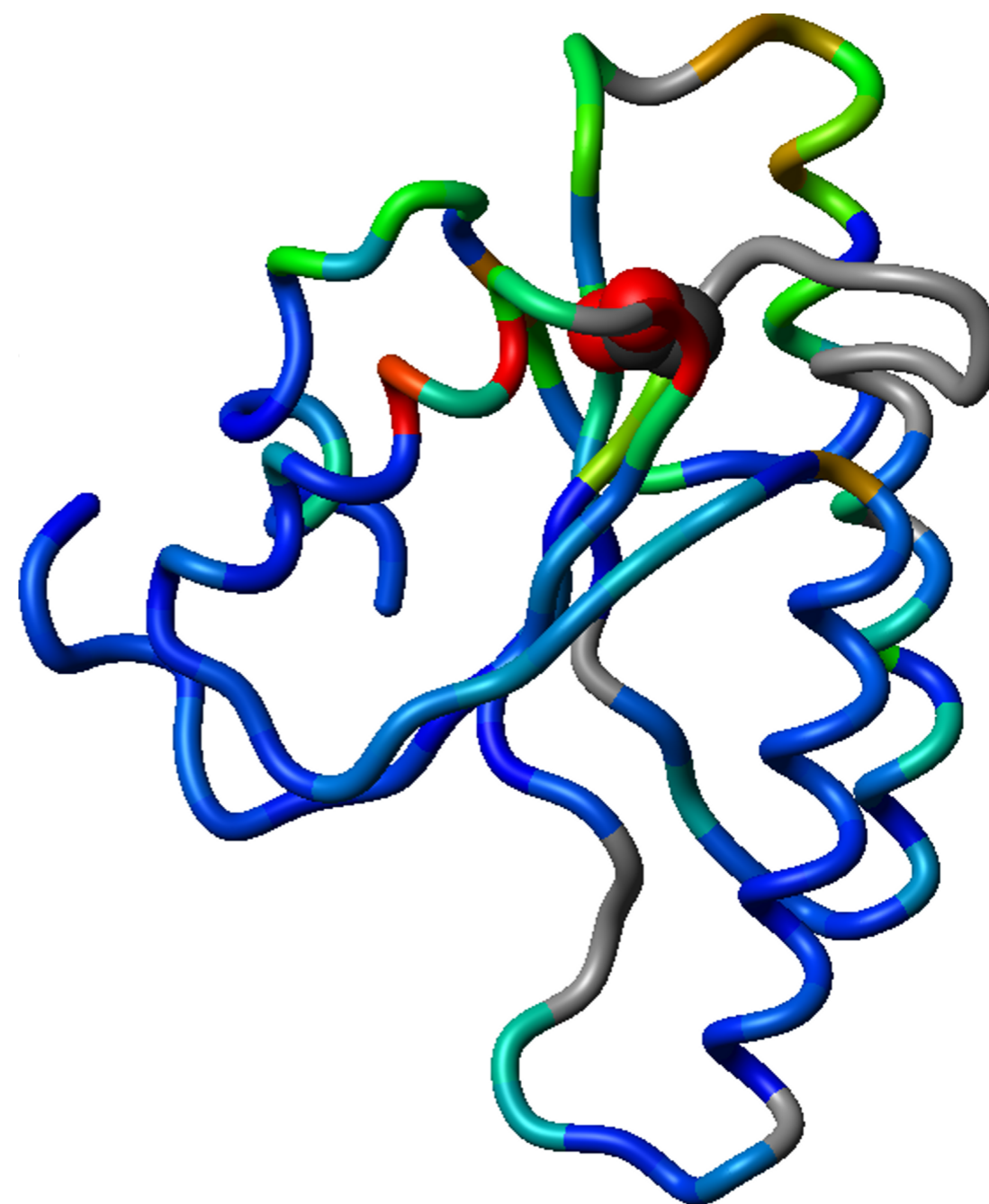
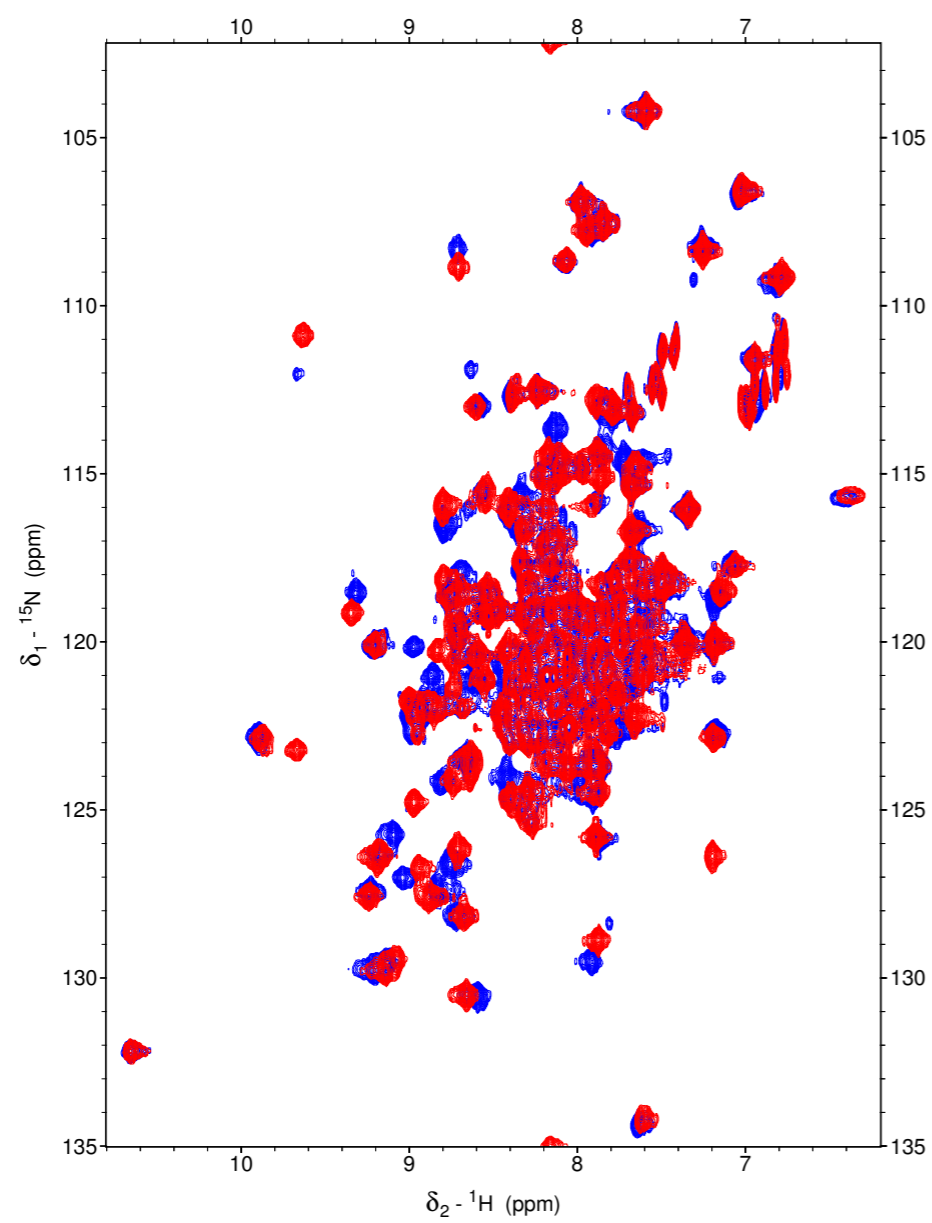


H1'



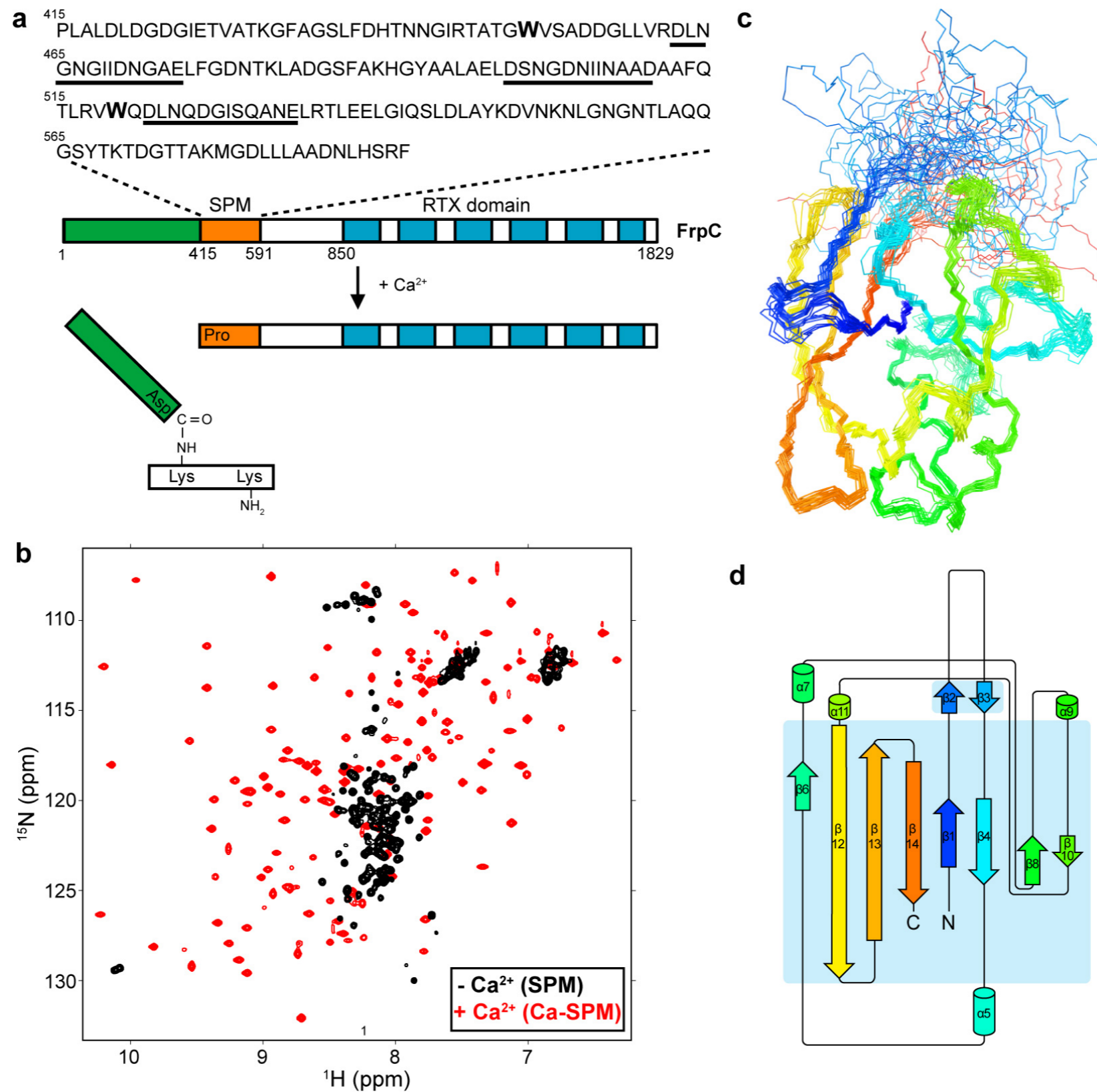
# **Příklady využití NMR**

# Rychlé určení vazebného místa

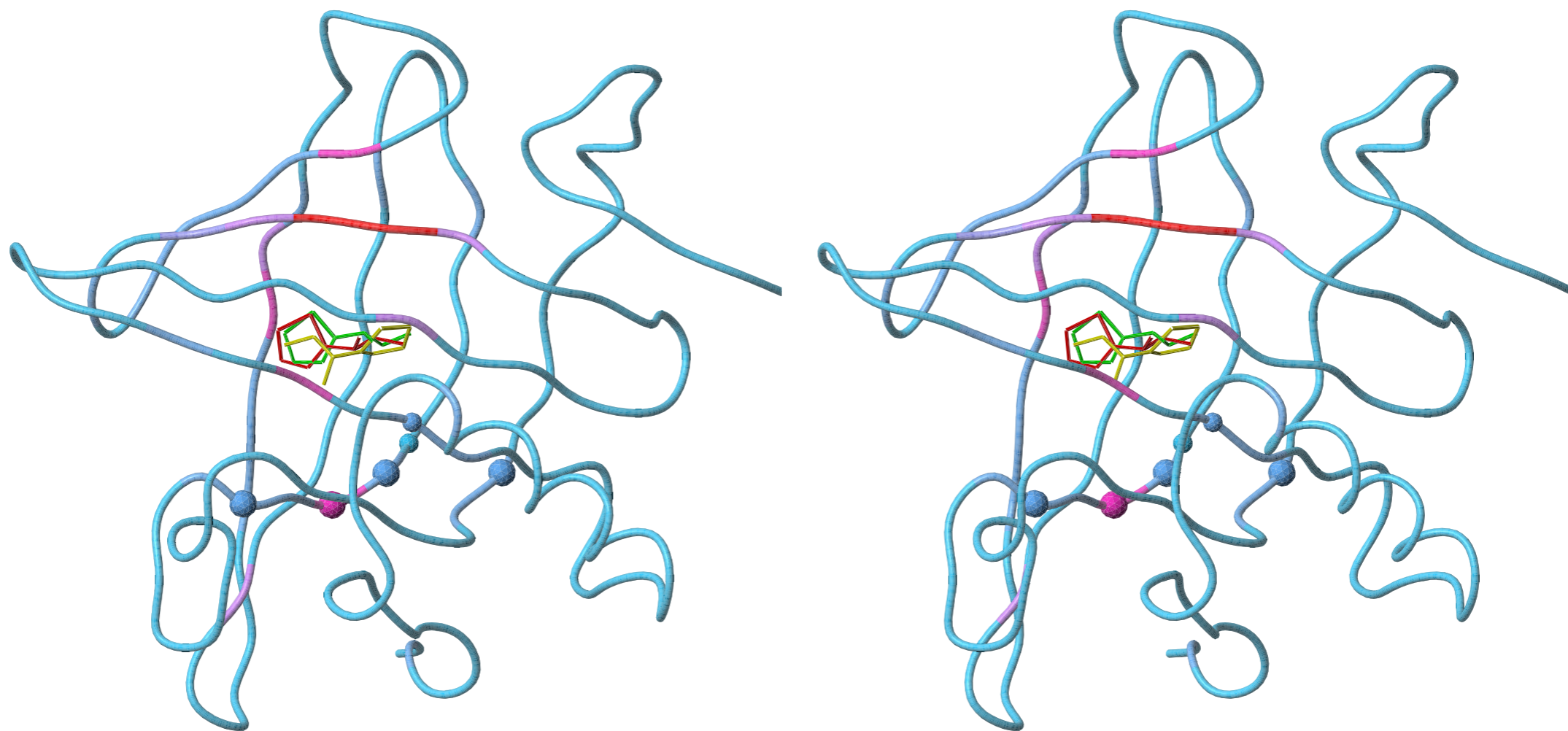


Pekárová et al., *Plant. J.* **67** (2011) 827–839.

# Určení struktury proteinu, který nekrystalizuje

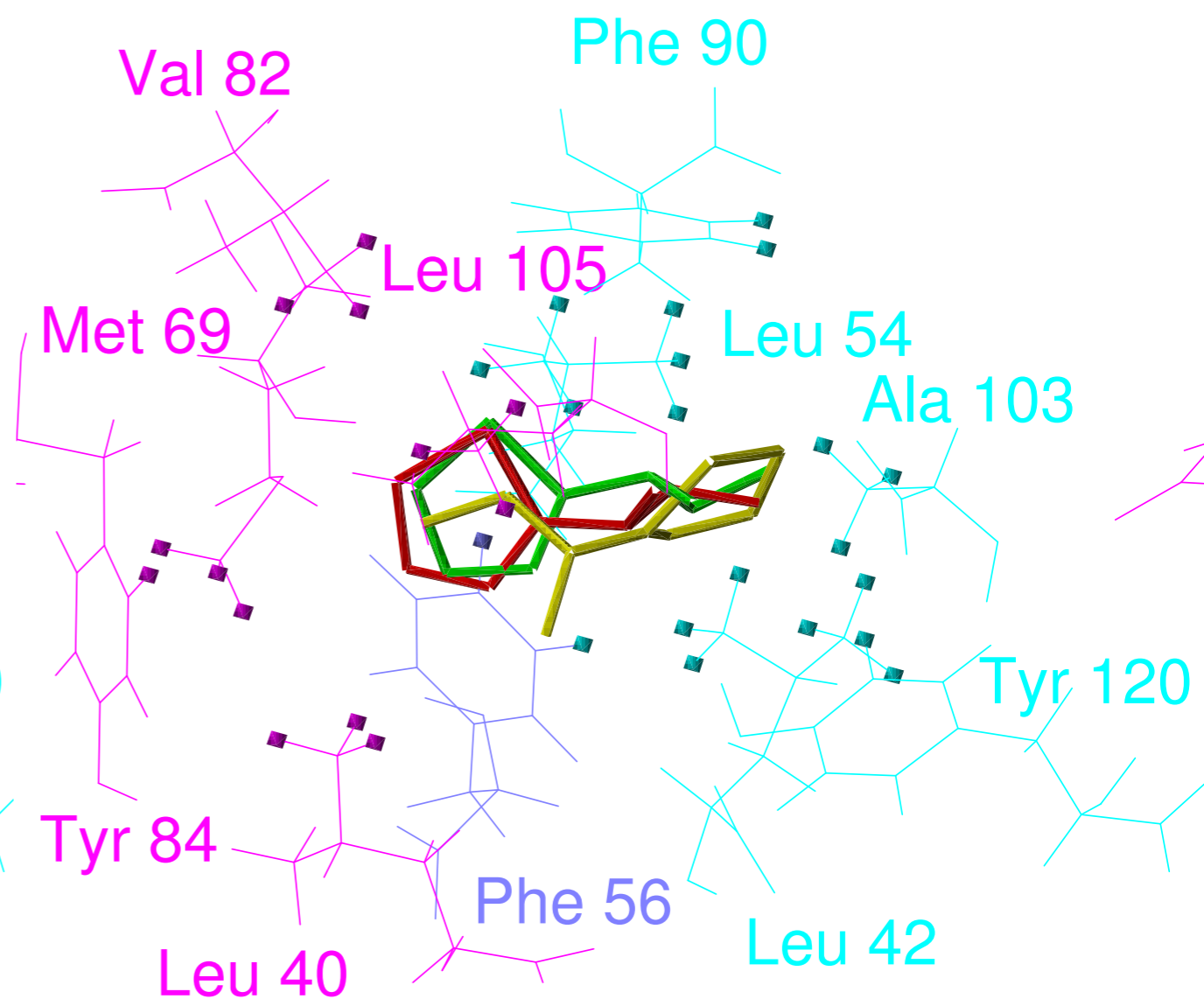
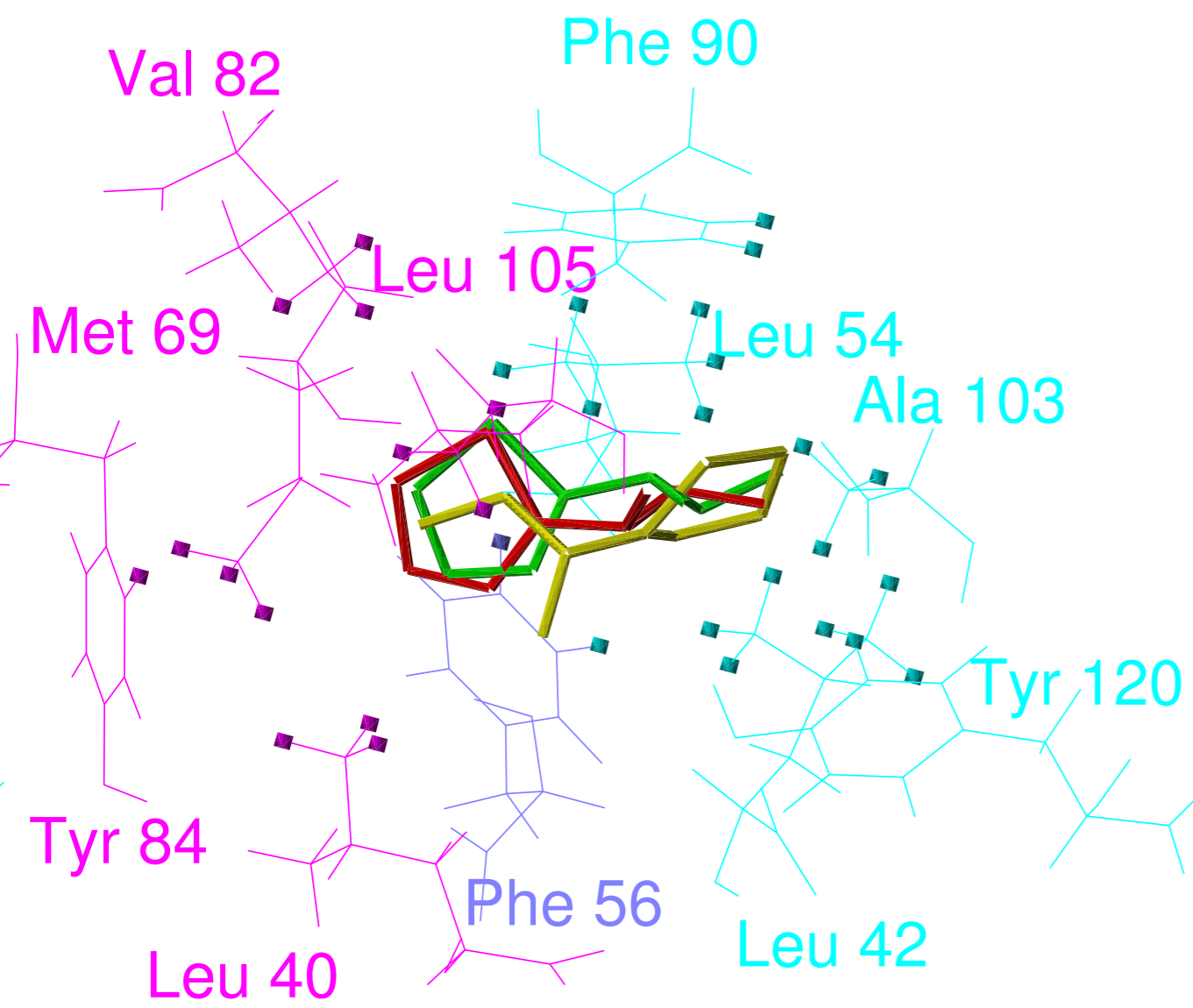


# Oprava chybné krystalové struktury

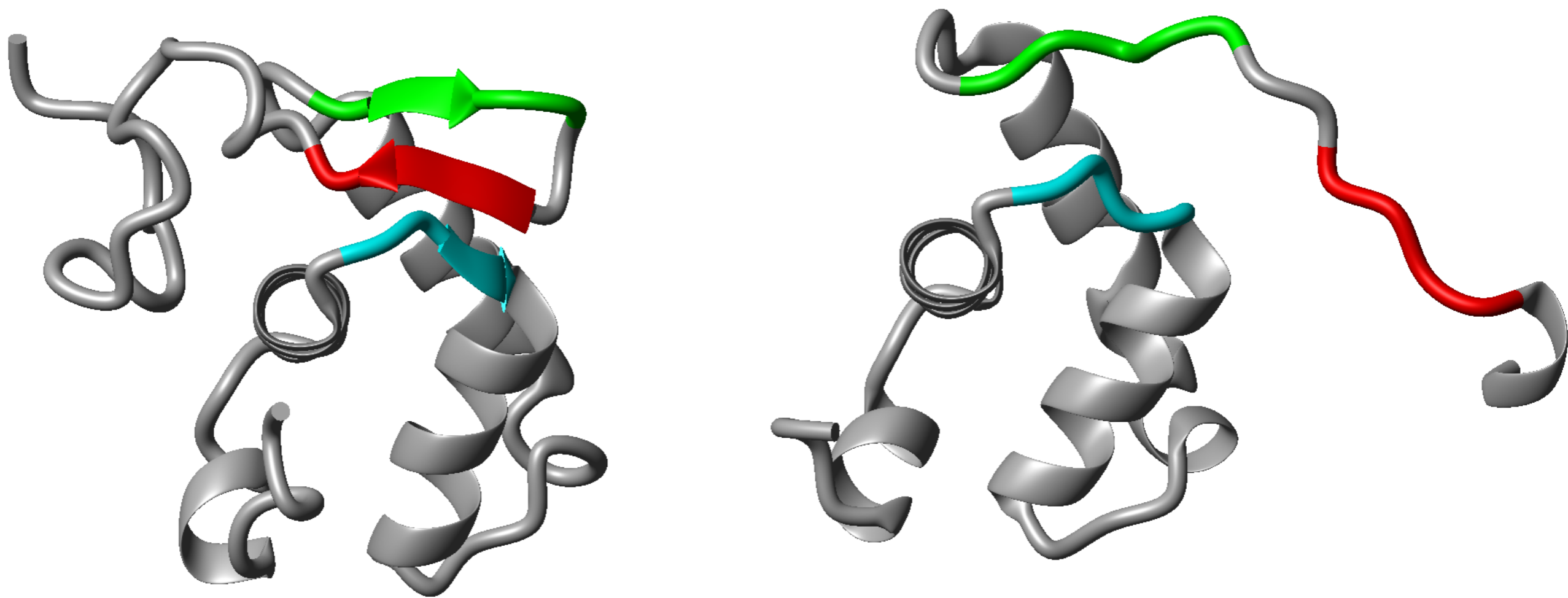


Žídek et al., *Biochemistry* **38** (1999) 9850–9861.



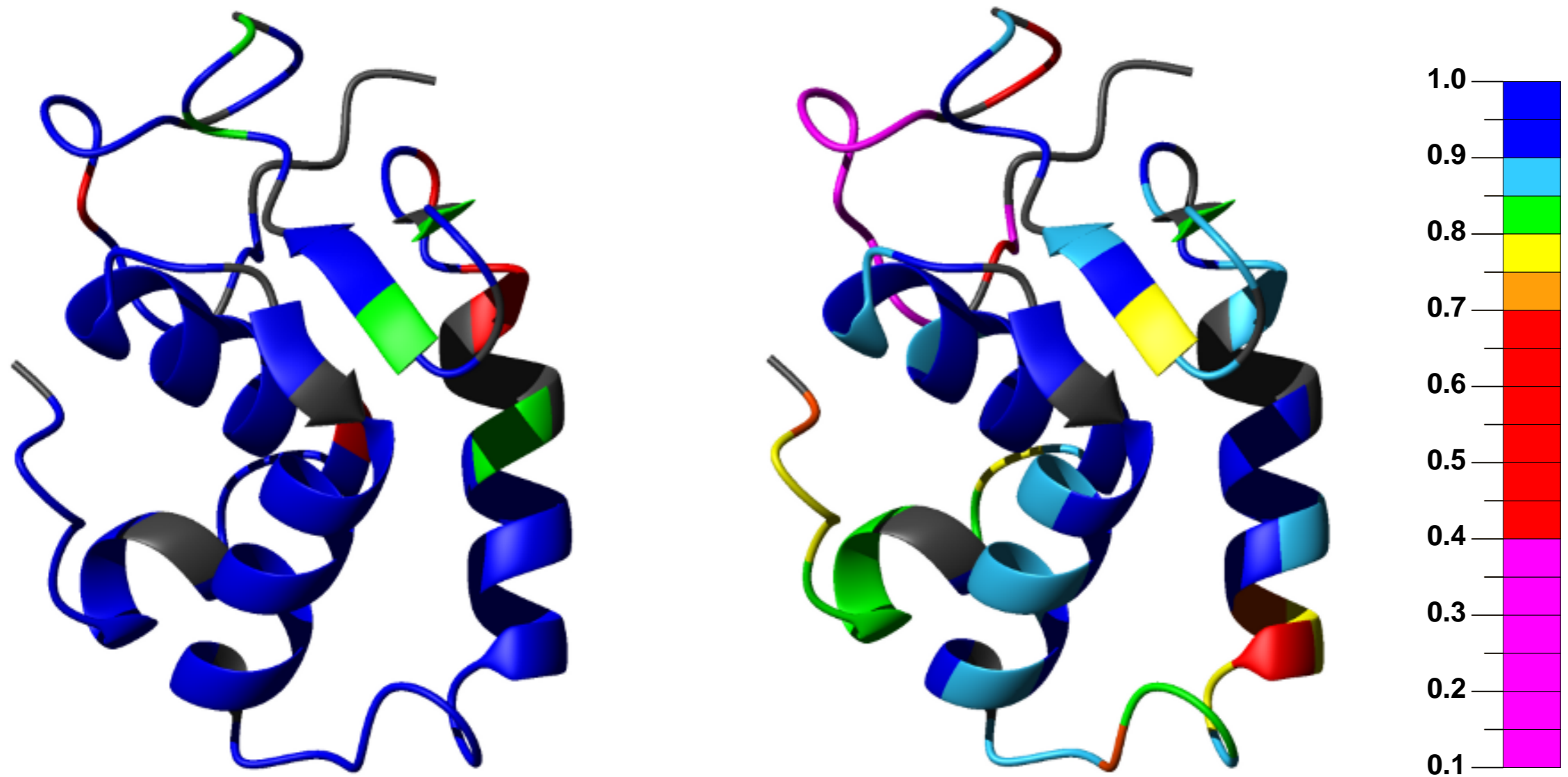


Určení struktury, která se liší v roztoku a krystalu



Demo et al., *J. Struct. Biol.* **187** (2014) 174–186.

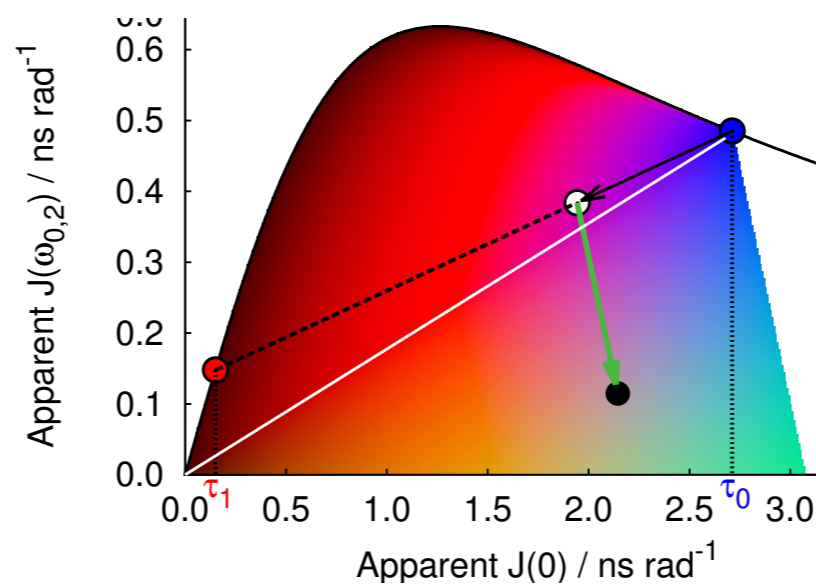
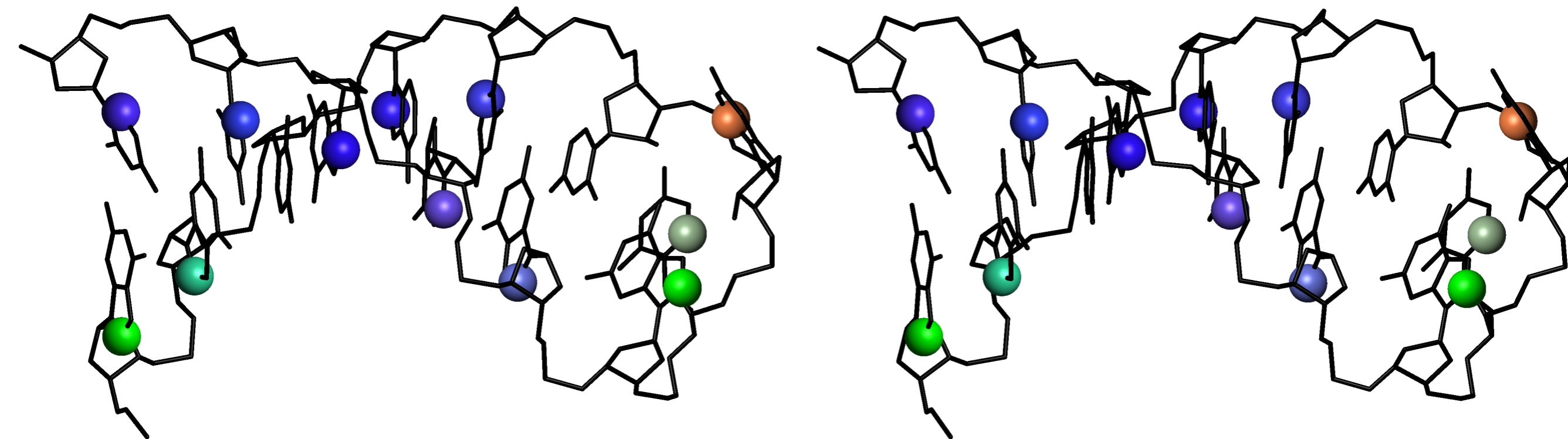
# Studium pomalých ( $\mu\text{s}$ – $\text{ms}$ ) a rychlých ( $\text{ps}$ – $\text{ns}$ ) pohybů proteinu



Papoušková et al., *ChemBioChem* **14** (2013) 1172–1179.

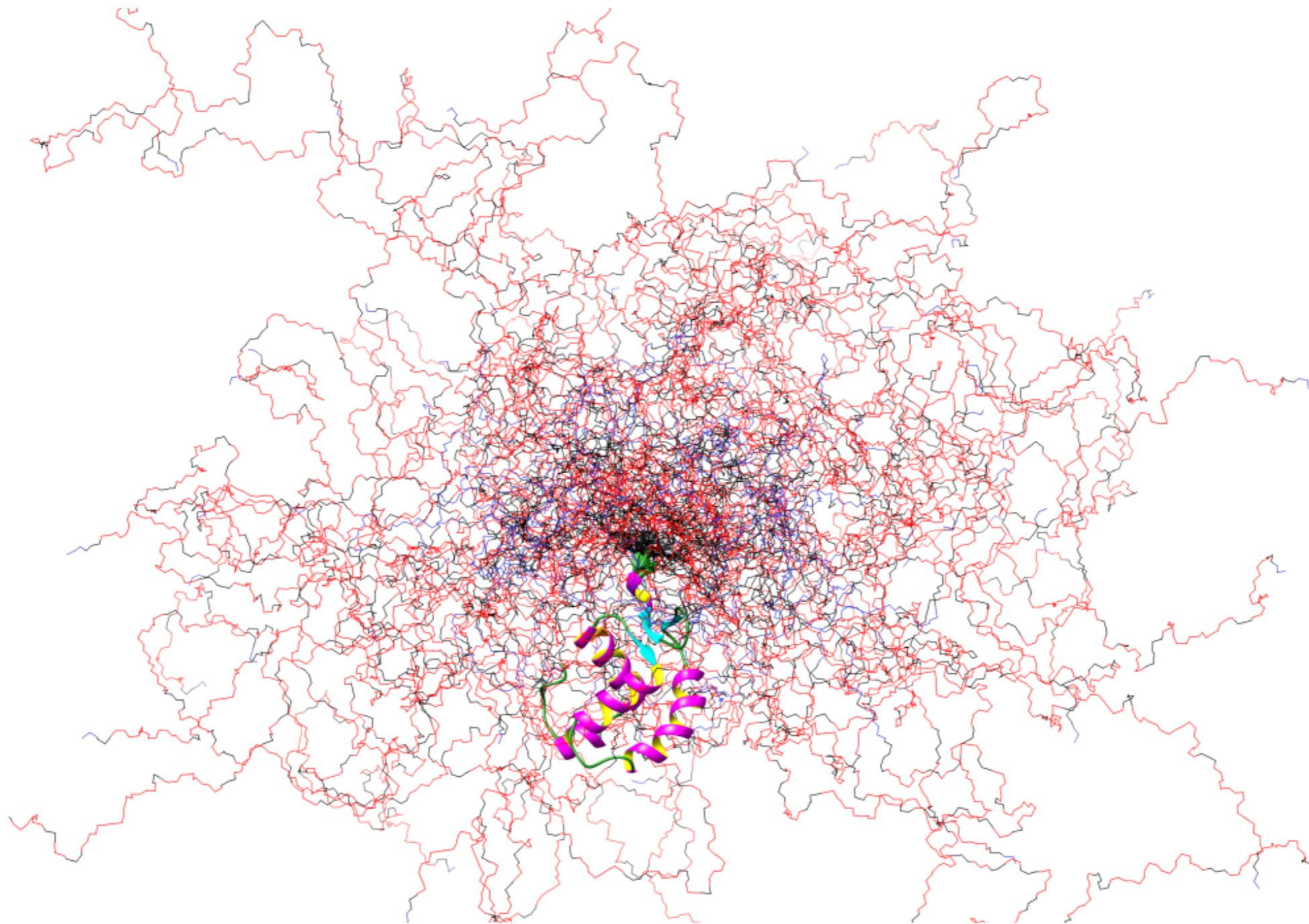
Kadeřávek et al., unpublished

# Studium pomalých ( $\mu\text{s}$ – $\text{ms}$ ) a rychlých ( $\text{ps}$ – $\text{ns}$ ) pohybů DNA

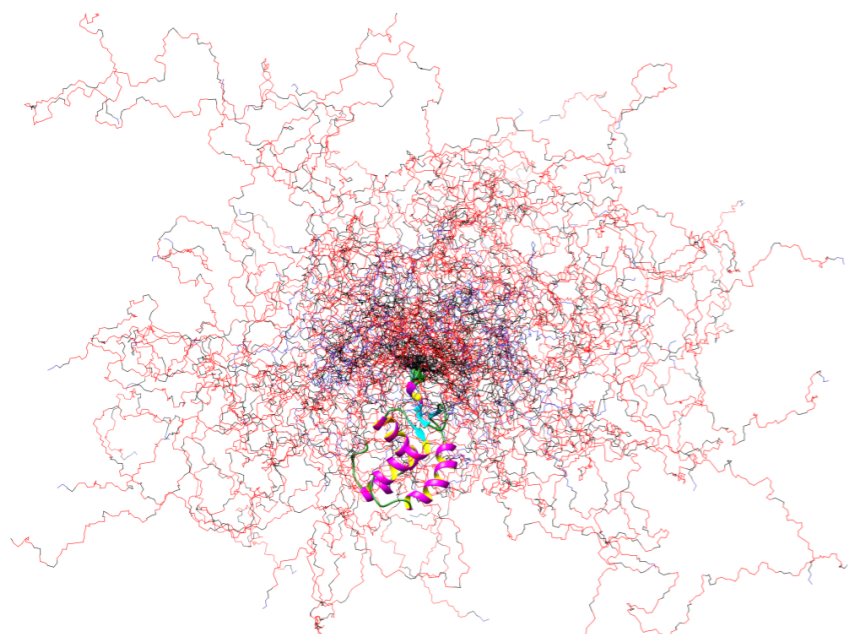


Kadeřávek et al., *J. Magn. Reson.* **266** (2016) 23–40.

# Studium částečně neuspořádaného proteinu



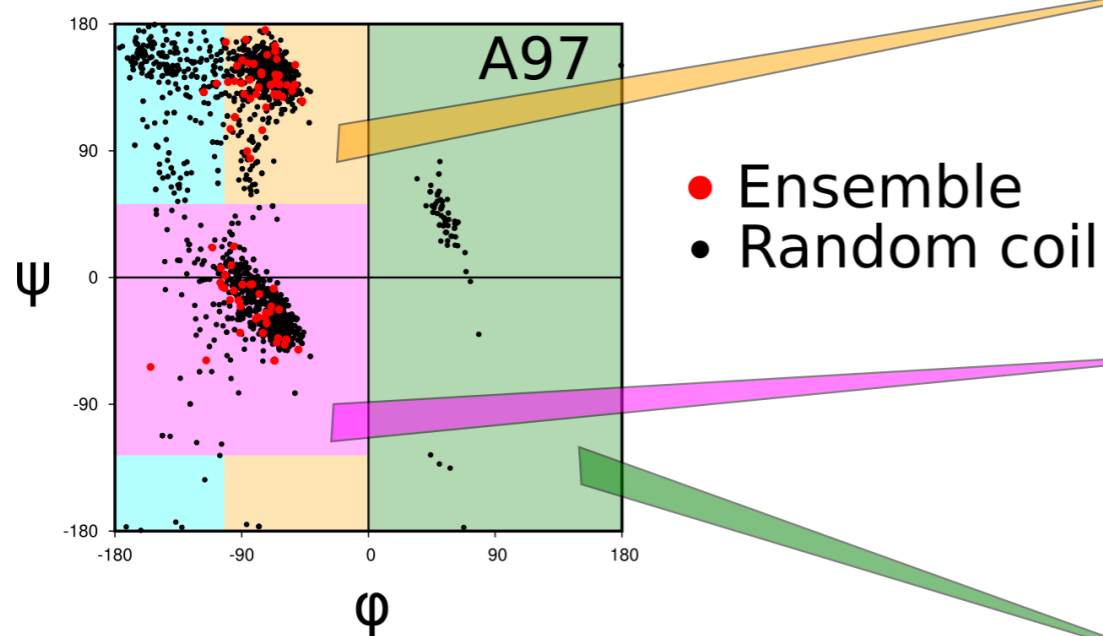
Kubáň et al., *J. Am. Chem. Soc.* **141** (2019) 16817–16828.



The final ensemble of 150 structures

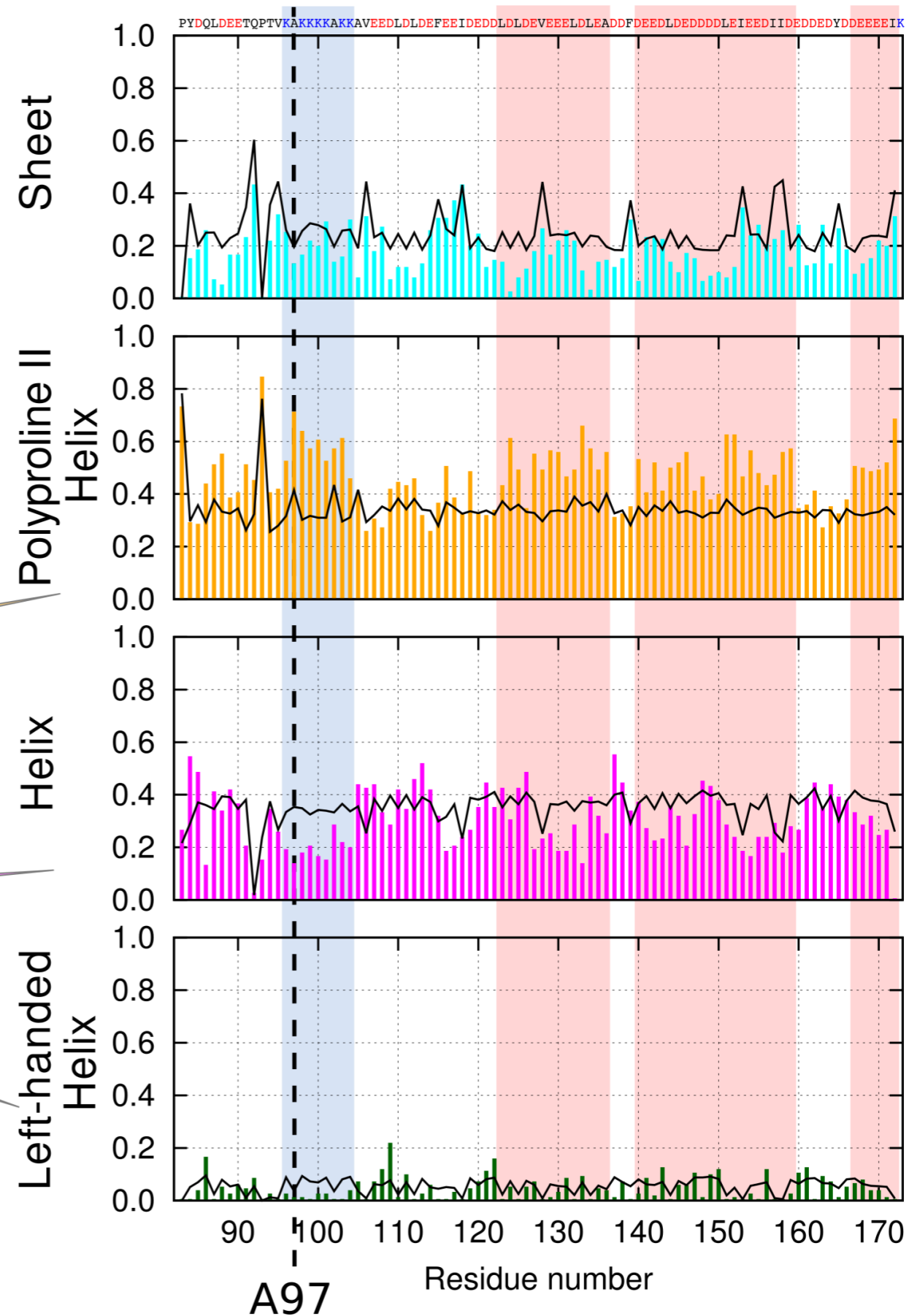


Ramachandran plot for each residue



Each individual structure is meaningless as only local conformation contains information like CS or RDC.

Probability of secondary motives of the selected ensemble



# Studium zcela neuspořádaného proteinu

